







Document public

## Cartographie de l'aléa mouvement de terrain Commune de POYA (Nouvelle Calédonie) Echelle 1:25 000

Rapport final

BRGM/RP- 72238 -FR DIMENC SGNC-2022(15) Novembre 2022

Étude réalisée dans le cadre des opérations de Service public du BRGM

B. Colas, Y. Thiery, Y. Guyomard, M. Mengin, M. Premaillon, M. Edet, O. Monge

#### Vérificateur :

Nom: S. Bernardie

Fonction : Ingénieure géotechnicienne

Date:

Signature:

### Approbateur:

Nom: V. Mardhel

Fonction: Directeur Antenne

Nouvelle Calédonie

Date:

Signature:

Le système de management de la qualité et de l'environnement est certifié par AFNOR selon les normes ISO 9001 et ISO 14001.





| <b>Mots-clés</b> : aléa, susceptibilité, mouvement de terrain, glissement de terrain, chutes de blocs, laves torrentielles, Nouvelle Calédonie, Poya   |
|--|
| En bibliographie, ce rapport sera cité de la façon suivante :  |
| Colas B., Thiery Y., Guyomard Y., Mengin M., Prémaillon M., Monge O. (2022) – Cartographie de l'aléa mouvement de terrain. Commune de POYA (Nouvelle Calédonie). Echelle 1:25 000 <sup>ème</sup> . Rapport final. BRGM/RP-72238-FR DIMENC SGNC 2022(15), 43 p., 25 illustrations, 7 annexes. |
| © BRGM, 2022, ce document ne peut être reproduit en totalité ou en partie sans l'autorisation expresse du BRGM.  |

### **SYNTHESE**

Lors des évènements météorologiques intenses de novembre 2016, la commune de Houailou a éprouvé des phénomènes de mouvements de terrain dramatiques (8 victimes). Cette menace fait partie des risques naturels auxquels le pays est soumis, dont les plus notables sont les risques cycloniques (vent, pluie, submersion), les inondations, les incendies, les séismes et les tsunamis.

L'aléa « mouvements de terrain » à l'échelle du pays reste encore méconnue et insuffisamment pris en compte par les populations et les autorités. En conséquence, une démarche de caractérisation des aléas mouvement de terrain a été engagée à l'échelle de la Nouvelle-Calédonie. Ainsi, dans le cadre d'un programme pluriannuel, le gouvernement de Nouvelle-Calédonie, grâce au service géologique de la DIMENC, et le BRGM ont convenu de mutualiser leurs moyens et leurs compétences pour établir des cartes communales d'aléas mouvements de terrain, à l'échelle du 1 : 25 000ème.

La méthode d'évaluation des aléas est relativement innovante, déclinée par type de phénomène (éboulement rocheux, glissements fins et grossiers et laves torrentielles), basée sur une approche quantitative intégrant intensité (ampleur) et probabilité d'occurrence des phénomènes considérés. Cette démarche est détaillée dans un rapport spécifique (BRGM/RP-72236-FR / DIMENC/SGNC-2022(20)). L'ensemble des réalisations sont menées de façon partenariale entre le service de la géologie de Nouvelle Calédonie (SGNC) et le BRGM, suivant l'état de l'art porté par les groupes de travails nationaux relatifs aux mouvements de terrain.

Le présent rapport se veut très illustré et abordable par le plus grand nombre, dans un souci d'information et de prévention. Il expose et présente pour la commune de POYA :

- Le contexte communal ;
- La démarche méthodologique ;
- L'inventaire des phénomènes passés ;
- Les données produites et utilisées ;
- Les résultats.

Les annexes permettent le cas échéant d'approfondir certains points.

Ce programme de cartographie de l'aléa « mouvements de terrain » est la première brique de la politique publique de gestion des risques (PPGR, 10/2022), élaborée à la demande du gouvernement de Nouvelle-Calédonie et coordonnée par la direction de la sécurité civile et de la gestion des risques (DSCGR). Pour rappel :

- La Nouvelle-Calédonie est compétente en matière de sécurité civile, et donc de prévention des risques, depuis que ce transfert est effectif (1<sup>er</sup> janvier 2014).
- Les Plans de Prévention des Risques (PPR) naturels prévisibles ne s'appliquent pas en Nouvelle-Calédonie.

A la place, il est envisagé de superposer l'aléa aux enjeux actuels ou futurs (définis en concertation avec les collectivités locales), afin que des recommandations voire des prescriptions en matière d'aménagement ou de construction, puissent être appliquées le cas échéant, selon des principes directeurs à définir, ou le volontarisme de communes et provinces.

Carte des aléas mouvements de terrain – Commune de Poya, Nouvelle-Calédonie

### **Sommaire**

| 1 P  | RESENTATION DE LA COMMUNE   |    |
|------|---|----|
| 2 P  | PRESENTATION DE LA DEMARCHE   | 13 |
| 2.1  | Evaluation de la rupture  | 13 |
| 2.2  | Evaluation de la propagation  | 14 |
| 2.3  | Evaluation de l'aléa  | 14 |
| 3 11 | NVENTAIRE DES EVENEMENTS PASSES                                       | 16 |
| 4 L  | ES DONNEES NECESSAIRES : VARIABLES PREDICTIVES                        | 23 |
| 4.1  | Données géologiques   | 23 |
| 4.2  | Données morphologiques  | 28 |
| 5 R  | RESULTATS   | 31 |
| 5.1  | Cartographie de l'aléa mouvements de terrain                          | 31 |
| 5.2  | Validation des résultats  | 39 |
| 5.3  | Enjeux et risques   | 42 |
| 6 C  | CONCLUSION ET PERSPECTIVES  | 43 |
| 7 B  | BIBLIOGRAPHIE   | 45 |
| 7.1  | Guides  | 45 |
| 7.2  | Rapports  | 45 |
| 7.3  | Documents académiques   | 45 |
| 8 A  | NNEXES  | 47 |
| 8.1  | Annexe 1 – Lexique des termes utilisés                                | 47 |
| 8.2  | Annexe 2 – Indicateurs morphométriques des évènements                 | 54 |
| 8.3  | Annexe 3 – Susceptibilité de rupture par phénomène                    | 56 |
| 8.4  | Annexe 4 – Méthode d'évaluation de l'aléa mouvement de terrain        | 77 |
| 8.5  | Annexe 5 – Application sur la commune de Poya                         | 83 |
| 8.6  | Annexe 6 – Atlas cartographiques : phénomènes de mouvement de terrain | 91 |
| 8.7  | Annexe 7 – Atlas cartographiques : aléa mouvement de terrain          | 93 |
| Anr  | nexe hors-texte : BDD cartographiques (SIG)                           |    |
|      | Inventaire des mouvements de terrain                                  |    |
|      | Cartes d'aléa par phénomène et carte de synthèse                      |    |

### Liste des illustrations

| Illustration 1 - | - Présentation de la commune de Poya et des principaux enjeux  | 12          |
|------------------|--|-------------|
| Illustration 2 - | - Matrice d'évaluation de l'aléa croisant Intensité et Atteinte  | 14          |
| Illustration 3 - | - Synthèse méthodologique  | 15          |
| Illustration 4 - | - Exemple de cartographie des enveloppes des mouvements de terrain sur la commune  | 17          |
| Illustration 5 – | - Localisation des différents types de phénomènes de mouvements de terrain<br>recensés sur la commune de Poya (Annexe 6 – Atlas cartographiques :<br>phénomènes de mouvement de terrain) | 18          |
| Illustration 6 – | - Différents types de mouvement de terrain sur substrat volcanosédimentaire sur la<br>commune de Poya  | 19          |
| Illustration 7 – | - Différents types de mouvement de terrain sur substrat ultrabasique sur la<br>commune de Poya   | 20          |
| Illustration 8 – | - Dénombrement des phénomènes de mouvements de terrain par période Erreur! Signet  | non défini. |
| Illustration 9 - | - Distribution des surfaces [m²] par typologie de mouvements de terrain  | 21          |
| Illustration 10  | - Distribution des pentes [°] par typologie de mouvements de terrain   | 22          |
| Illustration 11  | - Cartographie du substratum géologique  | 25          |
| Illustration 12  | Exemple de mise à jour de la carte du régolithe  | 26          |
| Illustration 13  | - Cartographie des classes de formations du régolithe sur la commune de Poya   | 27          |
| Illustration 14  | - Cartographie des classes de pentes sur la commune de Poya  | 28          |
| Illustration 15  | - Cartographie des classes de paysages (TPI) sur la commune de Poya  | 29          |
| Illustration 16  | - Cartographie des classes de paysages (Landform) sur la commune de Poya   | 30          |
| Illustration 17  | <ul> <li>Exposition du territoire communal (km² et %) aux différents types de<br/>phénomène et niveau d'aléa</li> </ul>  | 32          |
| Illustration 18  | Cartographie de l'aléa chutes de blocs sur la commune de Poya  | 33          |
| Illustration 19  | - Cartographie de l'aléa glissements fins sur la commune de Poya   | 34          |
| Illustration 20  | - Cartographie de l'aléa glissements grossiers sur la commune de Poya  | 35          |
| Illustration 21  | Cartographie de l'aléa laves torrentielles sur la commune de Poya  | 36          |
| Illustration 22  | - Cartographie générale de l'aléa mouvement de terrain sur la commune de Poya  | 37          |
| Illustration 23  | - Taux de reconnaissance selon le type de phénomène (rupture)  | 39          |
| Illustration 24  | <ul> <li>Taux de reconnaissance des évènements (rupture et propagation) selon la<br/>classe d'aléa finale pour chaque de phénomène</li> </ul>  | 40          |
| Illustration 25  | - Propagation de LT hors emprise de zone soumise théoriquement à aléa  | 41          |
| Illustration 26  | Exposition des constructions à l'aléa mouvements de terrain sur la commune de Poya   | 42          |
| Illustration 27  | - Les 7 piliers de la prévention des risques naturels, au service de la Politique  Publique de Gestion des Risques (PPGR) en Nouvelle-Calédonie  | 44          |

### 1 Présentation de la commune

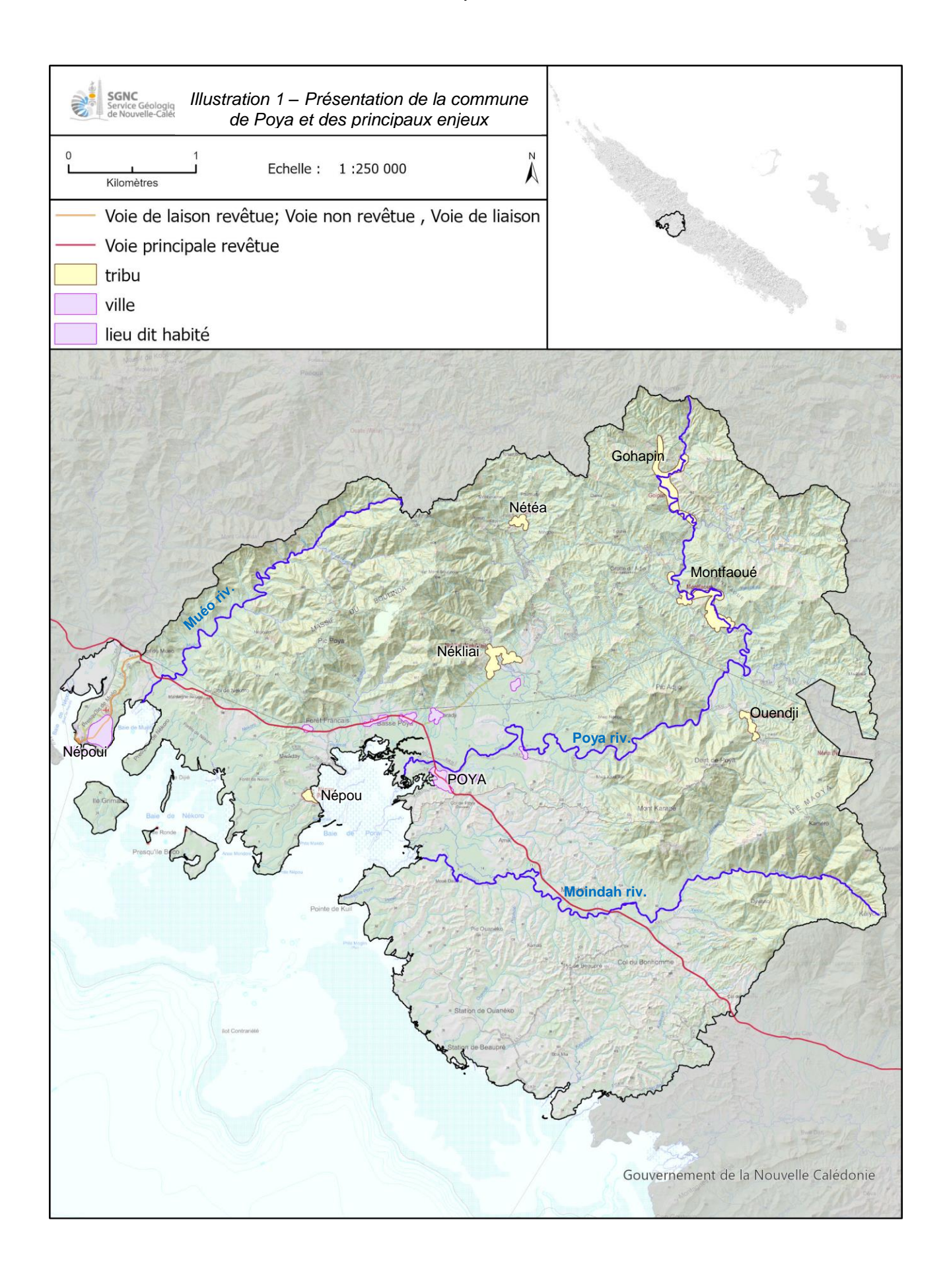
D'une superficie de 846 km², la commune de Poya est située dans la région centrale de la côte Ouest de la Grande Terre, entre les communes de Pouembout au nord\_ouest, Ponérihouen au nord Houaïlou à l'est et Bourail au sud-est. La commune est partagée entre les provinces Nord et Sud.

La commune de Poya est centrée sur le village de Poya qui se développe sur la plaine alluviale entre la rivière Poya au nord et la rivière Moindah au sud.

La limite nord-est de la commune correspond à une ligne de crête qui marque la limite de séparation des eaux entre la côte ouest et la côte est et dont l'altitude à l'Aoupinié (1006 m).

Le relief est marqué par les massifs de Boulinda (1330 m) au nord-ouest et du Me Maoya (1501 m) au sud-est.

La population de la commune était d'environ 2 800 habitants en 2019 (Illustration 1) soit une densité de 3,3 habitants/km² (14.6 habitants/km² en Nouvelle-Calédonie). La population est essentiellement localisée au niveau des villages de Poya et de Népoui, sur la presqu'ile de Népoui à la limite nord-ouest de la commune. 6 tribus, où vivent près de la moitié des habitants, sont présentes sur la commune de Poya. Les tribus de Nékliai, Nétéa, Gohapin, Montfaoué et Ouendji sont situées à l'intérieur des terres, dans la vallée de la Poya. La tribu de Népou étant située au bord de mer.



### 2 Présentation de la demarche

L'aléa se définit comme la manifestation d'un phénomène ou un évènement naturel d'**occurrence** et d'**intensité** donnée (C2ROP, 2020). Caractériser l'aléa mouvement de terrain sur un territoire revient à définir la probabilité spatiale (susceptibilité) et temporelle (période de retour) qu'un type de phénomène, d'une certaine intensité (ampleur et conséquences du phénomène) se produise à l'échelle de ce territoire, pour une période temporelle donnée (Cruden et Fell, 1997; Fell et al., 2005).

La caractérisation de l'aléa est menée pour 4 types de mouvements de terrain : les chutes de blocs (CB), les glissements fins (GF), les glissements grossiers (GG) et les laves torrentielles (LT) (voir lexique en annexe, § 8.1). Les grands glissements de versant (GGV), phénomènes exceptionnels et anciens pour la plupart sont délimités pour mémoire, mais l'aléa associé n'est pas caractérisé.

L'inventaire des phénomènes passés constitue un préalable indispensable à l'évaluation des aléas pour identifier les conditions d'apparition des évènements. Il est réalisé sur l'ensemble du territoire communal principalement à partir de photo-interprétation (photos aériennes et images satellites) à différentes dates (1976, 2008, 2011, etc.).

L'évaluation de l'occurrence du phénomène (ou atteinte) intègre **la rupture** et **la propagation** de celui-ci. La rupture intègre une dimension temporelle alors que la propagation est indépendante du temps (une fois enclenché le mouvement se propage plus ou moins loin dans les versants). Les deux évaluations (rupture et propagation) sont donc menées successivement (voir annexe 8.4) : analyse de la rupture (dimension spatiale et temporelle du phénomène) puis celle de la propagation (composante spatiale uniquement).

### 2.1 Evaluation de la rupture

Globalement la méthode déployée consiste à pondérer l'influence des facteurs de prédisposition (variables prédictives) définis par la typologie de chaque phénomène :

- Géologie du substratum, formations superficielles (régolithe), pentes et paysages (landform, paramètre géomorphologique issu du MNT¹) pour les GF et GG,
- Formations du régolithe, pentes, MNT et indice de positionnement topographique (TPI, Topographic Position Index) pour les LT.
- Géologie du substratum, pentes (déduite MNT) pour les CB.

Pour les LT, GF et GG la méthode valorisée est statistique (WoE : poids des évidences) en valorisant les données d'inventaire. Pour les CB l'approche est experte à partir des données lithologiques des formations géologiques et des contextes morphologiques.

<sup>&</sup>lt;sup>1</sup> MNT : Modèle Numérique de Terrain, altitude du sol à la maille de 10 m (DITTT)

### 2.2 Evaluation de la propagation

L'évaluation de la propagation des phénomènes diffère selon les aléas. Pour les GG, GF et LT une modélisation numérique² a été mise en œuvre. Cette modélisation permet de réaliser une hiérarchisation des périmètres de propagation en se basant sur les retours d'expérience fournis par l'inventaire. Le paramétrage du modèle dépend du type de phénomène. Le volume d'écoulement des débris, et de fait les hauteurs des masses propagées, ne sont pas évalués.

Pour les CB la propagation des chutes de blocs et éboulements est évaluée à partir de l'application de la méthode dite de la ligne d'énergie déclinée en 3D<sup>3</sup>.

### 2.3 Evaluation de l'aléa

La caractérisation de l'aléa se fait par croisement entre l'intensité du phénomène et la probabilité d'atteinte. Pour les GF, GG et LT, l'intensité est directement déduite de la vitesse du phénomène. Pour les CB, l'intensité dépend du volume de bloc en mouvement et de sa vitesse. Dans le cadre de l'étude, le volume du bloc est considéré homogène entre 0,25 et 1 m³, indépendamment des formations géologiques concernées.

La matrice de croisement entre intensité et atteinte est présentée en Illustration 2. L'aléa est défini suivant 7 niveaux : Nul à négligeable, Négligeable, Très faible, Faible, Modéré, Elevé, Très élevé. Les différentes approches pour la détermination des probabilités d'intensité, de rupture et de propagation par type de phénomène sont synthétisées dans le tableau en Illustration 3.

|          |                     | Intensité         |                   |                            |             |             |  |
|----------|---------------------|-------------------|-------------------|----------------------------|-------------|-------------|--|
|          |                     | Très faible       | Faible            | Moyenne                    | Elevée      | Très élevée |  |
| 1        | Nulle à négligeable | Nul à négligeable | Nul à négligeable | Nul à négligeable          | Très faible | Très faible |  |
| 2        | Négligeable         | Nul à négligeable | Nul à négligeable | Très faib <mark>l</mark> e | Faible      | Faible      |  |
| Classe 4 | Très faible         | Nul à négligeable | Très faible       | Faible                     | Modéré      | Modéré      |  |
|          | Faible              | Nul à négligeable | Faible            | Modéré                     | Elevée      | Elevée      |  |
| 5        | Moyenne             | Très faible       | Modéré            | Modéré                     | Elevée      | Elevée      |  |
| 6        | Elevée              | Faible            | Modéré            | Elevée                     | Elevée      | Très élevée |  |
| 7        | Très élevée         | Faible            | Modéré            | Elevée                     | Très élevée | Très élevée |  |

Illustration 2 – Matrice d'évaluation de l'aléa croisant Intensité et Atteinte

A titre d'exemple sur la caractérisation des aléas, un aléa élevé de glissement fin suppose une atteinte (occurrence) élevée à très élevée alors qu'une une atteinte « faible » lave torrentielle induit un aléa élevé, compte tenu du caractère particulièrement rapide et destructeur de ce phénomène.

\_

<sup>&</sup>lt;sup>2</sup> Avec l'outil Flow-R (Flow path assessment of gravitational hazards at Regional scale, Horton et al., 2013), Flow-R est un modèle empirique distribué pour l'évaluation de la susceptibilité aux mouvements gravitaires

<sup>&</sup>lt;sup>3</sup> Avec l'outil ConeFall développé par l'EPFL (Ecole Polytechnique Fédérale de Lausanne) et QUANTERRA (https://quanterra.ch/resources/software/).

|           |             | Type de phénomène  |   |   |                                   |  |  |  |  |  |
|-----------|-------------|--|---|---|-----------------------------------|--|--|--|--|--|
|           |             | СВ   | GF GG LT  |   |                                   |  |  |  |  |  |
|           |             | Taille des blocs   | Vitesse   |   |                                   |  |  |  |  |  |
|           |             | Moyenne  | Modérée Elevée  |   | Très élevée                       |  |  |  |  |  |
| Intensité |             | Volume compris<br>entre 0.25 et 1 m <sup>3</sup>   | Lent (# 50 cm/jour) à Très rapide (50 mm/s à 5 m/s)   |   | Extrêmement<br>rapide<br>(>5 m/s) |  |  |  |  |  |
|           | Rupture     | Probabilité<br>présence  | Calculs statistiques "Weight of evidence" à partir de variables prédictives et de l'inventaire des phénomènes |   |                                   |  |  |  |  |  |
|           |             | escarpement rocheux (selon un seuil de pente déduit de la résolution du MNT) + Probabilité chute de bloc (selon une approche experte à partir des lithologies) | Variables prédictives :   |   |                                   |  |  |  |  |  |
|           |             |  | Géologie d  | Formations du régolithe   |                                   |  |  |  |  |  |
| Atteinte  |             |  | Formation   | Pentes (dérivées<br>du MNT)                                     |                                   |  |  |  |  |  |
|           |             |  | Pentes (dér   | TPI (indice de<br>position<br>topographique,<br>dérivée du MNT) |                                   |  |  |  |  |  |
|           |             |  | Landform (d   | -   |                                   |  |  |  |  |  |
|           | Propagation | Cald   | culs basés sur la r   | notion de ligne d'éner  | gie                               |  |  |  |  |  |
|           |             | Logiciel ConeFall  | Logiciel Flow-R   |   |                                   |  |  |  |  |  |

Illustration 3 – Synthèse méthodologique

# 3 Inventaire des événements passés

1355 évènements ont été recensés sur le territoire communal de Poya et représentés cartographiquement par leur extension (Illustration 4, Annexe 6 – Atlas cartographiques : phénomènes de mouvement de terrain). Ils se répartissent selon 5 types (Illustration 5, Annexe 1 – Lexique des termes utilisés) :

- Les glissements grossiers (GG) comptent 787 mouvements (58% de l'inventaire) ;
- Les glissements fins (GF) comptent 327 mouvements (24%);
- La présence de 91 laves torrentielles (LT), (7% des évènements);
- Relativement peu de chutes de blocs (CB), 6 évènements (<1%), compte tenu de la difficulté à repérer des blocs éboulés par photo-interprétation ;
- Des coulées<sup>4</sup> de matériaux fins et /ou grossiers qui résultent de mécanismes érosifs (ravinement), affectant les zones de décharges minières (COUL) (107 cas, 8% des évènements).
- Notons également 37 grands glissements de versants (GGV) (3% des phénomènes)

Spatialement les mouvements affectent la totalité de la commune, avec cependant une répartition dépendante de la géologie et du relief. Les glissements grossiers et laves torrentielles affectent majoritairement les massifs de péridotites du Boulinda et du Mé Maoya, tandis que les glissements fins sont concentrés sur les formations sédimentaires de la chaine centrale au nord-est. Les enveloppes des mouvements sont cartées en distinguant zones de rupture (ou d'ablation) et zone de propagation (ou d'accumulation).

Temporellement (**Erreur! Source du renvoi introuvable.**, Illustration), la majorité (60%) des évènements recensés sont qualifiés de récents (période 1976-2008). Viennent ensuite les phénomènes anciens (avant 1976 : 35%) et enfin les phénomènes actuels, depuis 2008 représentent 5%.

L'effort considérable de recensement et de caractérisation des événements passés permet une exploitation statistique robuste et précieuse pour l'évaluation des aléas (Illustration , Illustration , Annexe 2 – Indicateurs morphométriques des évènements).

\_

<sup>&</sup>lt;sup>4</sup> Les phénomènes de coulées par ravinement (COUL) ne font pas l'objet de cartes d'aléa dans le programme.

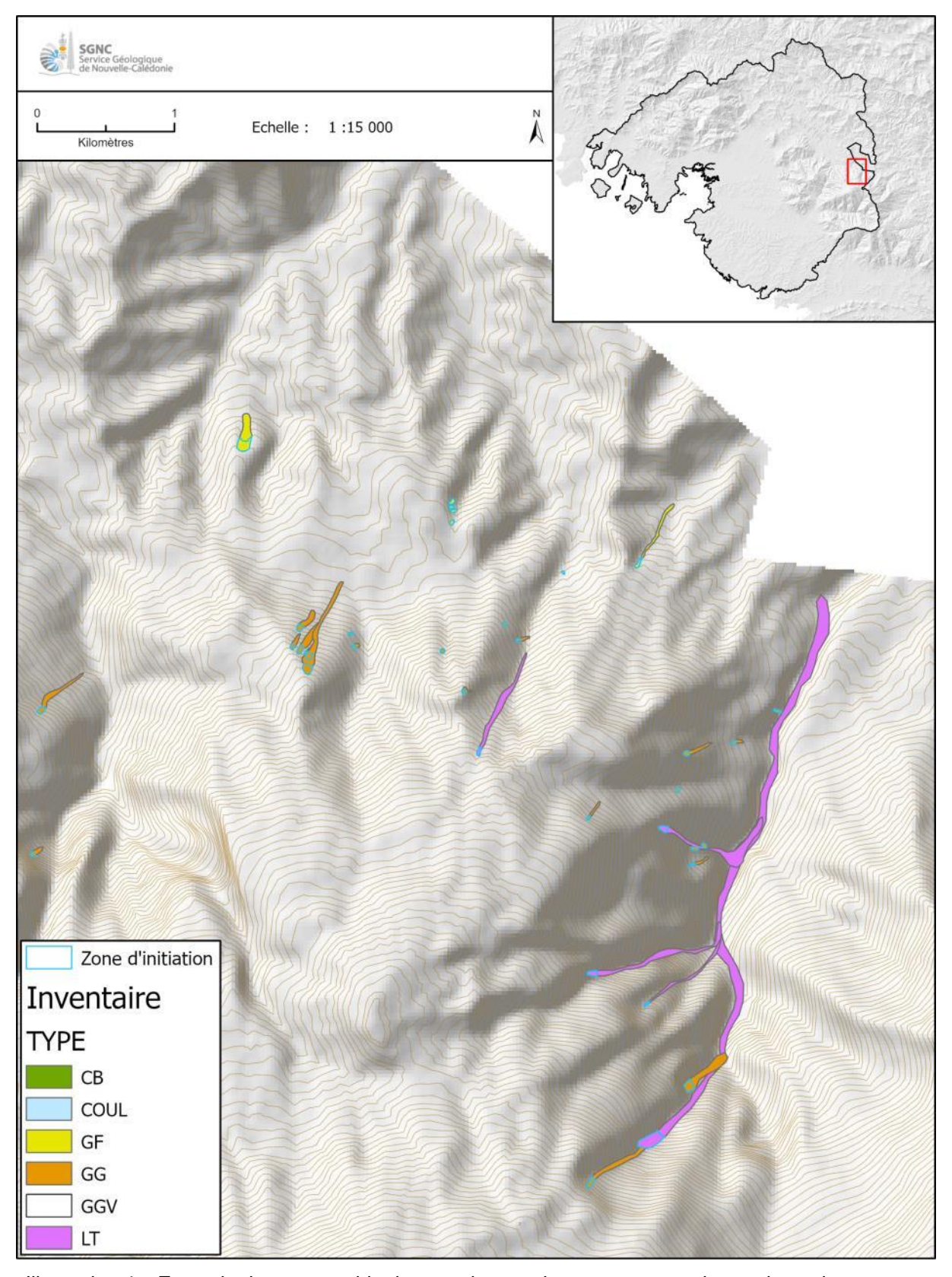


Illustration 4 – Exemple de cartographie des enveloppes des mouvements de terrain sur la commune

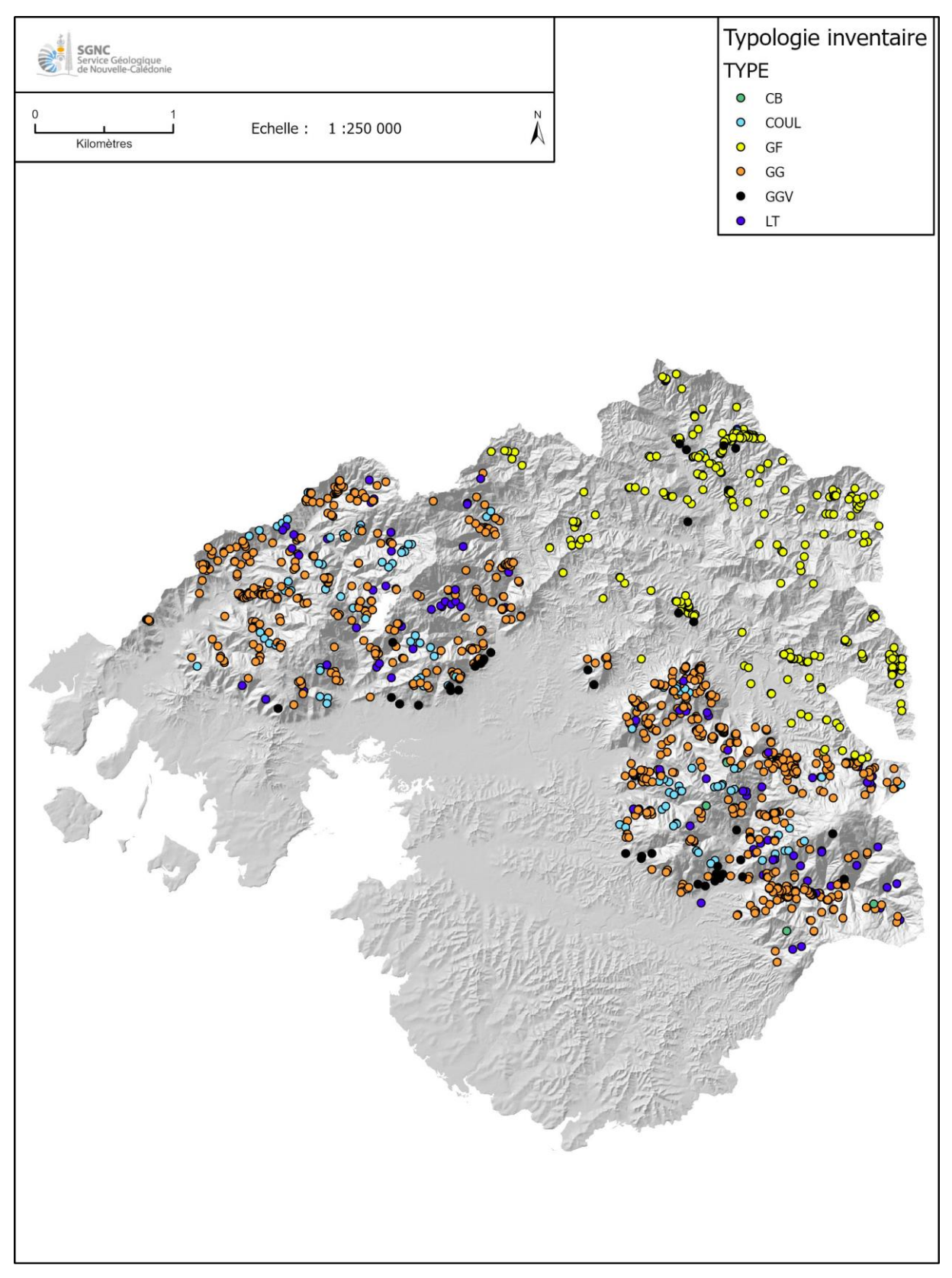
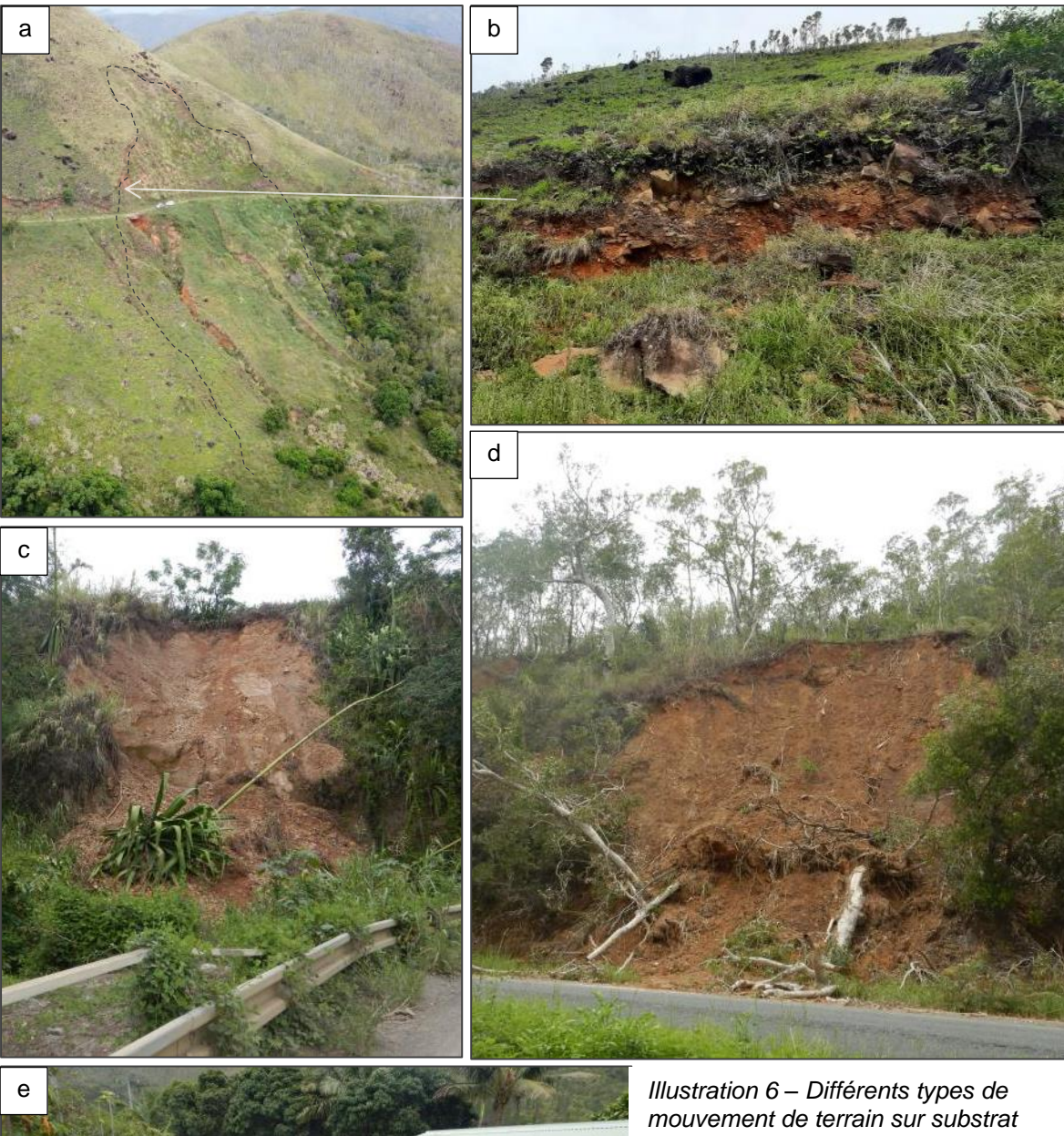


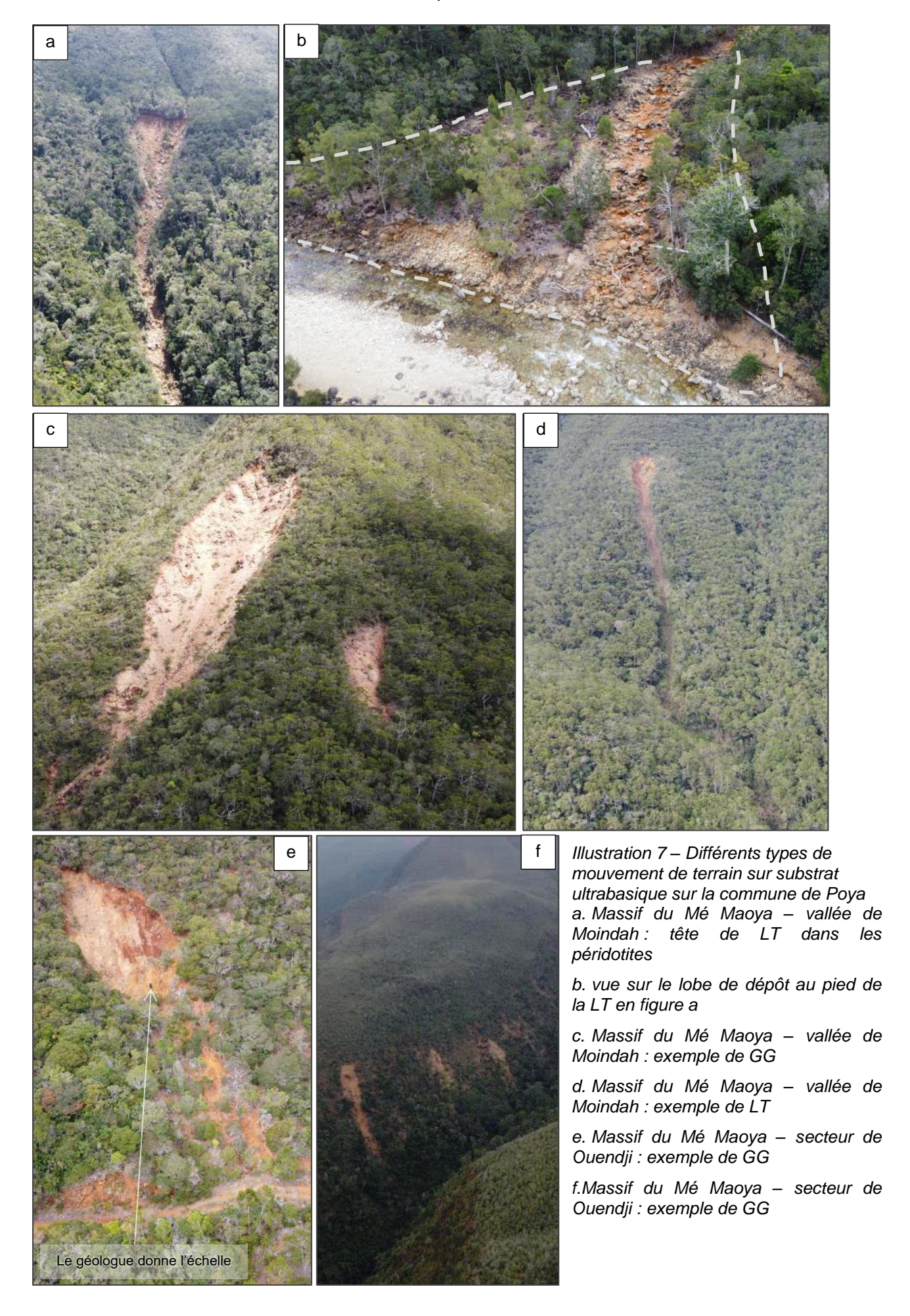
Illustration 5 – Localisation des différents types de phénomènes de mouvements de terrain recensés sur la commune de Poya (Annexe 6 – Atlas cartographiques : phénomènes de mouvement de terrain)





volcanosédimentaire sur la commune de Poya

- a. route de l'Aoupinié, glissement / coulée dans siltites les charbonneuses
- b. vue sur les matériaux remobilisés dans le versant
- c. exemple de GF, talus routier dans la tribu de Gohapin
- d. exemple de GF, talus routier de la route
- e. GF, tribu de Gohapin, vue sur la zone de dépôt



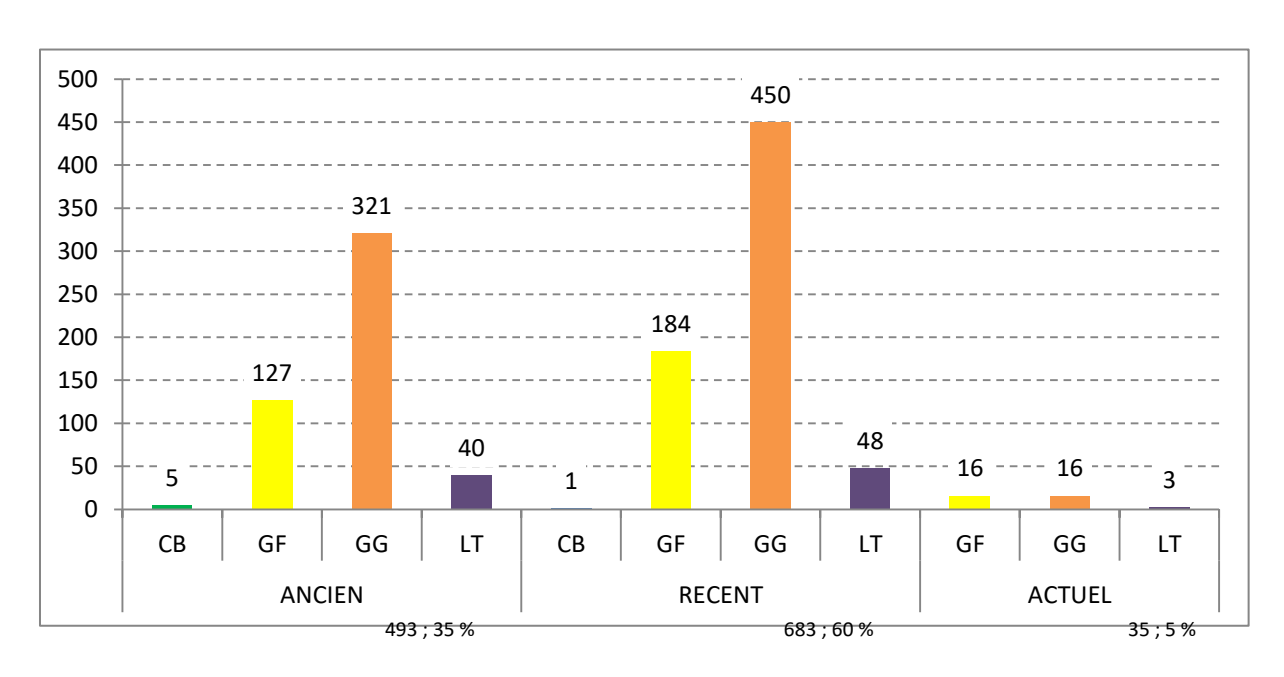


Illustration 8 – Dénombrement des types de phénomènes de mouvements de terrain par période

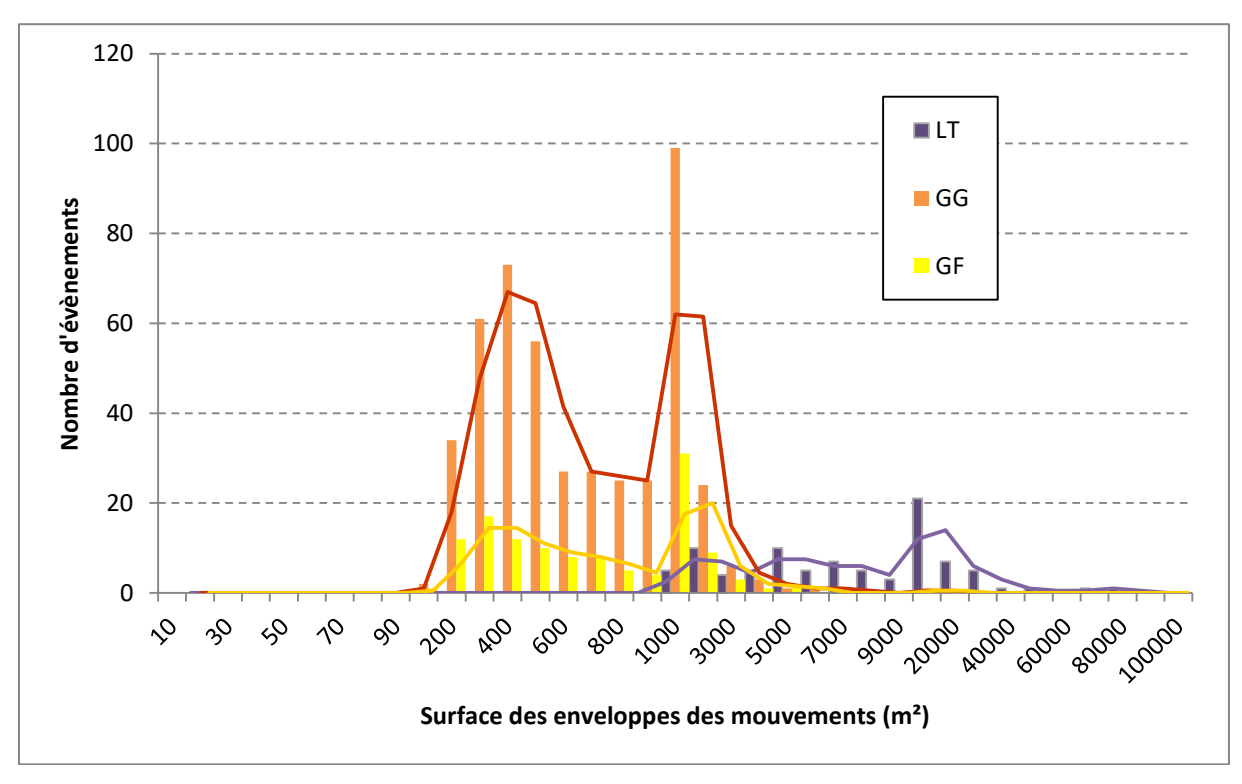


Illustration 9 – Distribution des surfaces [m²] par typologie de mouvements de terrain

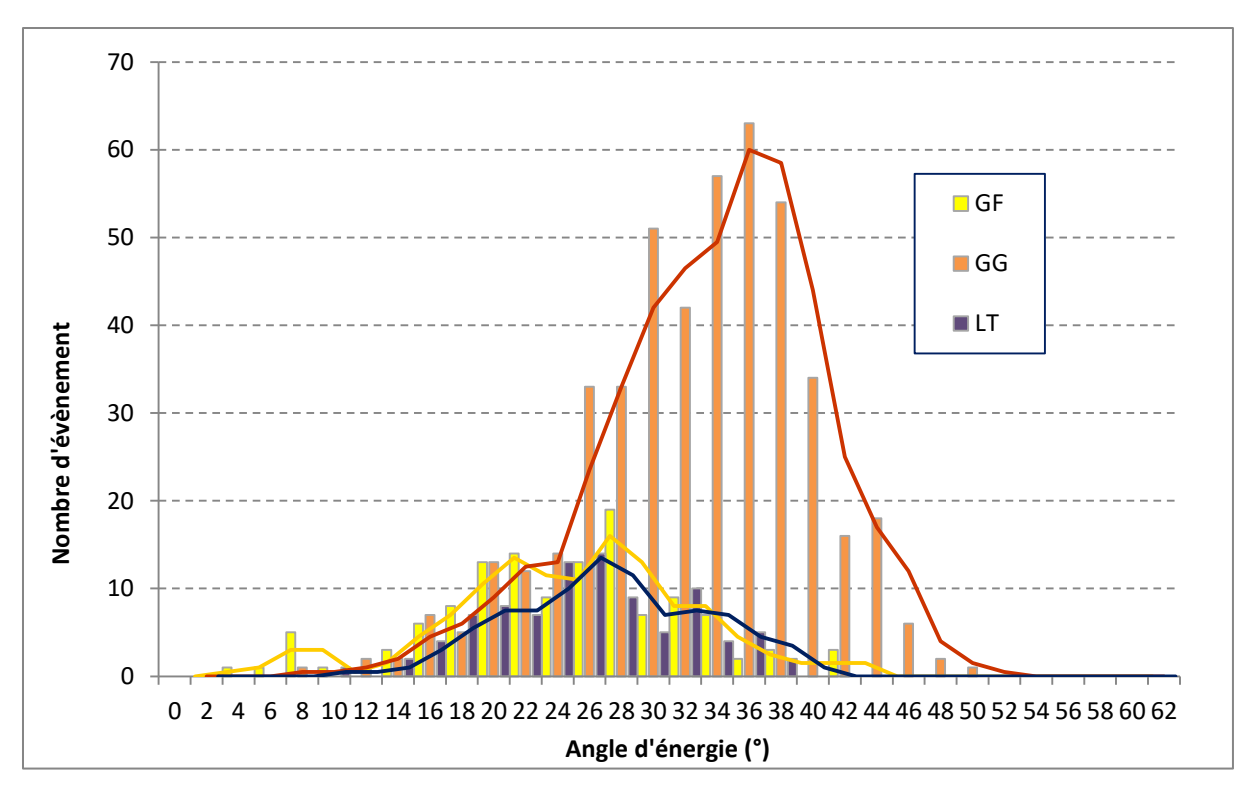


Illustration 10 – Distribution des valeurs d'angles de ligne d'énergie [°] par typologie de mouvements de terrain

# 4 Les données nécessaires : variables prédictives

Les variables prédictives sont utilisées conjointement avec les données de l'inventaire pour évaluer la probabilité de rupture pour l'ensemble des phénomènes (approche statistique pour GG, GF, LT et hiérarchisation experte pour CB). Outre les données d'ordre géologique : nature du substratum et des formations du régolithe, les calculs se basent également sur des données morphologiques, issues du traitement du MNT : pente, landform et TPI (Topographic Position Index ou indice de position topographique).

### 4.1 Données géologiques

### 4.1.1 Le substratum géologique

Sur la commune de Poya, on distingue trois grands ensembles (Illustration ) :

- Les terrains de la séquence ophiolitique (roches magmatiques): nappe des péridotites et formations de l'unité de de Poya, qui constituent un vaste ensemble couvrant près des ¾ de la commune. La nappe des péridotites (environ 30% de la surface de la commune) forme deux sous-ensembles: le massif du Boulinda au nord-ouest et le massif du Mé Maoya / Dent de Poya au sud-est. Les formations basaltiques de la nappe de Poya (environ 50% de la surface de la commune) s'étendent entre ces massifs péridotitiques au centre de la commune.
- Ensemble de formations volcano-sédimentaires formant une large bande orientée NO-SE, d'environ 10 km de large qui occupe le nord-est de la commune. Cet ensemble agrège des formations d'âges divers: ensemble poly-métamorphique anté sénonien, formations ophiolitiques du carbonifère (Koh), formations trias et jurassique de la chaine centrale (Ponérihouen Goipin), formations du Crétacé supérieur Paléocène ainsi que les formations du flysch Eocène.
- Ensemble des formations du Miocène de Népoui qui se rencontrent au niveau des presqu'iles de Népoui et Nékoro ainsi que les ilots avoisinants, à l'ouest de la commune.

Les principaux types de roches que l'on peut rencontrer sur la commune de Poya sont décrits en annexe 1 : définitions générales.

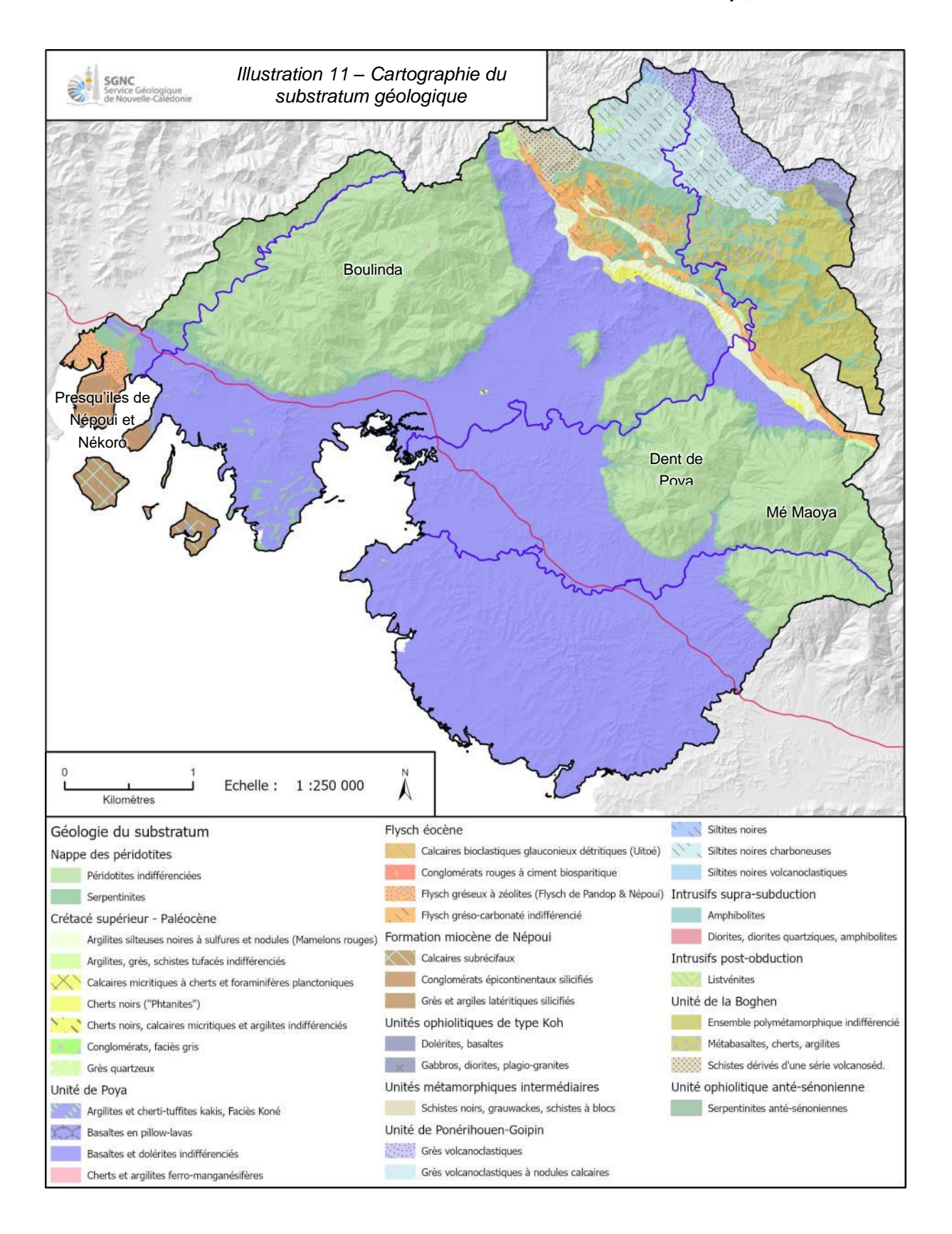
### 4.1.2 Les formations superficielles du régolithe

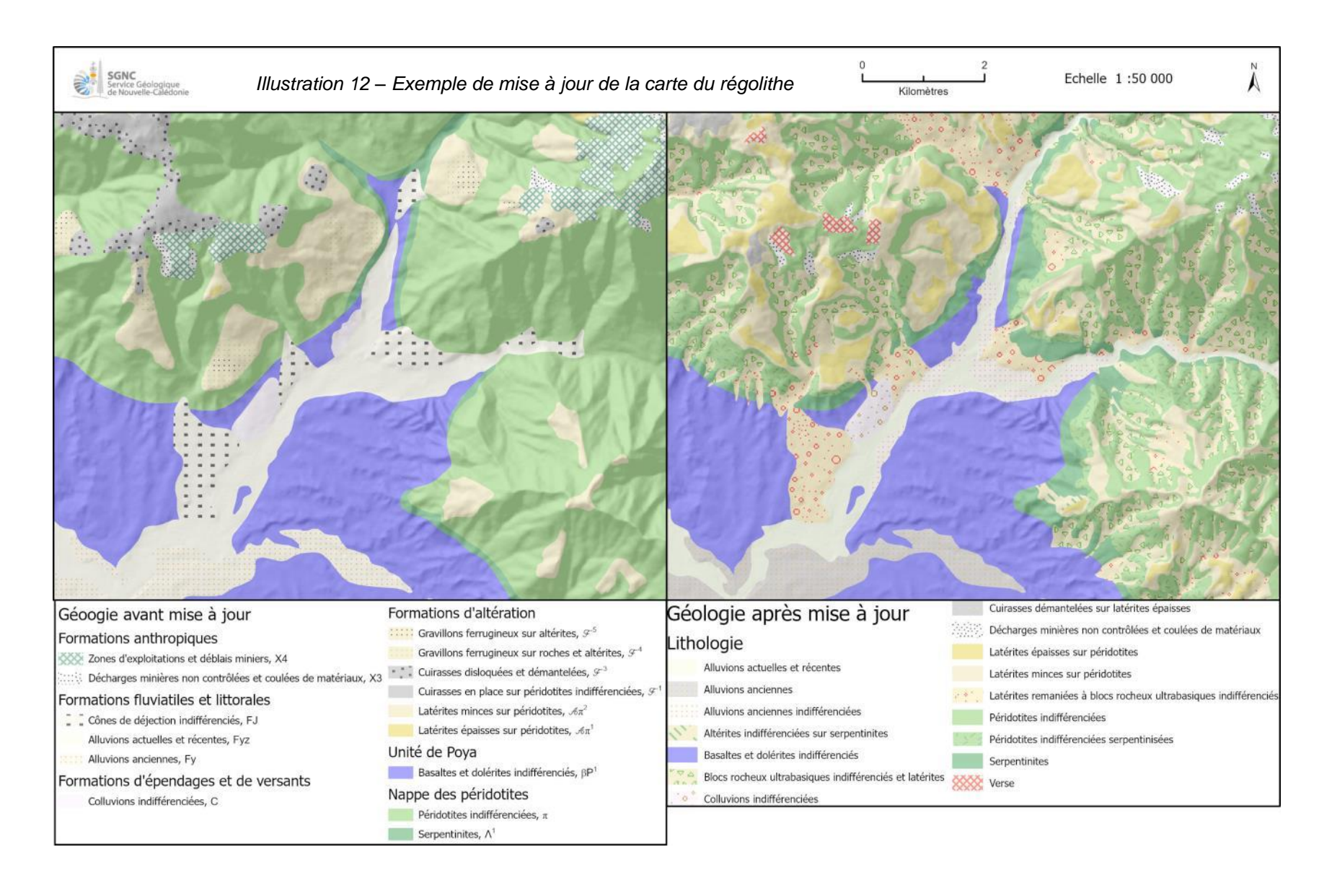
Un des traits caractéristiques des paysages calédoniens est la présence généralisée d'un couvert d'altération. L'ensemble de ces formations superficielles est désignée par le terme de « régolithe » pour lequel sont typiquement distinguées les formations en place ou autochtones et les celles remaniées ou allochtones. Dans le cadre de ces travaux sur l'aléa mouvement de terrain, une attention toute particulière a été portée sur la connaissance et la cartographie du régolithe (Illustration ), donnée essentielle pour la caractérisation de l'aléa. En effet, les phénomènes de mouvement de terrain mobilisent principalement la partie superficielle du profil d'altération, leur connaissance est une donnée fondamentale dans le cadre de la caractérisation des aléas.

 Massifs péridotites: Sur substrat péridotitique, le régolithe regroupe l'ensemble des faciès du profil d'altération, depuis la saprolite rocheuse jusqu'aux cuirassements ferrugineux en place, pour lesquels il n'y a pas ou peu eu de phase de transport

- gravitaire hormis des tassements verticaux pour certains horizons latéritiques rouges. Des épaisseurs de l'ordre de la dizaine de mètres sont courantes et des épaisseurs maximales de 40 m sont connues au niveau des plateaux du sud de la Grande Terre.
- Formation volcano-sédimentaire: Le maitre mot de l'altération sur le substrat volcanosédimentaire est l'argilitisation qui affecte également les faciès sédimentaires et volcaniques et conduit à la formation d'un profil peu épais, de un à quelques mètres tout au plus et exceptionnellement décamétrique pour les épaisseurs les plus importantes.

La carte des formations du régolithe est reclassée selon une typologie à huit classes (Illustration ) qui permet de discriminer les formations autochtones (FAU) des formations allochtones (FAL) et selon la nature et l'épaisseur des terrains.





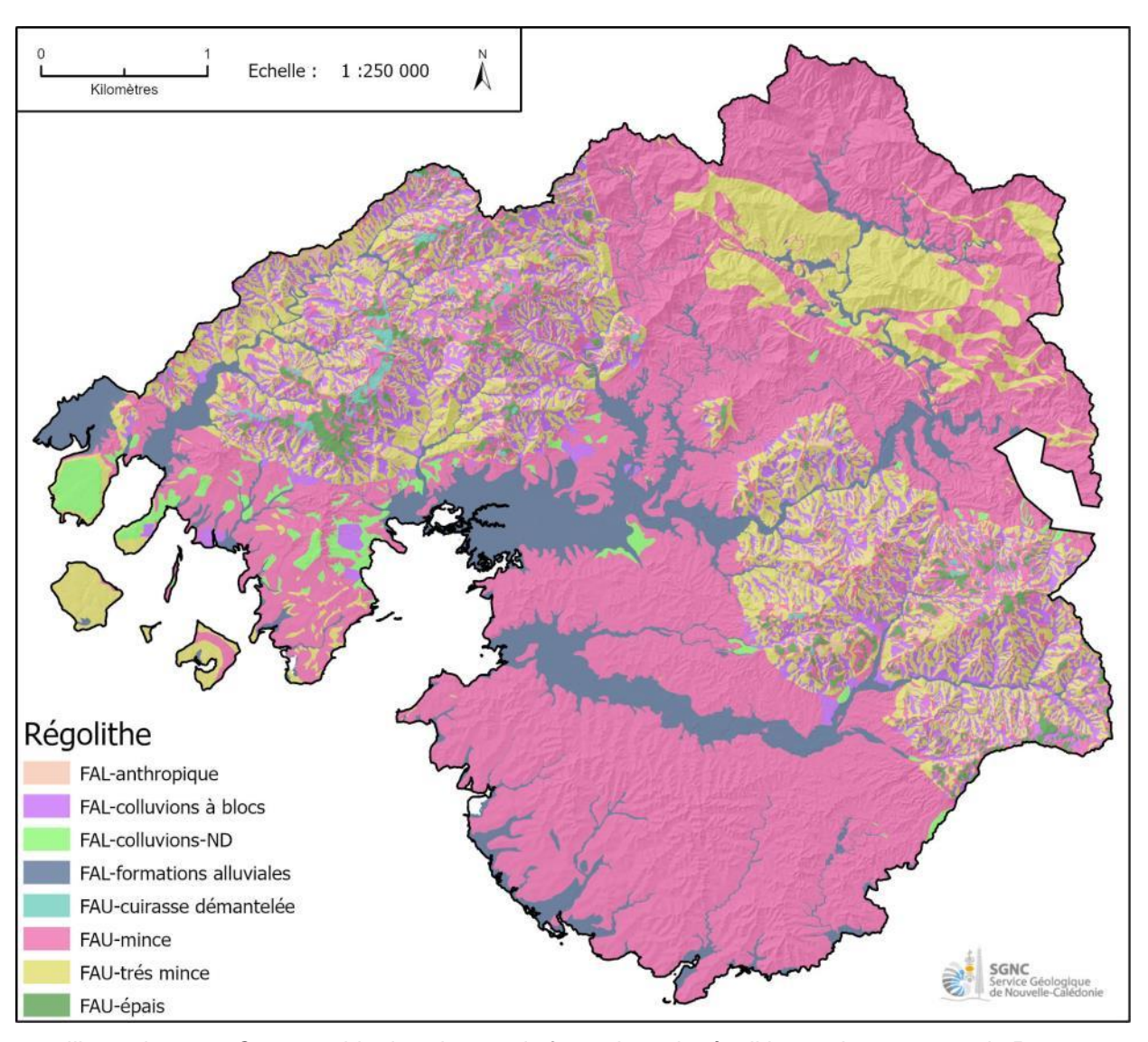


Illustration 13 - Cartographie des classes de formations du régolithe sur la commune de Poya

### 4.2 Données morphologiques

Les données morphologiques dérivent de la donnée topographique, définie sur le territoire par le MNT (grille de 10 m). La résolution et la précision des résultats sont directement liées à la qualité du MNT source. Pour limiter les incertitudes associés à la qualité du MNT initial, un **traitement spécifique pour les besoins du projet** a été engagé afin de pallier notamment l'insuffisance de précision des thalwegs (non représentés, problème d'encaissement trop faible, réseau non conforme à la réalité) qui sont essentiels pour modéliser notamment l'écoulement des laves-torrentielles et les cônes d'étalement. Néanmoins, le MNT tant par sa résolution que par sa définition est une donnée perfectible qui peut altérer localement les résultats et limite la résolution exploitable.

#### 4.2.1 Pentes

Les valeurs de pentes sont calculées à partir de la donnée MNT. Les valeurs sont reclassées en plage de 5° pour les valeurs de pente entre 0 et 50°. Au-delà de 50°, les pentes sont agrégées dans une seule et unique classe (Illustration).

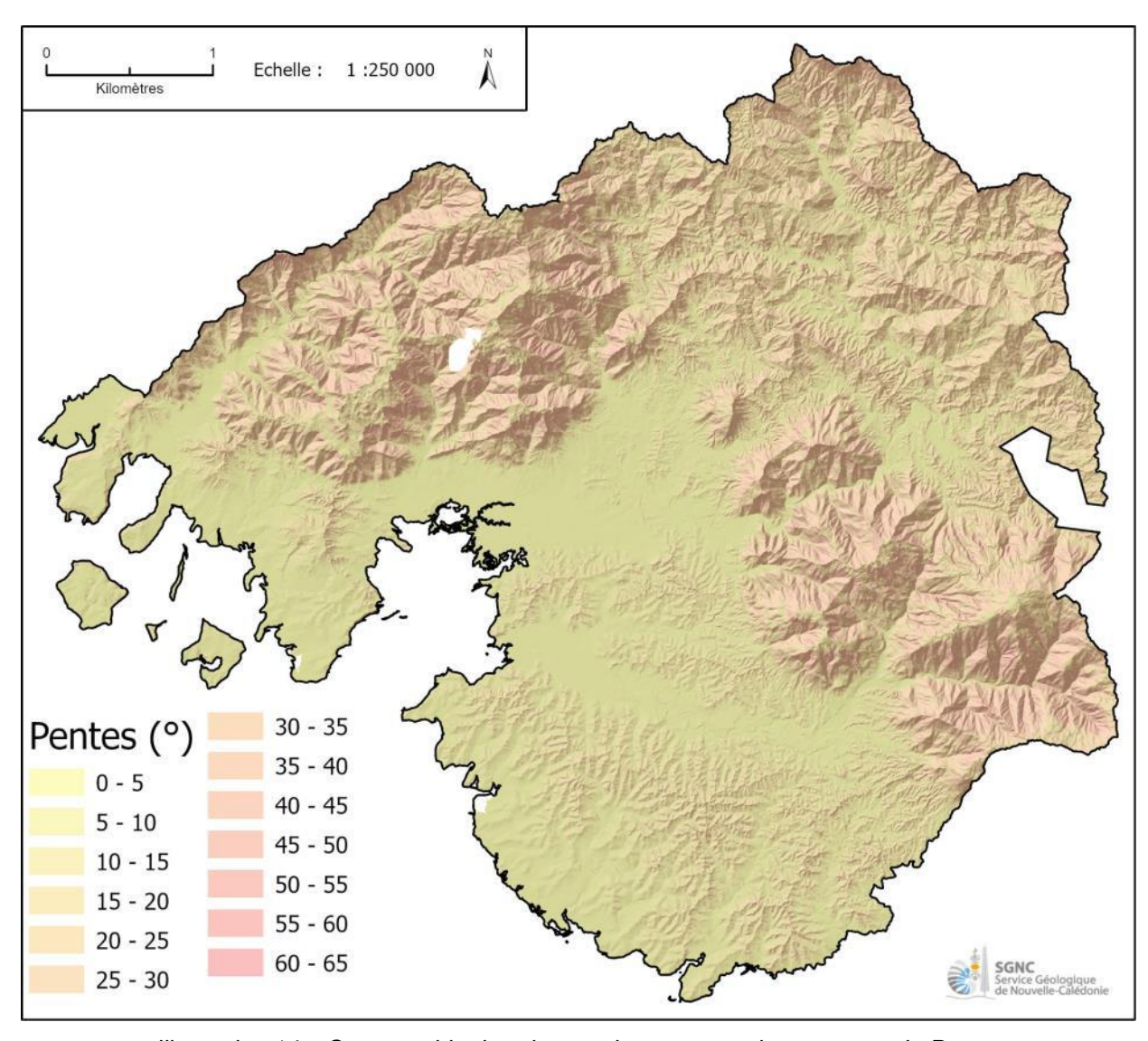


Illustration 14 - Cartographie des classes de pentes sur la commune de Poya

### 4.2.2 Indice de position topographique (TPI)

L'Indice de Position Topographique (TPI) est un premier paramètre intégrateur, descriptif des paysages et morphologies. Il est calculé selon la méthode proposée par Jones et al. (2000) et permet de classer le territoire suivant dix types morphologiques (Illustration): zones de crêtes, de vallées, de versants, etc.

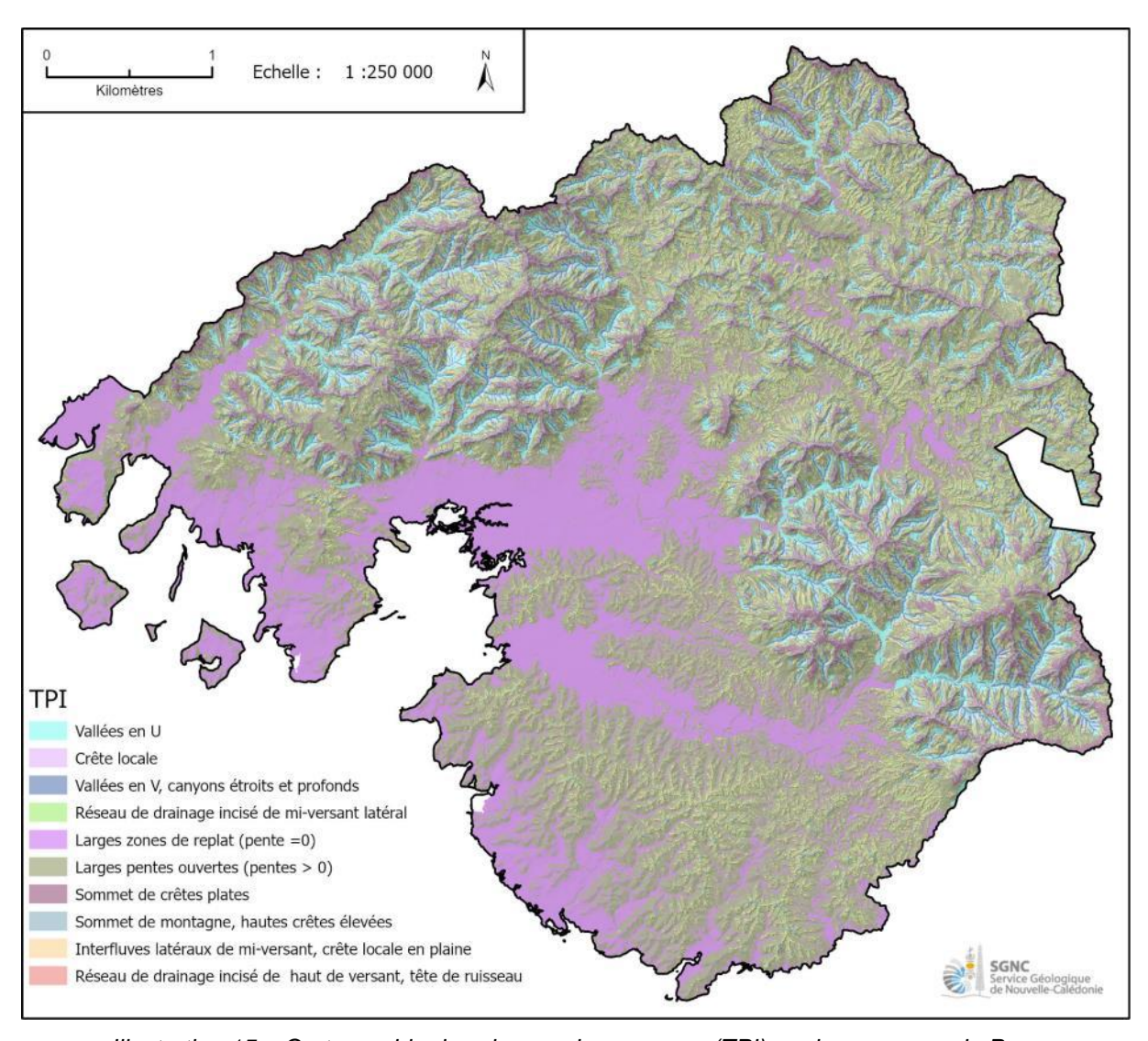


Illustration 15 - Cartographie des classes de paysages (TPI) sur la commune de Poya

### 4.2.3 Paysages et morphologies (Landform)

Le LANDFORM est un second paramètre intégrateur, descriptif des paysages et des morphologies en termes de pentes, texture et convexité. Il est calculé avec la méthode d'Iwahashi et Pike (2007) et permet de classer le territoire selon huit types morphologiques (Illustration).

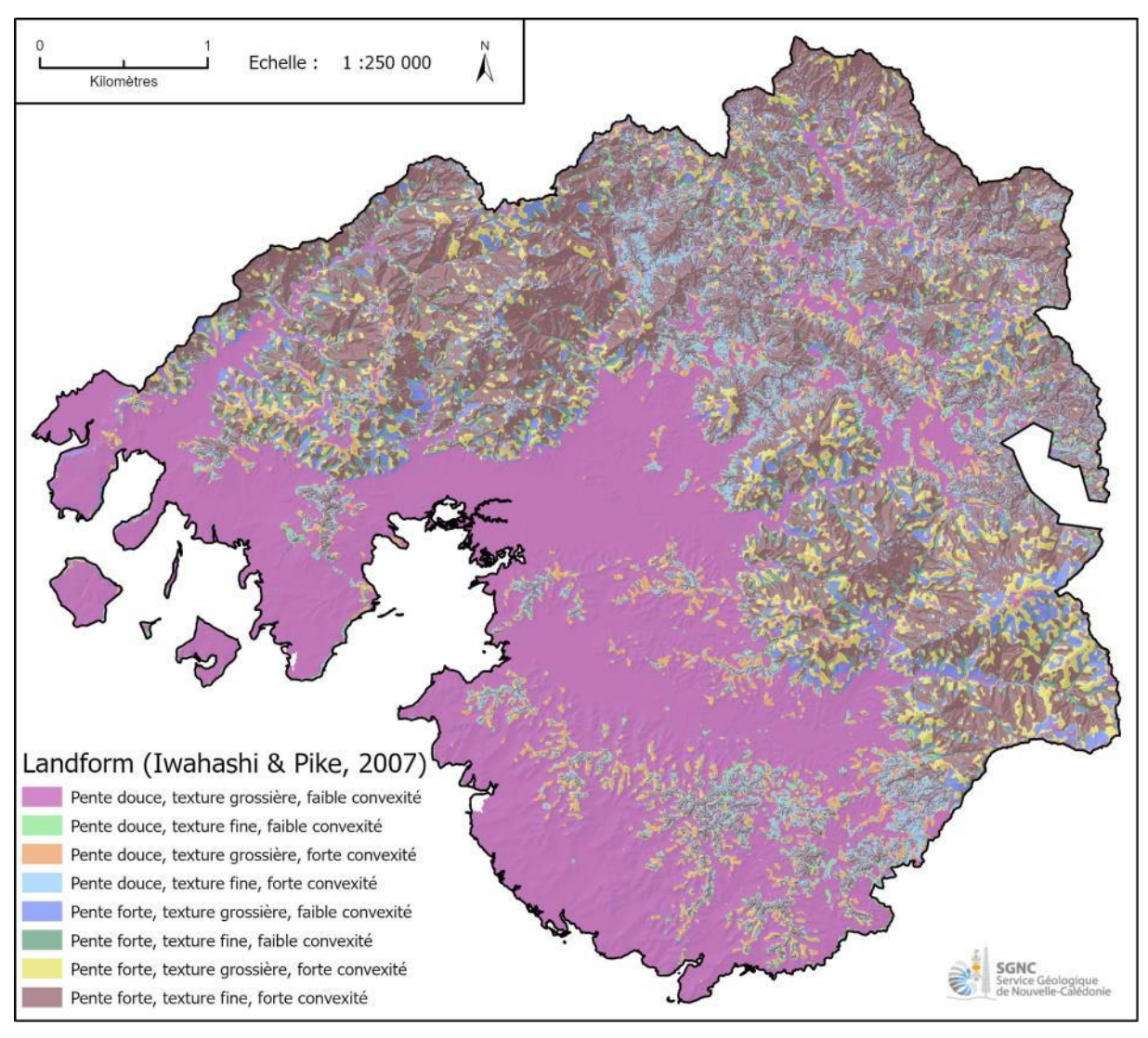


Illustration 16 - Cartographie des classes de paysages (Landform) sur la commune de Poya

### 5 Résultats

### 5.1 Cartographie de l'aléa mouvements de terrain

La carte de l'aléa « mouvement de terrain » est réalisée :

- pour chaque phénomène (CB, GF, GG et LT, respectivement Illustration, Illustration, Illustration) afin de conserver l'information la plus pertinente;
- et en combinant les cartes précédentes, dans une perspective plus opérationnelle, en retenant en tout point du territoire cartographié le niveau d'aléa maximal évalué (Illustration).

Cette cartographie de l'aléa « mouvement de terrain » est fournie sous forme d'un atlas au format A3 à l'échelle du 1 :25 000 sur l'ensemble du territoire communal (Annexe 7 – Atlas cartographiques) ainsi que sous forme numérique (système d'information géographique).

Ainsi, 57% du territoire communal est exposé à un aléa mouvement de terrain non négligeable (Illustration). Les niveaux d'aléa élevé et modéré représentent respectivement 11 et 24 % de la surface de la commune.

- L'aléa élevé concerne essentiellement les versants et les axes de talwegs des massifs de péridotites, du fait des laves torrentielles ou des glissements grossiers qui peuvent s'y produire. A noter que l'aléa se prolonge en forme de cône dans les axes des talwegs du fait de la propagation des laves torrentielles;
- L'aléa modéré affecte les pieds de versant des massifs ultrabasiques (Mé Maoya / Dent de Poya et Boulinda) mais également les versants sur substrat volcano-sédimentaire au nord de la commune vers la chaine le cœur de la chaine centrale;
- Le niveau d'aléa mouvements de terrain est considéré nul à négligeable au sein des plaines alluviales des rivières Poya et Moindah, ainsi que tout le long de la frange littorale et sur les zones de plateau au sommet des presqu'iles de Népoui et Nékoro.

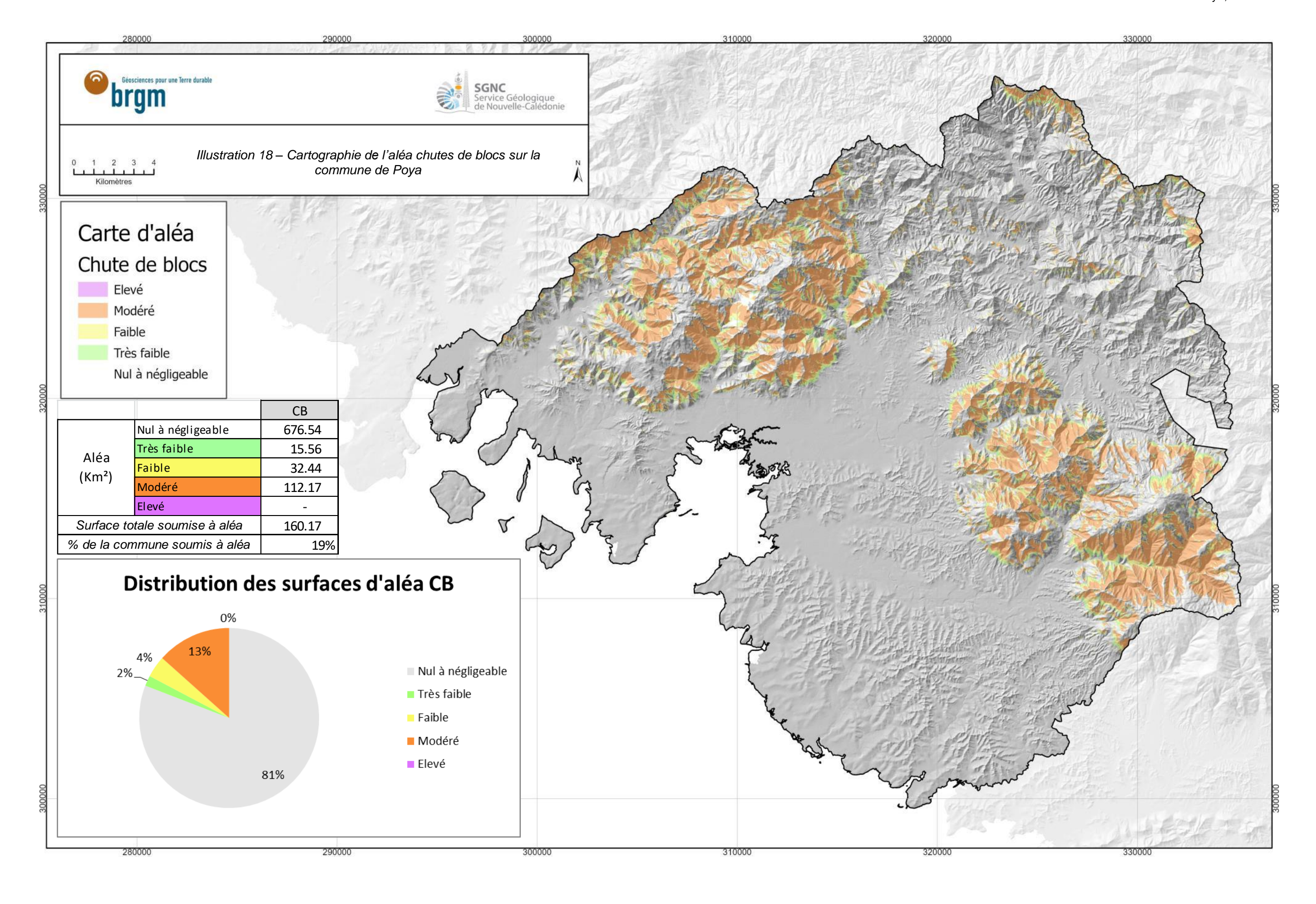
L'évaluation des aléas les plus élevés est cohérente avec la répartition géographique des phénomènes recensés (Illustration 5) :

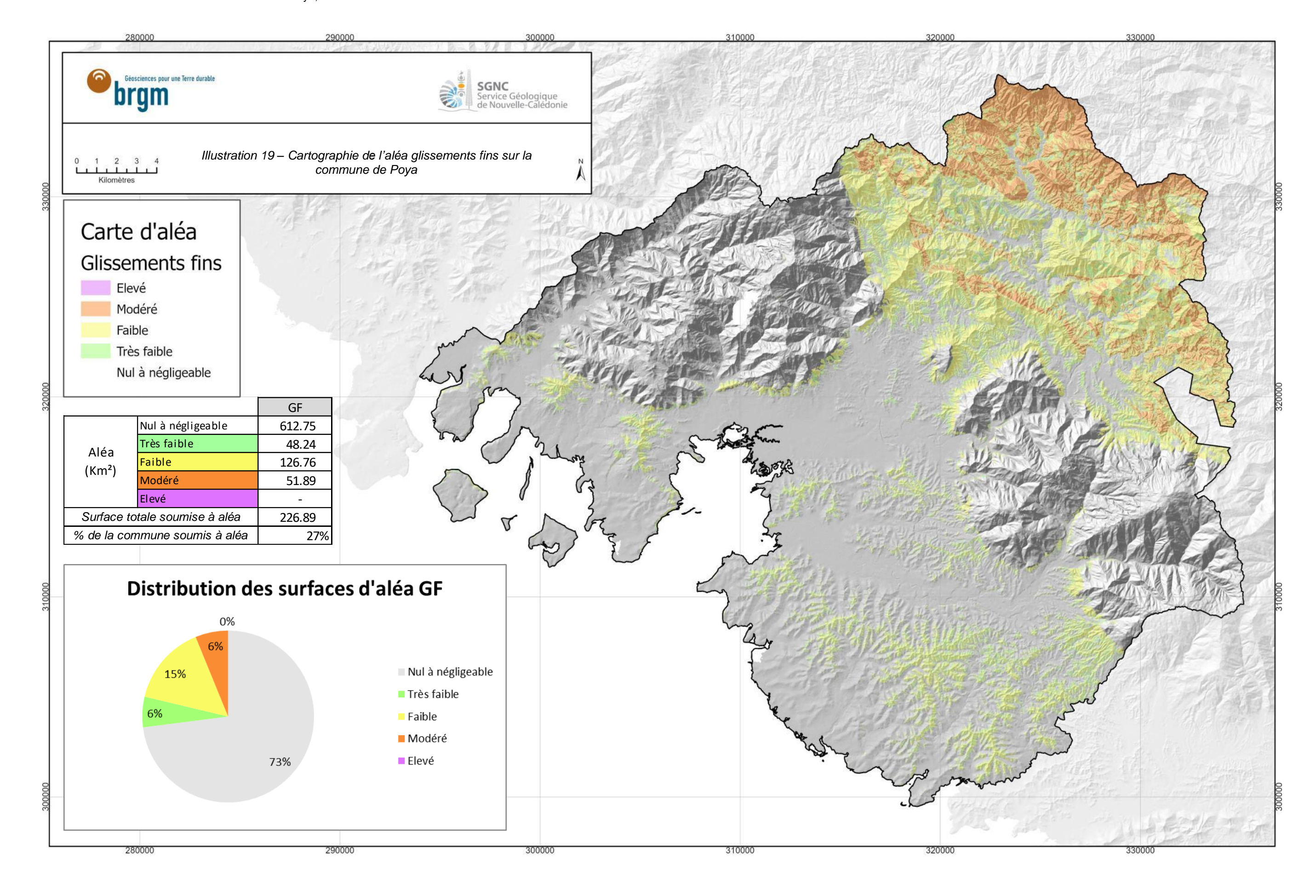
- Les zones d'aléa chute de blocs et éboulement (Illustration) de niveau modéré couvrent 13% de la commune et sont largement répartis sur les versants des massifs ultrabasiques de la commune ainsi qu'un niveau des chicots calcaires au nord-est de la commune;
- Les aléas glissements fins de niveau faible et modérés (respectivement 15 et 6%, Illustration) concernent essentiellement le substrat sédimentaire au nord de la commune et sont particulièrement présent au nord-est de la commune au niveau des versants de la chaine centrale;
- Les aléas glissements grossiers de niveau modéré et élevé (respectivement 18 et 9%, Illustration) sont particulièrement présents sur les versants des massifs de péridotites au Nord de la commune. Ils s'observent également dans une moindre mesure (niveau d'aléa modéré et faible) dans un couloir orienté ONO-ESE au nord-est de la commune;
- Les aléas laves torrentielles de niveau modéré et élevé (respectivement 10 et 3%, Illustration) sont particulièrement présents sur les versants des massifs de péridotites. Des zones d'aléas sont également présentes de façon plus ponctuelle au nord-est de la commune.

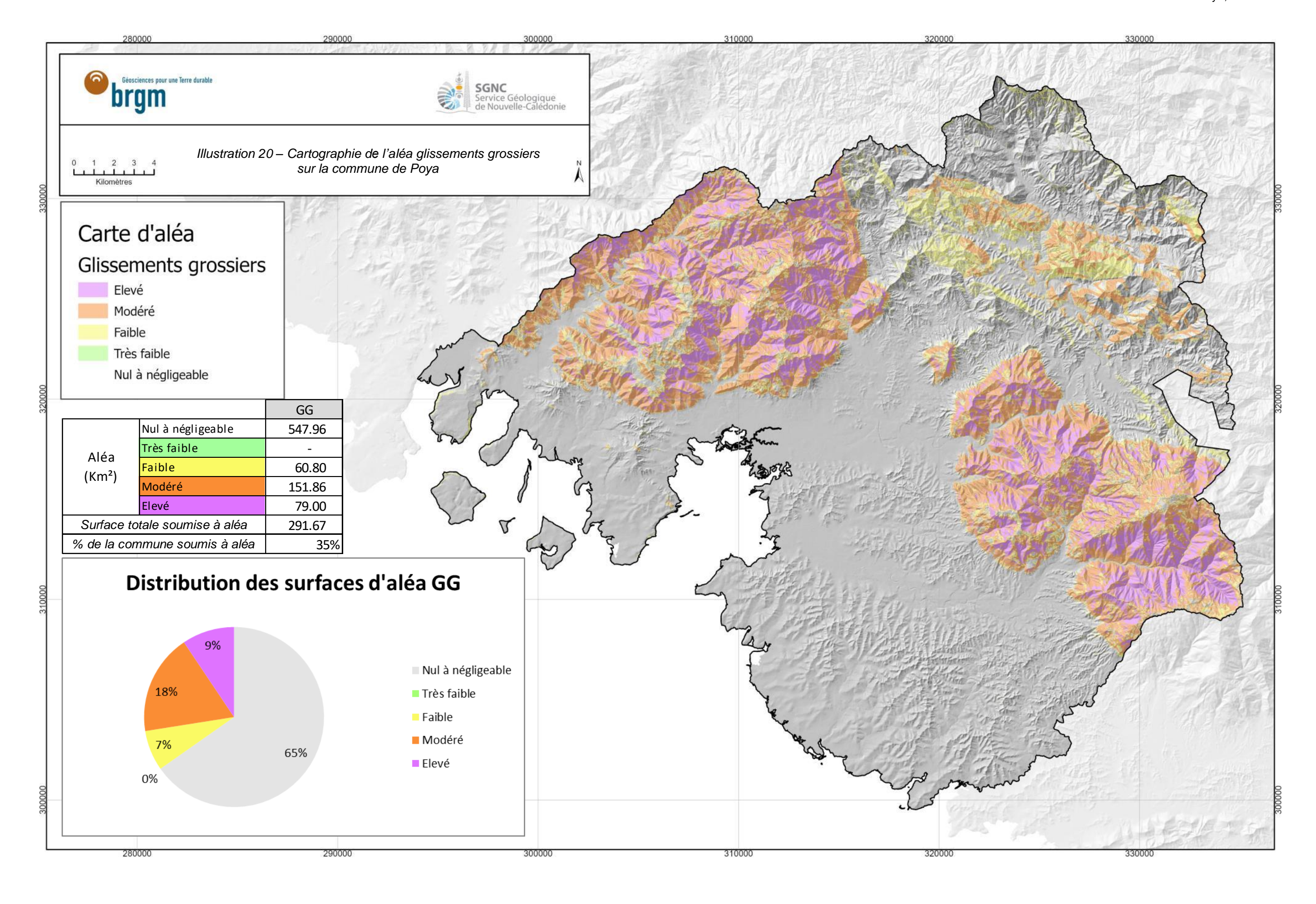
|                               |                   | GG     | GF     | LT     | СВ     | ALEA MVT |
|-------------------------------|-------------------|--------|--------|--------|--------|----------|
| Aléa<br>(Km²)                 | Nul à négligeable | 547.96 | 612.75 | 429.80 | 676.54 | 363.67   |
|                               | Très faible       | -      | 48.24  | 139.38 | 15.56  | 47.32    |
|                               | Faible            | 60.80  | 126.76 | 154.44 | 32.44  | 133.36   |
|                               | Modéré            | 151.86 | 51.89  | 87.76  | 112.17 | 203.90   |
|                               | Elevé             | 79.00  | 1      | 27.99  | 1      | 91.39    |
| Surface totale soumise à aléa |                   | 291.67 | 226.89 | 409.58 | 160.17 | 475.97   |
| % de la commune soumis à aléa |                   | 35%    | 27%    | 49%    | 19%    | 57%      |

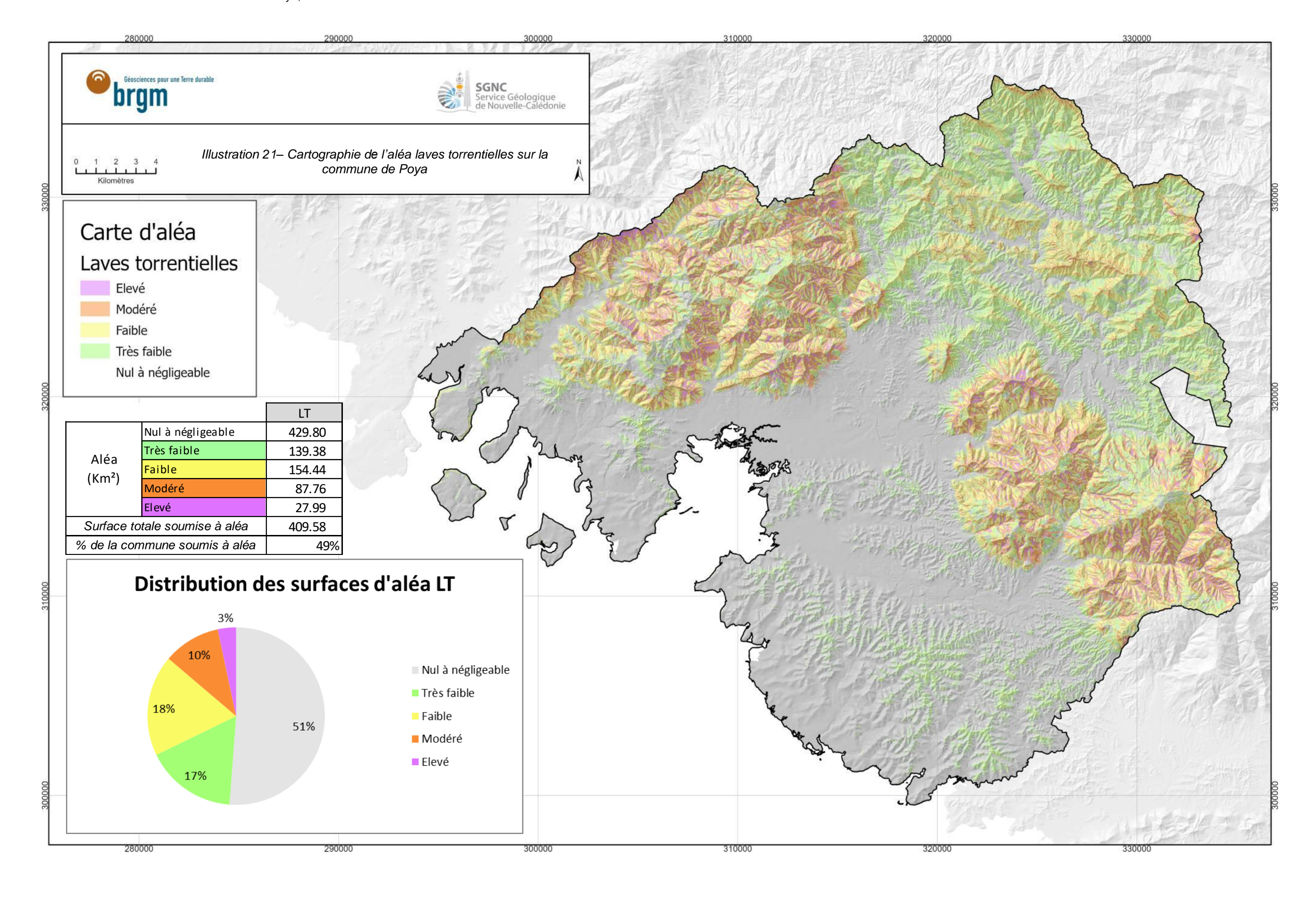
|                  |                   | GG  | GF  | LT  | СВ  | ALEA MVT |
|------------------|-------------------|-----|-----|-----|-----|----------|
| Aléa (% commune) | Nul à négligeable | 65% | 73% | 51% | 81% | 43%      |
|                  | Très faible       | 0%  | 6%  | 17% | 2%  | 6%       |
|                  | Faible            | 7%  | 15% | 18% | 4%  | 16%      |
|                  | Modéré            | 18% | 6%  | 10% | 13% | 24%      |
|                  | Elevé             | 9%  | 0%  | 3%  | 0%  | 11%      |

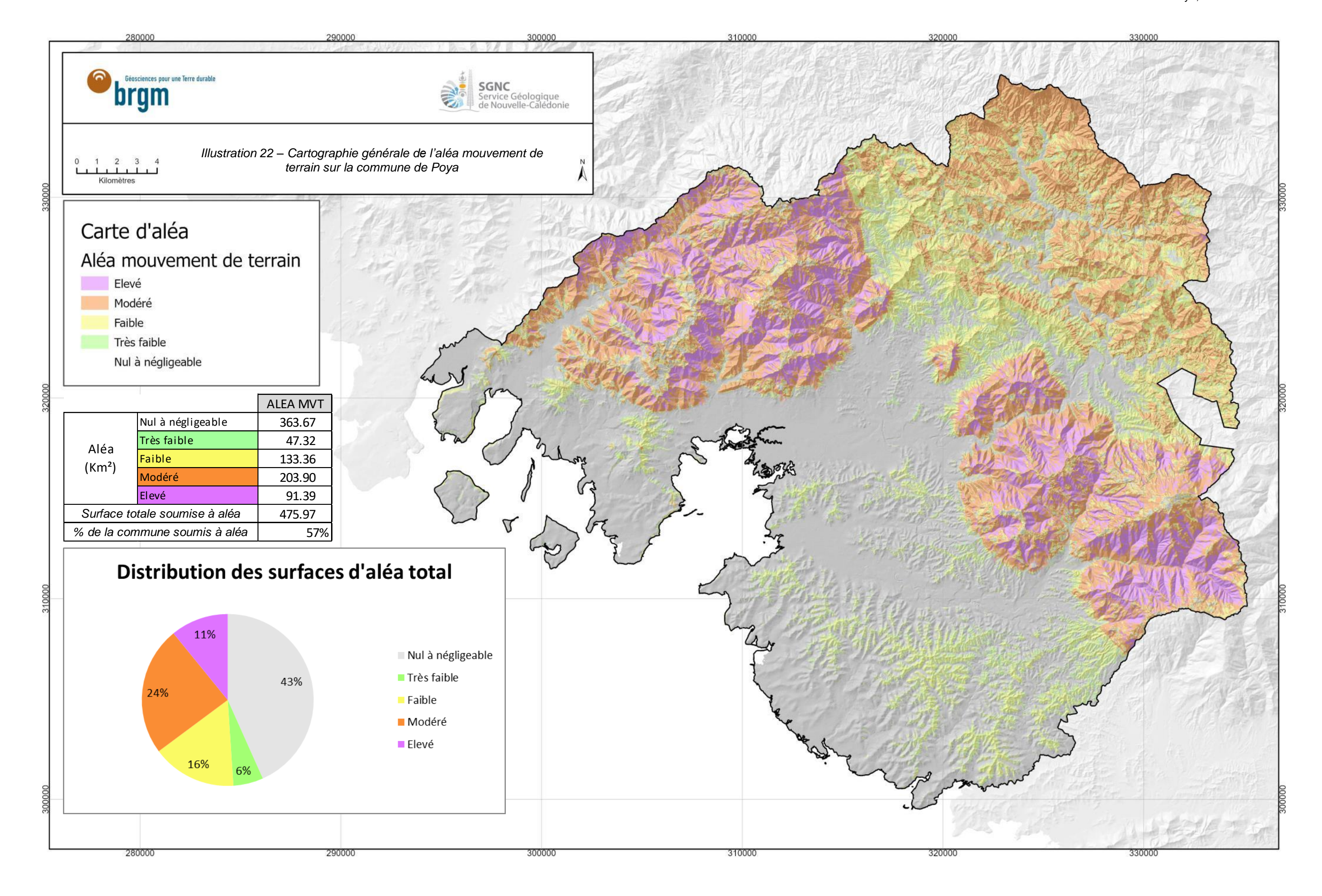
Illustration 17 – Exposition du territoire communal (km² et %) aux différents types de phénomène et niveau d'aléa











#### 5.2 Validation des résultats

Afin de juger de la validité des résultats, une rétro-analyse est effectuée sur les phénomènes recensés en distinguant :

- Les enveloppes de rupture des phénomènes ;
- Les enveloppes globales de phénomène (rupture + propagation).

#### 5.2.1 Rétro-analyse : aléa de rupture

L'analyse est menée en calculant (Illustration ) :

- Un <u>taux de reconnaissance</u>, proportion des surfaces de phénomènes se trouvant au sein de classes de susceptibilité à la rupture « moyenne » à « très forte » ;
- Un <u>taux de non reconnaissance</u>, proportion des surfaces de phénomènes se trouvant au sein de classes de susceptibilité à la rupture « nulle à négligeable » et « négligeable ».

| Туре                           | Glissements<br>Grossiers | Glissements Fins | Laves<br>Torrentielles |
|--------------------------------|--------------------------|------------------|------------------------|
| Taux de reconnaissance         | 94,9%                    | 78,9%            | 87,1%                  |
| Taux de « non reconnaissance » | 3,4%                     | 5,5%             | 0,9%                   |

Illustration 23 – Taux de reconnaissance selon le type de phénomène (rupture)

Les taux de reconnaissance calculés sont très élevés (> 75%) pour l'ensemble des phénomènes sur la commune. Les évènements recensés mais « non reconnus » sont globalement inférieurs à 5,5%. Ils peuvent s'expliquer par la qualité localement médiocre du modèle numérique de terrain exploité.

#### 5.2.2 Rétro-analyse : enveloppes globales

La distribution des emprises des mouvements de terrains recensés dans chaque zone d'aléa final (agrégeant les aléas par phénomène) est évaluée est représentée ci-après (Illustration ).

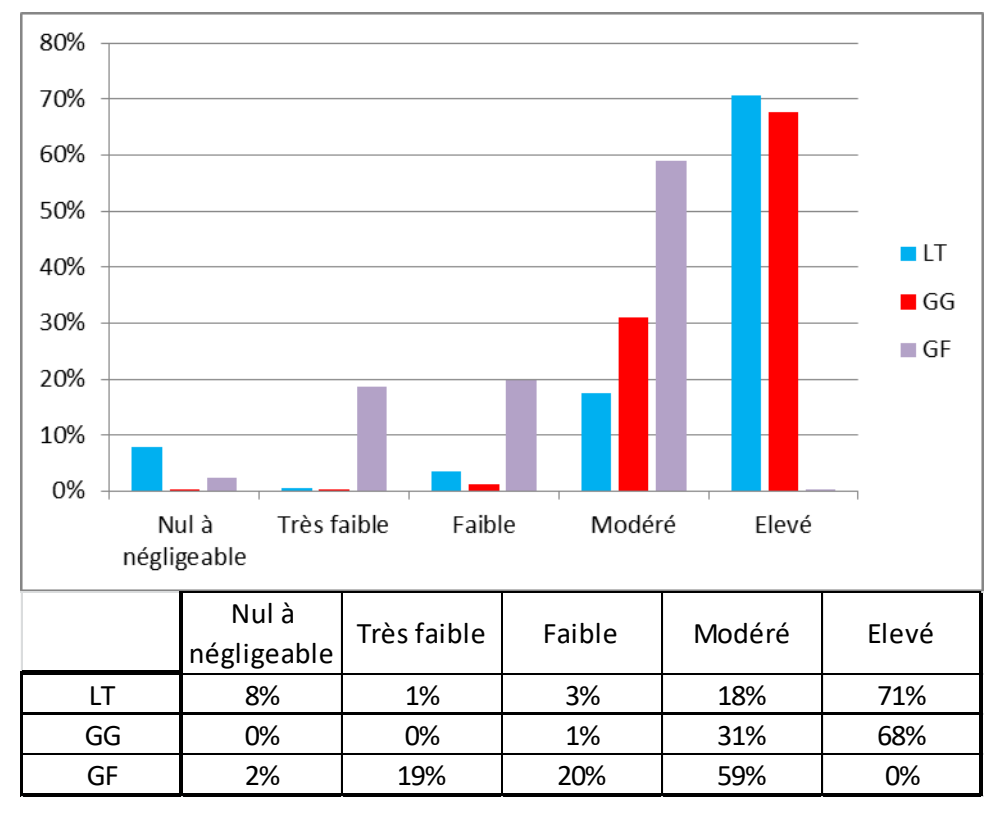


Illustration 24 – Taux de reconnaissance des évènements (rupture et propagation) selon la classe d'aléa finale pour chaque de phénomène

Cette analyse montre un pourcentage de phénomènes reconnus croissant avec le niveau d'aléa. Ainsi, les taux de reconnaissance sont jugés très satisfaisant avec :

- 89% des phénomènes LT reconnus qui se retrouvent en zone d'aléa modéré à élevé ;
- Et de même 99% des GG sont reconnus en zone d'aléa modéré à élevé ; aucune emprise de GG n'est en aléa nul à négligeable ;
- 59% des phénomènes GF sont reconnus en aléa modéré et 39 % en aléa faible à très faible.

Néanmoins, 8% des emprises de LT sont cartées en zone d'aléa de niveau « Nul à négligeable ». Ces secteurs ont été visés lors de l'analyse critique du modèle de propagation. Avec la donnée topographique disponible au pas de 10 m, les modèles ne permettent pas d'atteindre complètement ces emprises, même en ajustant excessivement certains paramètres. Outre la qualité médiocre du modèle numérique de terrain, une autre raison peut expliquer ce constat. Les évènements sont anciens (avant 1976, Illustration). La topographie a probablement évolué à cause du phénomène lui-même. Le chenal récepteur de l'écoulement s'est comblé est le dépôt crée désormais un bourrelet.

Ces zones doivent toutefois être considérées comme potentiellement sensibles en cas d'aménagement et à ce titre l'inventaire historique doit toujours bien être rappelé et considéré (Annexe 6 – Atlas cartographiques : phénomènes de mouvement de terrain).

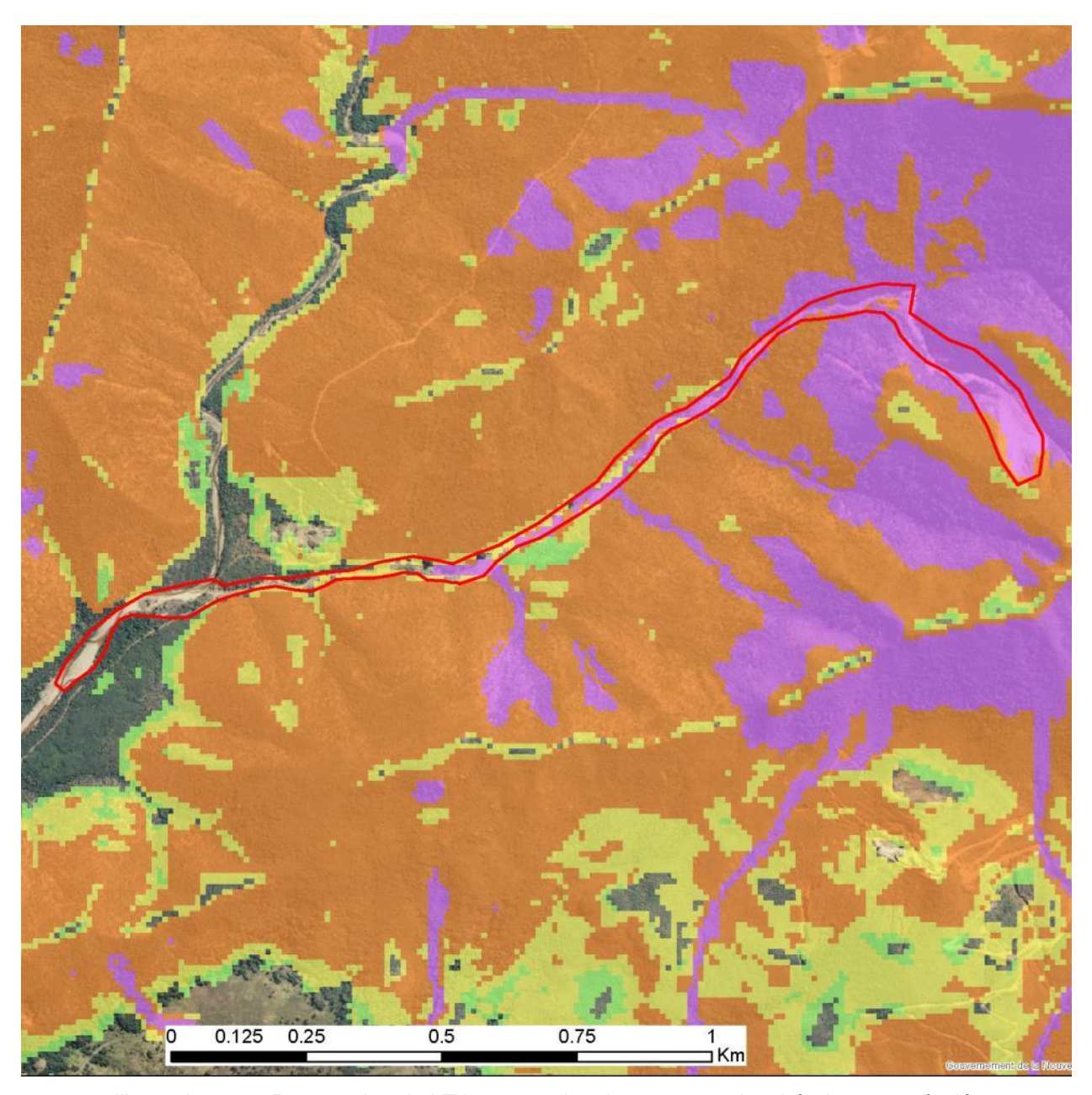


Illustration 25 – Propagation de LT hors emprise de zone soumise théoriquement à aléa

#### 5.3 Enjeux et risques

Au-delà, de la caractérisation de l'aléa mouvement de terrain, il convient d'apprécier dans quelle mesure les enjeux communaux sont exposés aux aléas naturel. Afin d'initier une réflexion sur le sujet, il est proposé de dénombrer les bâtiments exposés à l'aléa mouvements de terrain à partir de la base de données topographique de la DITTT. Les bâtiments sont pris dans leur ensemble sans distinction de leur usage (bâtiments publics, privés, habitations, techniques, industriels etc.) ni de leur taille. Il s'agit ici de fournir un ordre de grandeur de la proportion d'enjeux concernés.

Au final, aucun bâtiment n'est exposé à un aléa élevé alors que 11% de la surface de la commune est exposé à ce niveau d'aléa. Seul 1% des bâtiments (soit 51 édifices) sont concernés par un aléa modéré pour 24% de surface communale concernée.

Autrement dit, l'implantation actuelle des constructions a préférentiellement évité les versants les plus exposés aux instabilités.

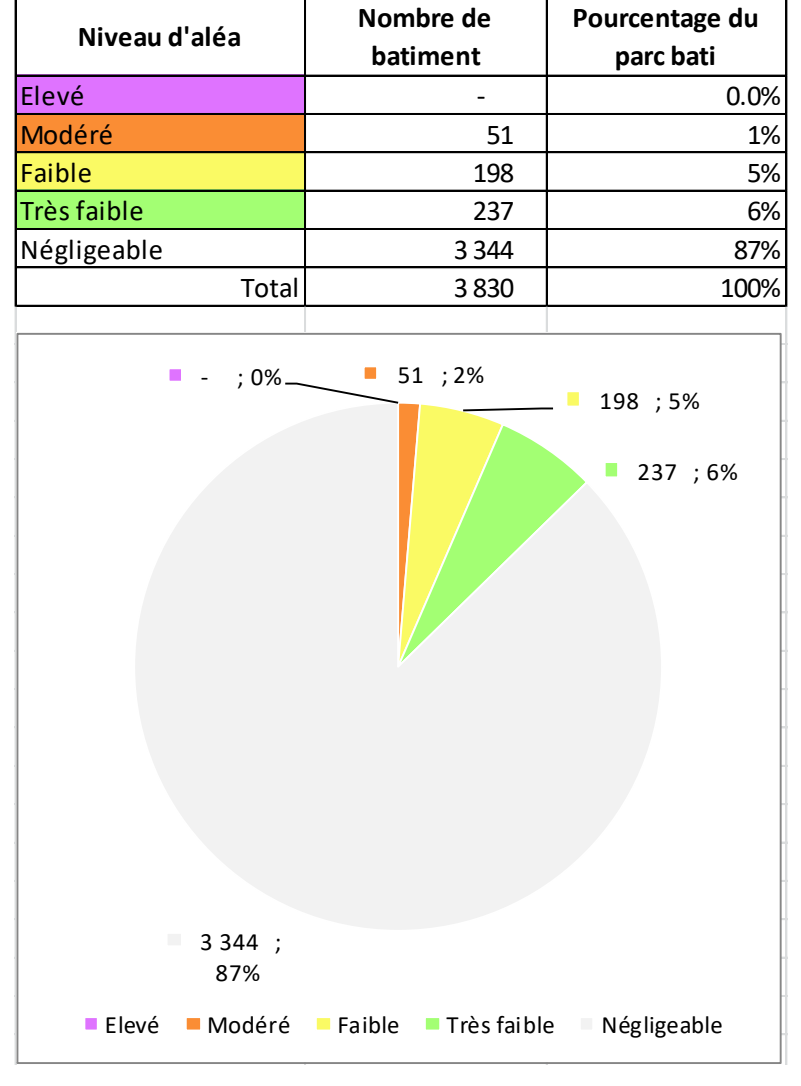


Illustration 26 – Exposition des constructions à l'aléa mouvements de terrain sur la commune de Poya

# 6 Conclusion et perspectives

La cartographie de l'aléa mouvement de terrain à l'échelle du 1:25 000ème menée sur la commune de Poya s'inscrit dans le cadre d'un programme pluriannuel portant sur quinze communes de Nouvelle-Calédonie. Cette démarche contribue également à la politique publique de gestion des risques du gouvernement de Nouvelle-Calédonie.

La méthode déployée est décrite de manière approfondie dans un rapport méthodologique distinct. La cartographie proposée par type de phénomène permet une approche homogène sur l'ensemble du territoire communal en distinguant rupture et propagation et en développant une approche pseudo-quantifiée.

Outre une méthode conforme aux meilleures pratiques, ce travail a bénéficié :

- d'un effort important de cartographie des formations superficielles (régolithe) et
- d'un inventaire particulièrement conséquent des phénomènes d'instabilité recensés et décrits suivant leur type :
  - o GG: Glissement dans matériaux grossiers (787 évènements, 58% des cas)
  - o GF: Glissement dans matériaux fins (327 évènements, 24%)
  - o LT: Lave-torrentielle (91 évènements, 7%)
  - o CB: Chute de blocs (6 évènements, <1%).

Plus de la moitié (60%) des phénomènes sont datés entre 1976 et 2008 et 35% d'avant 1976. Les phénomènes depuis 2008 représentent 3% du total.

Ces données permettent d'élaborer des cartes d'aléa pour chacun des phénomènes identifiés. Ces cartes définissent à l'échelle de la commune la possibilité de survenance du phénomène dans le futur.

Au final une carte d'aléa « Mouvement de terrain » est produite en agrégeant les cartes d'aléa par phénomène. La synthèse des résultats à l'échelle communale montre que la commune est concernée par l'aléa mouvement de terrain sur 57% de son territoire, les niveaux d'aléa élevé et modéré couvrant respectivement 11% et 24% de la commune.

Toutefois, aucun des bâtiments recensés dans la BDtopo n'apparait exposé à un aléa mouvement de terrain élevé, tous phénomènes confondus. 51 constructions sont affectées par un aléa modéré (1% du total). Autrement dit, l'implantation actuelle des constructions a préférentiellement évité les versants les plus exposés aux instabilités.

Ce programme de cartographie de l'aléa « mouvements de terrain » est la première étape d'une politique publique de gestion des risques : 1) Connaissance de l'aléa, du risque du territoire. Il permet en outre d'alimenter les autres piliers de la prévention (Illustration), notamment :

- L'information préventive et l'éducation des citoyens (3), grâce au Dossier sur les Risques Majeurs (DRM), au Document d'Information Communal sur les RIsques Majeurs (DICRIM) ou à la diffusion des résultats;
- La prise en connaissance des risques dans l'aménagement (4) au travers par exemple d'un porté à connaissances ou de schéma d'aménagements (dont PUD);
- La réduction de la vulnérabilité (5);
- La préparation de l'organisation des secours (6) avec le Schéma Directeur d'analyse et de couverture des risques (SDACR) et les Plans Communaux de Sauvegarde (PCS).
- Enfin, la prise en compte du retour d'expérience (7) alimentera nos bases de données et affinera notre démarche.



Illustration 27 – Les 7 piliers de la prévention des risques naturels, au service de la Politique Publique de Gestion des Risques (PPGR) en Nouvelle-Calédonie

# 7 Bibliographie

#### 7.1 Guides

Ministère de l'Aménagement, du Territoire et de l'Environnement, Ministère de l'Equipement, des Transports et du Logement (1997) – Plans de prévention des risques naturels prévisibles (PPR) – Guide général. *Edit. La Documentation Française, Paris*.

Ministère de l'Aménagement, du Territoire et de l'Environnement, Ministère de l'Equipement, des Transports et du Logement (1999) – Plans de prévention des risques naturels (PPR) – Risques de mouvements de terrain – Guide méthodologique. *Edit. La Documentation Française, Paris*.

Projet national C2ROP. Glossaire du risque rocheux. Cerema, (2020). Collection : Références. ISBN : 978-2-37180-452-4

# 7.2 Rapports

Maurizot P., Rouet I., Robineau P., Allenbach M. Parisot J-C. (2007). Mécanismes fondamentaux des mouvements de terrain dans les massifs ultra-basiques en Nouvelle Calédonie. BRGM/RP-55041-FR.

Maurizot P., Lafoy Y. (2003). L'aléa naturel mouvements de terrain en Nouvelle-Calédonie – Synthèse des connaissances (2003). BRGM/RP-52213-FR

#### 7.3 Documents académiques

Cruden et Fell, 1997; Fell et al., 2005Horton P, Jaboyedoff M, Rudaz B and Zimmermann M: Flow-R (2013). A model for susceptibility mapping of debris flows and other gravitational hazards at a regional scale. Natural Hazards Earth System Sciences, 13, 869-885, doi:10.5194/nhess-13-869-2013

Fell R, Ho KKS, Lacasse S, Leroi E, 2005. A framework for landslide risk assessment and management. In: Hungr, O., Fell R, Couture R, Eberhardt E (Eds.), Landslide Risk Management. Taylor and Francis, London: 3–26.

Iwahashi, J. and R. J. Pike (2007). "Automated classifications of topography from DEMs by an unsupervised nested-means algorithm and a three-part geometric signature." Geomorphology 86(3-4): 409-440.

Jones, K. Bruce et al 2000. Assessing Landscape Conditions Relative to Water Resources in the Western United States: A Strategic Approach. Environmental Monitoring and Assessment 64: 227 – 245.

Varnes D.J. (1984) – Landslide hazards and zonation: a review of principles and practice.

Carte des aléas mouvements de terrain – Commune de Poya, Nouvelle-Calédonie

# 8 ANNEXES

#### 8.1 Annexe 1 – Lexique des termes utilisés

#### **GEOLOGIE**

#### **SUBSRATUM ROCHEUX**

#### **ROCHES MAGMATIQUES**

PERIDOTITE: La péridotite est une roche magmatique qui constitue la majeure partie du manteau supérieur. De nature ultrabasique (pauvre en silice) et grenue, elle se compose essentiellement d'olivines, de pyroxène et de serpentine. Il existe plusieurs types de péridotites en fonction de leur teneur en olivine et en pyroxènes: dunite, wehrlite, harzburgite et lherzolite. En Nouvelle-Calédonie, par l'action de l'altération météoritique, un profil d'altération parfois très épais s'est développé sur cette formation (terres rouges).

BASALTE: Le basalte est une roche magmatique volcanique issue d'un magma refroidi rapidement et caractérisée par sa composition minéralogique: plagioclases (50 %), pyroxènes (25 à 40 %), olivine (10 à 25 %), et de 2 à 3 % de magnétite. Il a une origine volcanique et est un des constituants principaux de la croûte océanique.

#### **ROCHES METAMORPHIQUES**

SERPENTINITE: La serpentinite est une roche métamorphique. Elle tire son nom de son aspect semblable à celui d'écailles et provoque une sensation au toucher qui a pu faire penser à la peau d'un serpent. Elle ne doit pas être confondue avec la serpentine, qui est un nom général pour plusieurs espèces minérales. Cette roche apparaît en filons, en petites lentilles ou en masses importantes (semelle des péridotites).

#### **ROCHES SEDIMENTAIRES**

GRES: Le grès est une roche sédimentaire détritique, issue de l'agrégation de grains de taille majoritairement sableuse et consolidé lors de la diagénèse. Issues de l'érosion des roches qui déterminent en grande partie sa composition, les grains sont principalement du quartz cimenté par de la silice, de la calcite, de l'oxyde de fer ou de l'argile. Selon le degré de cimentation, de sa composition et de son altération, il peut s'agir d'une roche très friable ou au contraire très dure. Il se rencontre dans une grande variété de milieux de dépôt depuis le domaine continental (rivière, plage) au domaine marin (turbidites). Non consolidé, son équivalent est le sable.

SILTITE: Une siltite est une roche sédimentaire détritique consolidée, de granulométrie intermédiaire entre un grès (plus grossier) et une argilite. Elle est composée au 2/3 de limon (grains dont la taille se situe entre les argiles et les sables). Elle se différencie du grès en raison des pores plus petits et d'une plus grande proportion de fraction d'argile. D'un point de vue minéralogique, elle se compose de quartz, feldspaths de minéraux argileux (micas) et avec des carbonates ou oxydes de fer.

ARGILITE: Une argilite est une forme de roche sédimentaire détritique, argileuse indurée, à grain fin (<2microns) très peu perméable. Elles résultent de la consolidation de micro feuillets d'argile parallèles et/ou de boue argileuse fine. Elles sont composées de micas, quartz et d'argile, mais le grain de cette roche est si fin qu'elle semble homogène. C'est une roche tendre et légèrement « grasse » au toucher.

CHERT: Un chert, ou phtanite (terme anciennement utilisé en NC) ou une chaille (terme français moins utilisé), est une roche sédimentaire siliceuse.

CALCAIRE: Le calcaire est une roche sédimentaire qui se forme essentiellement en milieu marin, par accumulation des débris de coquilles et coraux. A la mort de ces animaux, les coquilles s'accumulent sur le fond marin formant des boues carbonatées. Elles se transforment en roche calcaire grâce à la pression et au temps. Néanmoins, les coquilles calcaires peuvent se dissoudre, et ce, d'autant plus facilement quand la température de l'eau est froide et la pression élevée. Ces conditions, expliquent que le calcaire se forme essentiellement dans des eaux chaudes et peu profondes, comme les lagons ou les lagunes.

FLYSCH: Formation sédimentaire détritique, souvent épaisse, constituée par des alternances répétées de grès plus ou moins grossier et d'argile plus ou moins schisteuse, provenant de l'érosion de chaînes de montagne en cours de surrection.

#### **FORMATIONS DU REGOLITHE**

Le régolithe (également écrit régolite) (du grec ancien :  $\dot{p}\tilde{\eta}\gamma o \zeta/rh\hat{e}gos$ , signifiant couverture et  $\lambda i\theta o \zeta/lithos$ , signifiant roche) est en pédologie la partie du sol recouvrant la roche-mère, qui peut contenir du matériel meuble, comme de la poussière ou de la terre, et des roches saines. Le régolithe peut être autochtone s'il provient de l'altération des roches en présence (altérite) ou allochtone lorsqu'il est amené par un processus quelconque (comme les alluvions ou le démantèlement de versant).

Les formations allochtones sont les sédiments fluviatiles, lacustres, côtiers, glaciaires, ou éoliens, les éboulis, les colluvions et les formations de pente.

Les formations autochtones sont les profils d'altération formés in situ sur tous types de roches. Les « altérites » formées dans ces profils sont des roches dont la genèse ou les propriétés actuelles résultent de processus d'altération supergène, quel qu'en soit l'âge. À ce titre, on peut dire que le régolithe est formé par interaction de la géosphère avec l'atmosphère, l'hydrosphère et la biosphère.

#### FORMATIONS AUTOCHTONES (FAU)

ALTERITE: Une altérite est une formation géologique (généralement meuble) superficielle, formée in situ, résultant de l'altération physico-chimique de roches antérieures sans transformations pédologiques notables. Les processus d'altération conduisent à la formation de sables, de limons et d'argiles d'altération.

CUIRASSE: La cuirasse, en pédologie, est une croûte superficielle, pouvant avoir plusieurs mètres d'épaisseur, elle est fortement durcie à la suite de la précipitation d'hydroxydes de fer et d'alumine. Elle se forme principalement dans les régions de climat intertropical présentant une alternance de saisons, mais surtout à saisons sèches nettement marquées. La cuirasse joue donc, vis à vis de l'érosion, un rôle protecteur.

LATERITE: La latérite (du latin later, brique) est une roche rouge ou brune, qui se forme par altération des roches sous les climats tropicaux. Au sens large, elle désigne l'ensemble des matériaux, meubles ou indurés, riches en hydroxydes de fer ou en hydroxyde d'aluminium, qui constituent les sols, les horizons superficiels et les horizons profonds de profil d'altération. On trouve des latérites surtout en milieu intertropical.

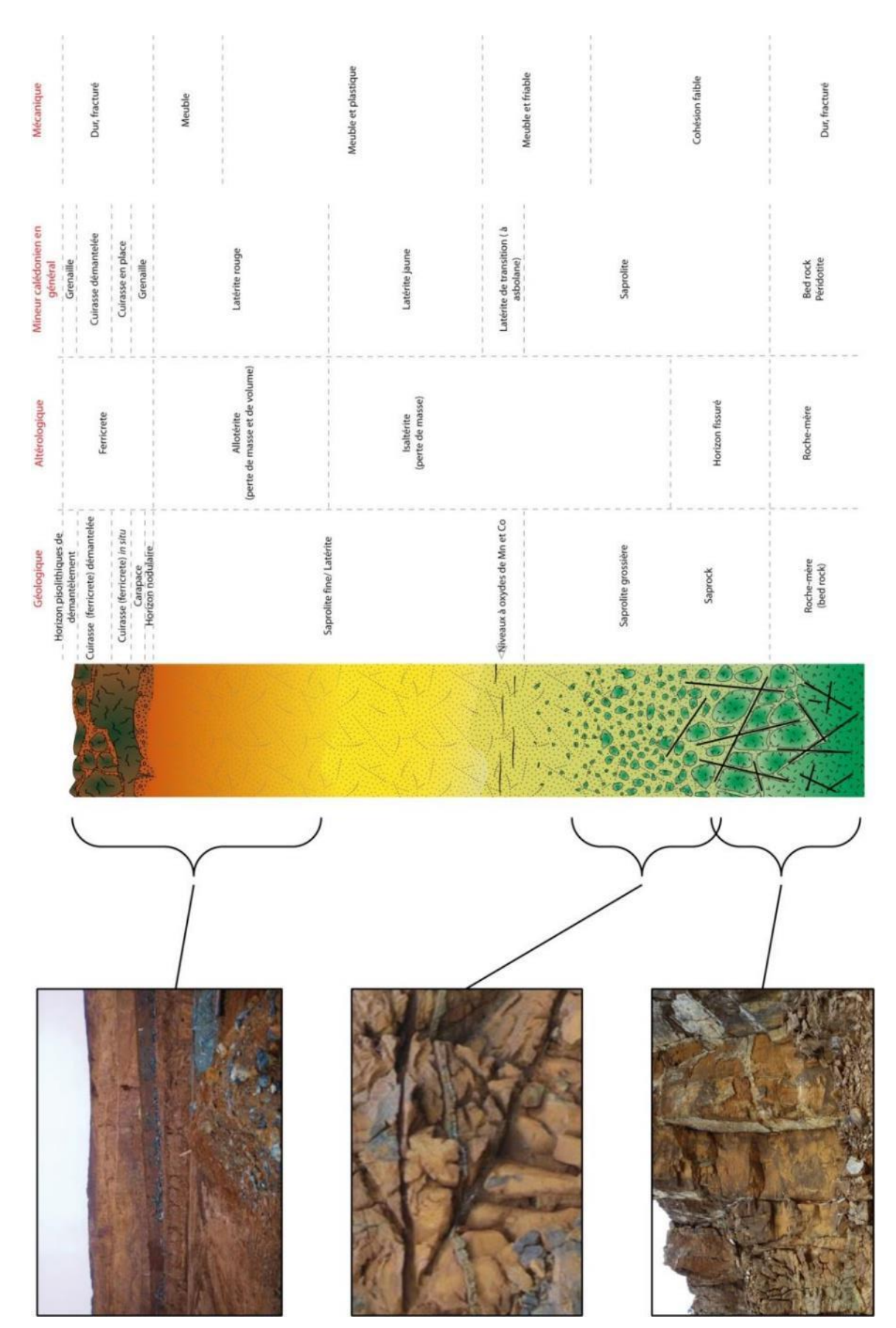
SAPROLITE: Une saprolite (du grec ancien sapros, décomposé) est une roche généralement meuble à dominante argileuse. Formant une couche géologique, surmontant dans des coupes de sol profondes la roche-mère, cette altérite résulte de l'altération chimique d'une roche-mère, due à l'action du climat, de l'eau ou l'action hydro-thermale, sans avoir été transportée. Elle est friable et présente les structures de la roche d'origine et de nouvelles structures.

#### FORMATIONS ALLOCHTONES (FAL)

ALLUVIONS: Une alluvion consiste en un dépôt sédimentaire émergé, constitué par des matériaux solides non consolidés, transportés et déposés par les eaux courantes. Les alluvions qualifient les regroupements de cailloux, graviers, galets, sables ou limons. Les dépôts alluviaux se réalisent lorsque le débit devient insuffisant pour transporter la matière. Les alluvions peuvent se déposer dans le lit du cours d'eau ou dans les estuaires marins et s'accumuler au point de rupture de pente.

COLLUVIONS: Une colluvion ou un dépôt de pente est un dépôt meuble sur un versant, mis en place par gravité. Le terme s'emploie presque toujours au pluriel. Les colluvions reflètent la lithologie du haut du versant. Elles nappent, sur le bas du versant, la roche en place. Les éléments ont subi un faible transport, à la différence des alluvions.

EBOULIS: Un éboulis, parfois appelé pierrier, résulte de la chute de fragments rocheux déplacés pierre par pierre par gravité et dont l'accumulation se fait à la base de pentes rocheuses montagneuses, typiquement des falaises, dont ils se sont détachés. Liés à différents facteurs comme l'érosion ou les conditions météorologiques, ces dépôts tapissent ainsi souvent le pied des versants ou des abrupts rocheux. Une éboulisation (chute de pierres) est la formation d'un éboulis. Les géomorphologues distinguent les processus selon le volume détaché : l'éboulisation est un détachement de quelques blocs (volume < 1 m³), l'éboulement comprend un volume entre 1 et 100 m³ et l'écroulement implique des volumes supérieurs à 100 m³.



Profil d'altération en contexte de massif ultrabasique

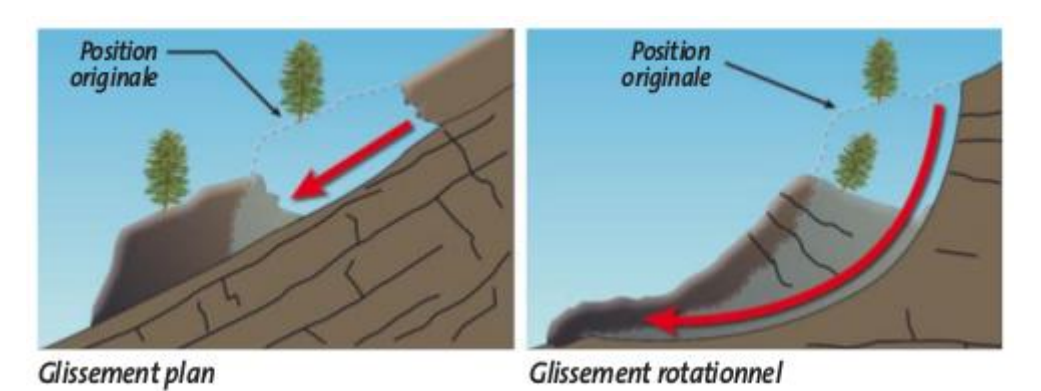
#### **MOUVEMENTS DE TERRAIN**

#### **GLISSEMENTS DE TERRAIN**

Un glissement de terrain correspond à un déplacement généralement lent (de quelques millimètres par an à quelques mètres par jour) sur une pente, le long d'une surface de rupture dite surface de cisaillement, d'une masse de terrain cohérente, de volume et d'épaisseur variables : quelques mètres cubes dans le cas du simple glissement de talus ponctuel à quelques millions de mètres cubes dans le cas d'un mouvement de grande ampleur pouvant concerner l'ensemble d'un versant.

Trois types de glissement sont distingués en fonction de la géométrie de la surface de rupture :

- glissement plan ou translationnel, le long d'une surface plane ;
- glissement circulaire ou rotationnel, le long d'une surface convexe ;
- glissement quelconque ou composite lorsque la surface de rupture est un mélange des deux types.



Dans le cadre de cette étude, la distinction est faite entre glissements fins et glissements grossiers sans distinction du mécanisme plan ou rotationnel :

#### GLISSEMENTS GROSSIERS

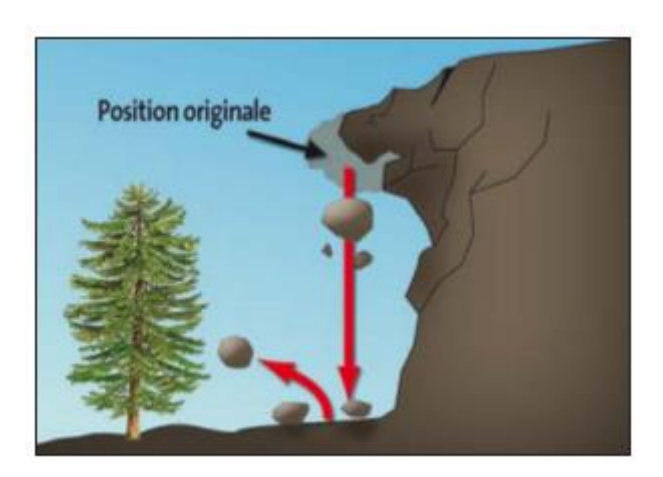
Ces phénomènes affectent des matériaux qualifiés de « grossiers », c'est-à-dire composés de matériaux graveleux dominants, à faible cohésion. On parle aussi de « glissement de débris ». Sont clairement distinguées une zone de rupture et une zone de propagation qui consiste fréquemment en un étalement de la masse glissée. Les formations affectées sont principalement celle des massifs de péridotites.

#### **GLISSEMENTS FINS**

Les phénomènes qualifiés de « glissement fin » affectent les matériaux à granulométrie plus fine que les glissements grossiers décrits précédemment. Il s'agit de glissements translationnels ou rotationnels pouvant ou non évoluer en coulées.

#### **CHUTES DE BLOCS**

Ce sont des mouvements rapides, discontinus et brutaux résultant de l'action de la pesanteur et affectant des matériaux rigides et fracturés tels que calcaires, grès, roches cristallines, etc. Ces chutes sont caractérisées par une zone de départ, une zone de propagation et une zone d'épandage. Les blocs décrochés suivent généralement la ligne de plus grande pente. Les distances parcourues sont fonction de la position de la zone de départ dans le versant, de la pente du versant, de la taille, de la forme et du volume des blocs éboulés, de la nature de la couverture superficielle, de la végétation...

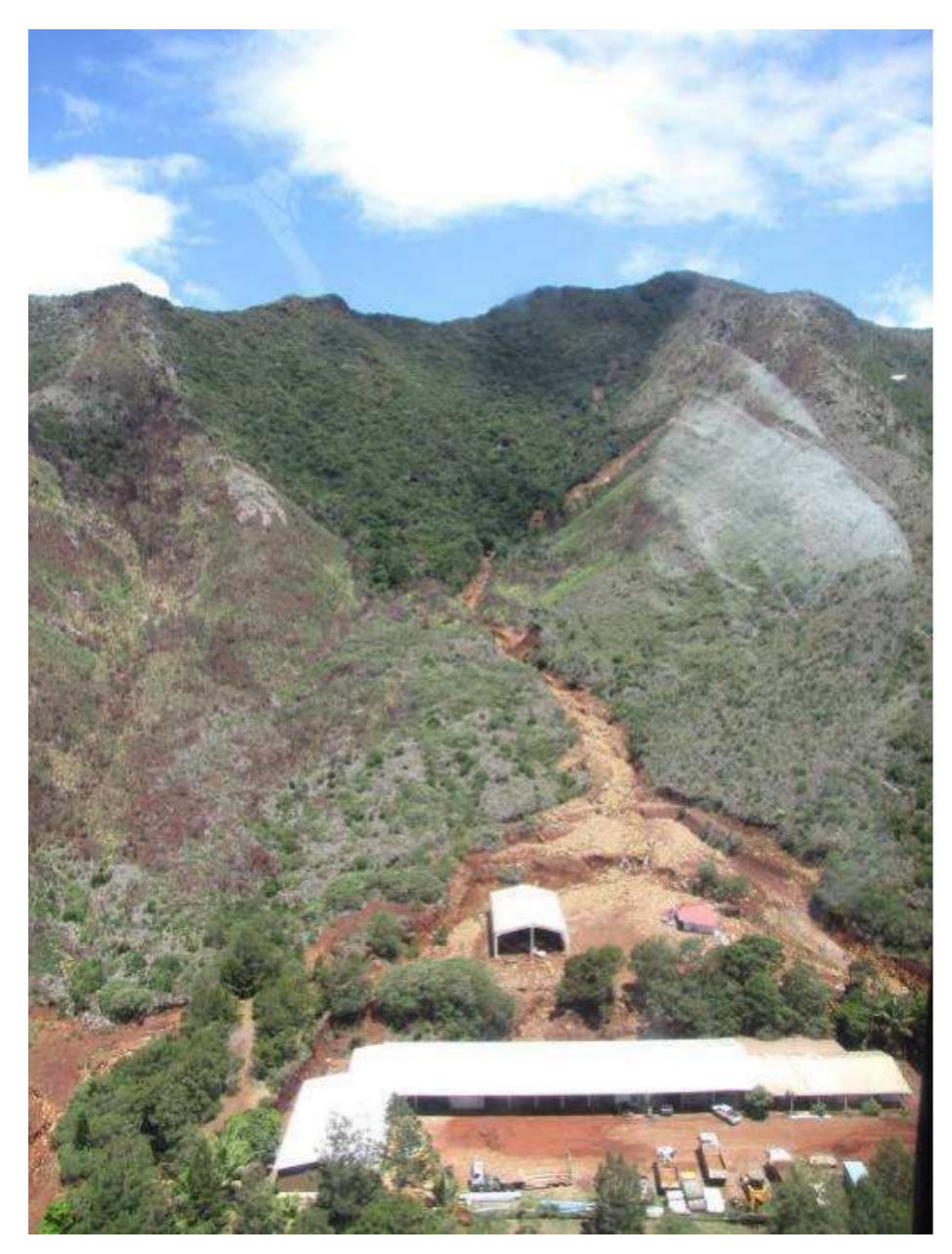


# **LAVES TORRENTIELLES**

Une lave torrentielle est un phénomène géologique en situation de relief, notamment de montagne. Son déclenchement est lié à des précipitations météorologiques violentes, soudaines et concentrées. La déstabilisation à une altitude élevée d'éléments solides dans une pente déclenche par les dévalements une importante accumulation d'énergie cinétique qui initie des vagues destructives impossibles à arrêter, érodant berges et zones de passage très rapidement et brutalement. Ces mélanges d'eau, de sédiments fins, d'éléments rocheux, de blocs parfois énormes, d'arbres, de graviers se déplacent à très grande vitesse.

On observe un consensus pour différencier une coulée de boue d'une lave torrentielle : la première se déclenche en pleine pente sans forcément l'existence préalable d'un chenal (ravine, talweg, torrent, ou autre élément du système hydrographique), alors que la seconde y est liée entièrement.

Ce type de phénomène est particulièrement dévastateur.



Lave torrentielle Houaïlou décembre 2011, (photo SGNC)

#### 8.2 Annexe 2 – Indicateurs morphométriques des évènements

Pour chaque mouvement, différents indicateurs géométriques et morphologiques ont été calculés (surface, pente...), les distributions des pentes et des surfaces des enveloppes de propagation, par type de phénomène considéré. Du point de vue des géométries, on note :

- Le nombre d'évènements répertoriés selon les surfaces croissantes montre une diminution globale pour les GG et les GF, dans une moindre mesure pour les LT. Cette décroissance du nombre d'évènements selon la surface (qui représente l'ampleur du phénomène) est cohérente avec les observations menées lors d'inventaires larges : les évènements de plus grande surface (i.e. de volume ou d'ampleur plus grande) sont moins fréquents que les évènements de faible surface. Cette distribution conforte la qualité de l'inventaire qui ne « néglige » pas les évènements de faible ampleur (à la résolution du projet, échelle 1 :25 000ème);
- Parmi toutes les typologies, les surfaces des glissements grossiers sont les plus petites (~ 960 m² en moyenne). Celles des glissements fins sont légèrement plus grandes en moyenne (~ 1 150 m²). Enfin, les laves torrentielles, du fait de leur propagation importante, ont les surfaces les plus élevées (~14 2610 m² en moyenne);
- Les valeurs médianes d'angle de ligne d'énergie sont de 26,6° LT, de 25,6° pour les GF et enfin elle est un plus élevée pour les GG (33,8°).
- 95% des glissements fins ont un angle de ligne d'énergie supérieur à 10°. Cette valeur est supérieure à 16,8° et 20,7° pour 95% des LT et GG respectivement.

# Enveloppes de zone d'initiation

|                |            | GG   | GF   | COUL | LT   | СВ |
|----------------|------------|------|------|------|------|----|
|                | Nb         | 786  | 327  | -    | 93   | -  |
|                | Min.       | 27   | 25   | -    | 31   | -  |
| Curfo and (m2) | Max.       | 3543 | 2463 | -    | 3344 | -  |
| Surfaces (m²)  | Moyenne    | 231  | 242  | -    | 782  | -  |
|                | Ecart type | 240  | 290  | -    | 668  | -  |

# Enveloppes totales

|                 |            | GG     | GF     | COUL | LT      | СВ    |
|-----------------|------------|--------|--------|------|---------|-------|
|                 | Nb         | 466    | 124    |      | 91      | 0     |
|                 | Min.       | 175    | 175    |      | 1683    | 1249  |
| Surfaces (m²)   | Max.       | 17072  | 12207  |      | 82992   | 36973 |
| Surfaces (III ) | Moyenne    | 956    | 1154   |      | 12730   | 10564 |
|                 | Ecart type | 1125   | 1409   |      | 14256   | 14006 |
|                 | 5%         | 278.4  | 247.3  |      | 2002.2  | -     |
|                 | 10%        | 325.5  | 292.6  |      | 2608.6  | -     |
| Quantiles       | 25%        | 431.0  | 407.7  |      | 4609.9  | -     |
|                 | 50%        | 642.7  | 718.4  |      | 7823.9  | -     |
|                 | 75%        | 1096.8 | 1322.8 |      | 14781.2 | -     |

# Valeurs d'angle de ligne d'énergie pour la propagation

|                           |            | GG   | GF   | COUL | LT   | СВ   |
|---------------------------|------------|------|------|------|------|------|
|                           | Nb         | 466  | 124  |      | 91   | 6    |
|                           | Min.       | 9.6  | 5.3  |      | 11.9 | 26.3 |
| Angle ligne d'énergie (°) | Max.       | 51.8 | 43.8 |      | 39.5 | 50.9 |
| Angle ligne d'énergie (°) | Moyenne    | 33.8 | 25.6 |      | 26.6 | 41.4 |
|                           | Ecart type | 6.9  | 7.6  |      | 6.1  | 7.4  |
|                           | 5%         | 20.7 | 10.0 |      | 16.8 | 30.5 |
|                           | 10%        | 24.8 | 16.5 |      | 18.9 | 34.6 |
| Quantiles                 | 25%        | 29.7 | 20.9 |      | 22.2 | 38.6 |
|                           | 50%        | 34.5 | 26.8 |      | 26.2 | 42.5 |
|                           | 75%        | 38.6 | 29.7 |      | 31.2 | 47.1 |

Synthèse des valeurs de pente et de surface des enveloppes de propagation

# 8.3 Annexe 3 – Susceptibilité de rupture par phénomène Poids relatifs des variables par type de phénomène Evaluation des modélisations statistiques.

#### **GLISSEMENTS GROSSIERS**

# **TABLE DES POIDS**

Table 1 Poids sur jeu de donnée complet – Landform

| landform                                     | Class | Count         | Point.<br>Count | W+      | Stdw   | W-      | Std w  | Contrast |
|--|-------|---------------|-----------------|---------|--------|---------|--------|----------|
| gentle slope, coarse texture, low convexity  | 1     | 3,274,72      | 2               | -5.8532 | 0.7071 | 0.4933  | 0.0237 | -6.3465  |
| gentle slope, fine texture, low convexity    | 17    | 159,145       | 3               | -2.4236 | 0.5774 | 0.0172  | 0.0237 | -2.4408  |
| gentle slope, coarse texture, high convexity | 33    | 339,841       | 8               | -2.2014 | 0.3536 | 0.0368  | 0.0237 | -2.2382  |
| gentle slope, fine texture, high convexity   | 49    | 690,770       | 9               | -2.7930 | 0.3333 | 0.0805  | 0.0237 | -2.8735  |
| steep slope, coarse texture, low convexity   | 65    | 445,674       | 131             | 0.3235  | 0.0874 | -0.0213 | 0.0246 | 0.3449   |
| steep slope, fine texture, low convexity     | 81    | 258,420       | 127             | 0.8377  | 0.0888 | -0.0422 | 0.0246 | 0.8799   |
| steep slope, coarse texture, high convexity  | 97    | 656,055       | 338             | 0.8849  | 0.0544 | -0.1283 | 0.0263 | 1.0132   |
| steep slope, fine texture, high convexity    | 113   | 2,571,70<br>4 | 1,168           | 0.7588  | 0.0293 | -0.6960 | 0.0402 | 1.4548   |

Table 2: Poids sur jeu de donnée complet - Régolithe

|                            | rabio 2.1 oldo dal jou de delinio e delinio e la |               |                     |         |          |         |        |          |  |  |
|----------------------------|--|---------------|---------------------|---------|----------|---------|--------|----------|--|--|
| Régolithe                  | Class  | Count         | Point.<br>Coun<br>t | W+      | Stdw     | W-      | Std w  | Contrast |  |  |
| FAU-mince                  | 1  | 4,562,90<br>9 | 112                 | -2.1596 | 0.0945   | 0.7202  | 0.0244 | -2.8798  |  |  |
| FAU-très mince             | 2  | 1,675,78<br>0 | 992                 | 1.0239  | 0.0318   | -0.5865 | 0.0355 | 1.6104   |  |  |
| FAL-anthropique            | 3  | 28,370        | 12                  | 0.6876  | 0.2887   | -0.0040 | 0.0237 | 0.6916   |  |  |
| FAU-cuirasse<br>démantelée | 4  | 39,831        | 0                   | -3.8596 | 100.0000 | 0.0050  | 0.0237 | -3.8647  |  |  |
| FAU-épais                  | 5  | 178,408       | 20                  | -0.6406 | 0.2236   | 0.0102  | 0.0238 | -0.6508  |  |  |
| FAL-colluvions à blocs     | 7  | 835,115       | 650                 | 1.2978  | 0.0392   | -0.3483 | 0.0297 | 1.6461   |  |  |
| FAL-formations alluviales  | 8  | 930,896       | 0                   | -7.0111 | 100.0000 | 0.1177  | 0.0237 | -7.1288  |  |  |
| FAL-colluvions ND          | 9  | 144,998       | 0                   | -5.1517 | 100.0000 | 0.0171  | 0.0237 | -5.1689  |  |  |

Table 3: Poids sur jeu de donnée complet – Substrat

| Substrat          | Class | Count     | Point.<br>Count | W+      | Stdw     | W-      | Std w  | Contrast |
|-------------------|-------|-----------|-----------------|---------|----------|---------|--------|----------|
| Argilites         | 1     | 137,396   | 0               | -5.0979 | 100.0000 | 0.0161  | 0.0237 | -5.1140  |
| Basalte, dolérite | 2     | 4,009,452 | 4               | -5.3625 | 0.5000   | 0.6481  | 0.0237 | -6.0106  |
| Conglomérats      | 3     | 69,768    | 0               | -4.4202 | 100.0000 | 0.0080  | 0.0237 | -4.4282  |
| Cherts            | 4     | 23,949    | 0               | -3.3509 | 100.0000 | 0.0030  | 0.0237 | -3.3539  |
| Grès              | 5     | 213,196   | 0               | -5.5372 | 100.0000 | 0.0253  | 0.0237 | -5.5625  |
| Listvénites       | 6     | 819       | 0               | 0.0247  | 100.0000 | 0.0010  | 0.0237 | 0.0237   |
| Péridotites       | 8     | 2,495,937 | 1,550           | 1.0718  | 0.0254   | -1.6726 | 0.0651 | 2.7444   |
| Serpentinites     | 9     | 524,287   | 230             | 0.7241  | 0.0660   | -0.0741 | 0.0254 | 0.7982   |
| Siltites          | 10    | 266,098   | 0               | -5.7589 | 100.0000 | 0.0325  | 0.0237 | -5.7914  |
| Amphibolite       | 11    | 192       | 0               | 1.4753  | 100.0000 | 0.0010  | 0.0237 | 1.4743   |
| Calcaires         | 12    | 92,751    | 0               | -4.7049 | 100.0000 | 0.0111  | 0.0237 | -4.7160  |
| Diorite           | 13    | 800       | 0               | 0.0481  | 100.0000 | 0.0010  | 0.0237 | 0.0471   |
| Flyschs           | 14    | 149,262   | 2               | -2.7649 | 0.7071   | 0.0172  | 0.0237 | -2.7821  |
| Gabbro            | 15    | 987       | 0               | -0.1619 | 100.0000 | 0.0010  | 0.0237 | -0.1629  |
| Schistes          | 16    | 411,443   | 0               | -6.1947 | 100.0000 | 0.0502  | 0.0237 | -6.2449  |

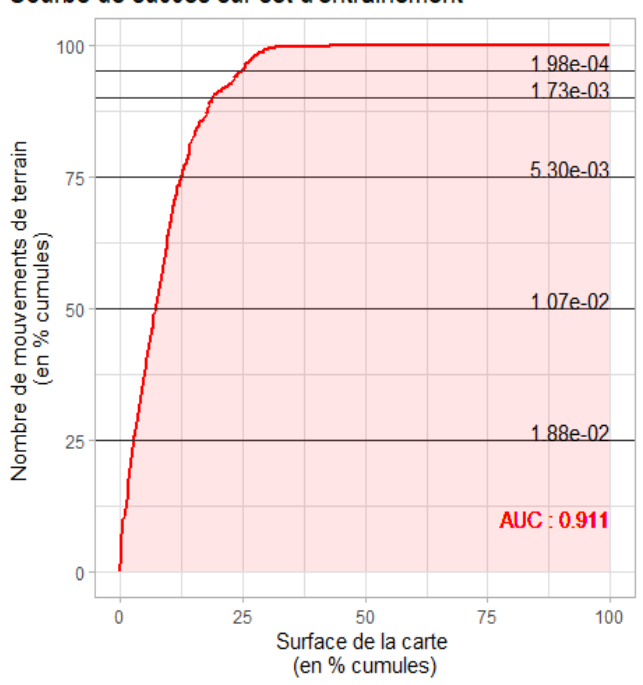
Table 4 : Poids sur jeu de donnée complet - Pente

| Pente | Class | Count         | Point. Count | W+      | Stdw   | W-      | Std w  | Contrast |
|-------|-------|---------------|--------------|---------|--------|---------|--------|----------|
| 0-5   | 1     | 1,866,57<br>5 | 0            | -7.7069 | 100.00 | 0.2510  | 0.0237 | -7.9579  |
| 05-10 | 2     | 1,178,20<br>8 | 3            | -4.4255 | 0.5774 | 0.1488  | 0.0237 | -4.5744  |
| 10-15 | 3     | 917,454       | 6            | -3.4822 | 0.4082 | 0.1124  | 0.0237 | -3.5946  |
| 15-20 | 4     | 844,550       | 23           | -2.0557 | 0.2085 | 0.0934  | 0.0238 | -2.1491  |
| 20-25 | 5     | 864,625       | 62           | -1.0875 | 0.1270 | 0.0731  | 0.0241 | -1.1606  |
| 25-30 | 6     | 887,550       | 147          | -0.2503 | 0.0825 | 0.0265  | 0.0247 | -0.2768  |
| 30-35 | 7     | 742,734       | 312          | 0.6807  | 0.0566 | -0.1003 | 0.0260 | 0.7809   |
| 35-40 | 8     | 563,690       | 511          | 1.4504  | 0.0443 | -0.2675 | 0.0280 | 1.7179   |
| 40-45 | 9     | 365,173       | 448          | 1.7533  | 0.0473 | -0.2451 | 0.0273 | 1.9983   |
| 45-50 | 10    | 135,479       | 175          | 1.8049  | 0.0756 | -0.0870 | 0.0249 | 1.8919   |
| >50   | 11    | 30,299        | 99           | 2.7349  | 0.1007 | -0.0526 | 0.0243 | 2.7874   |

# SUR LES JEUX DE DONNEES D'ENTRAINEMENT ET DE VALIDATION

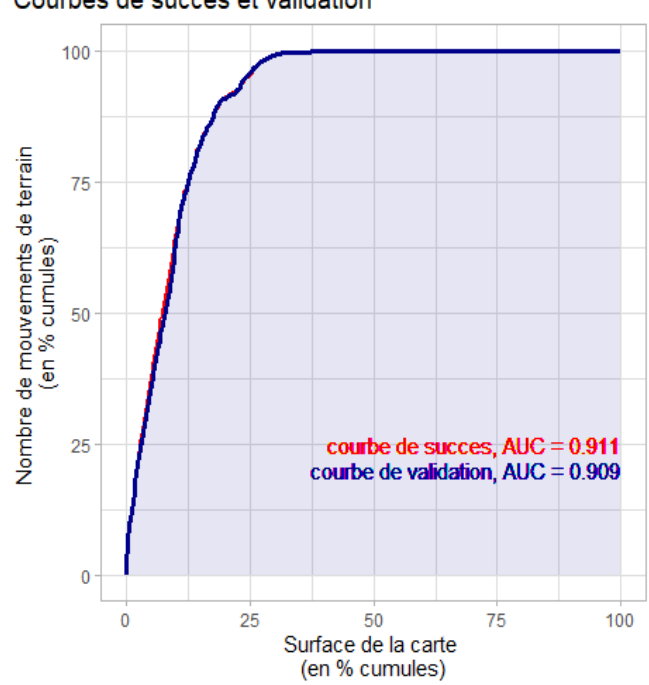
#### COURBE DE SUCCES ET AIRE SOUS LA COURBE

#### Courbe de succes sur set d'entrainement

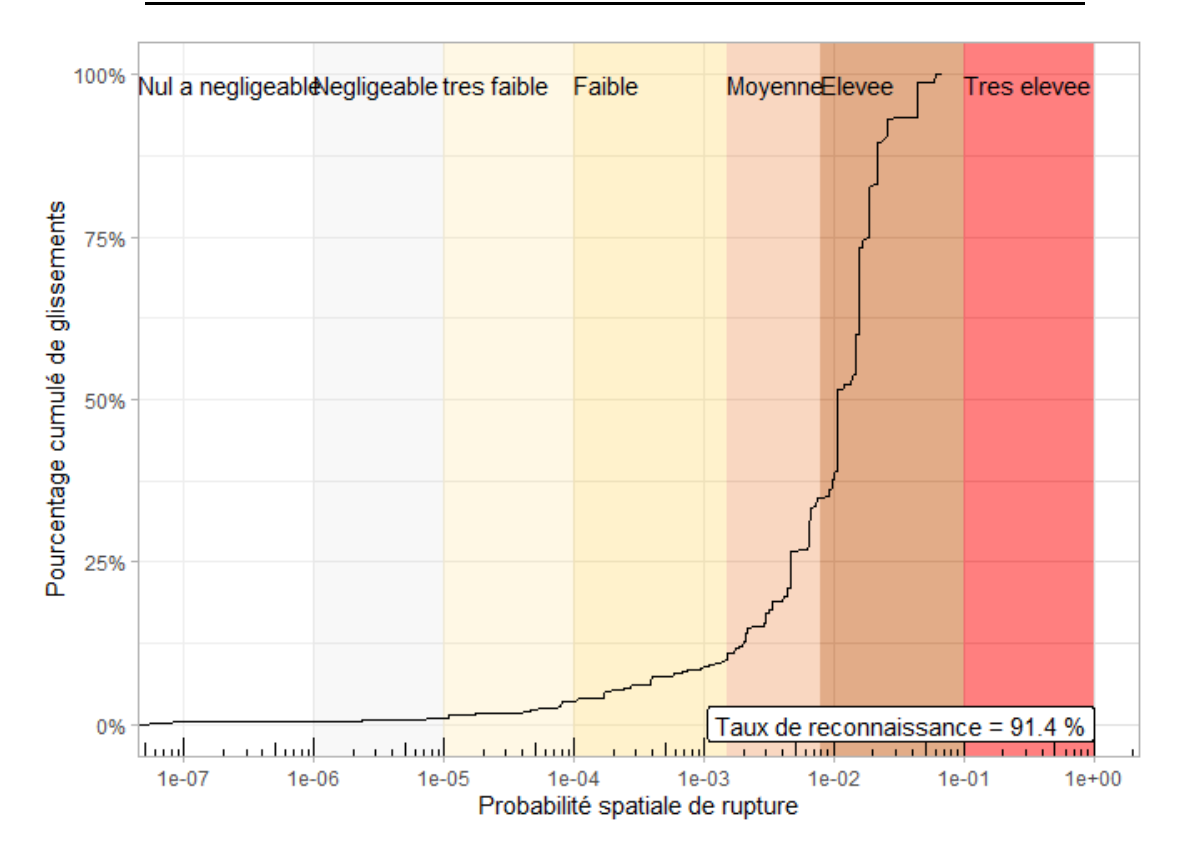


# **COURBE DE VALIDATION**





#### COURBE DE RECONNAISSANCE SUR SET D'ENTRAINEMENT

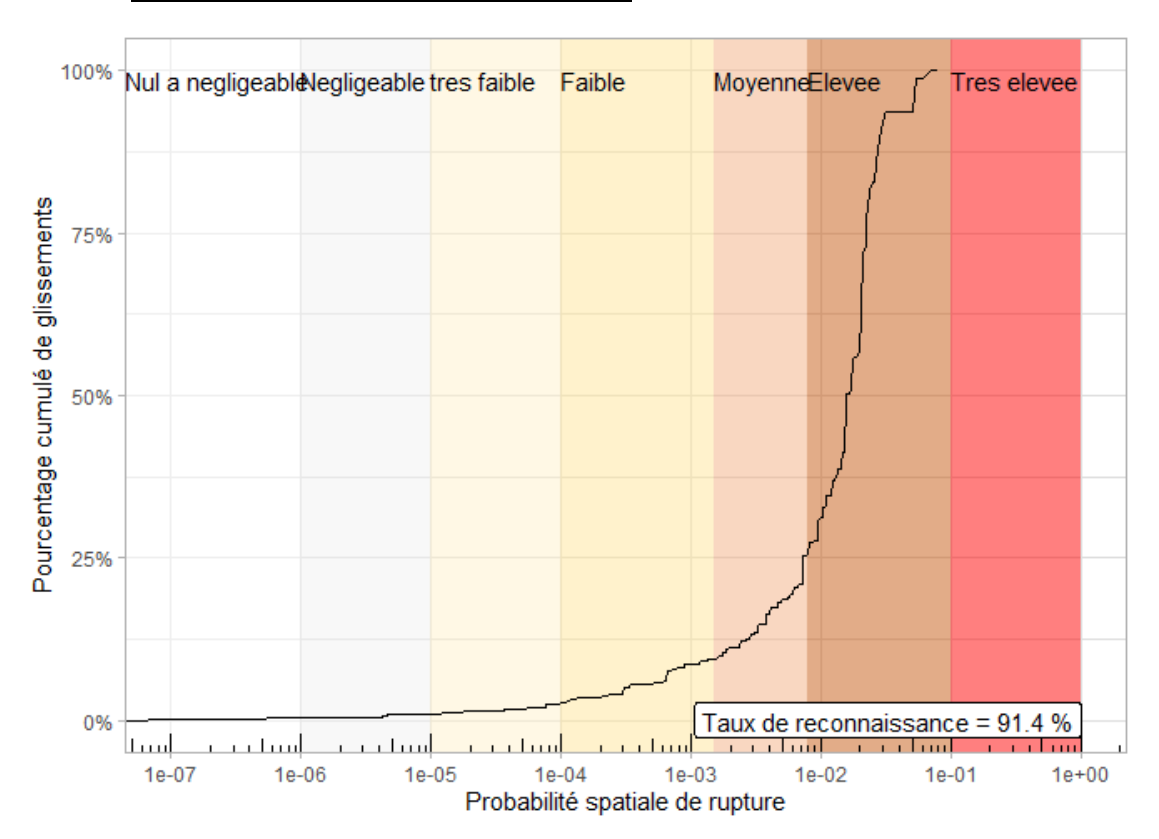


# **CONFIANCE STATISTIQUE**

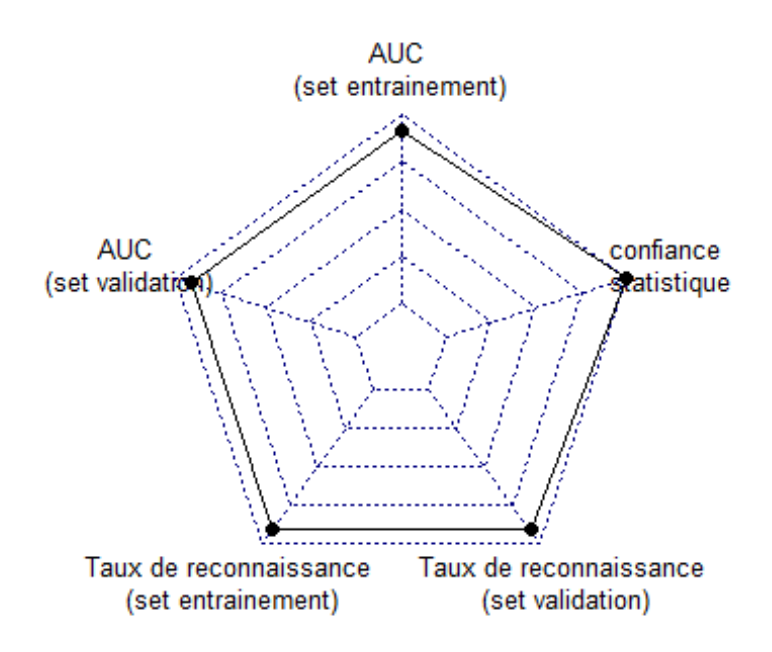
| 0011     | 17 (1 <b>1</b> O L O I | MIIOTIQUE         |           |             |            |
|----------|------------------------|-------------------|-----------|-------------|------------|
| xmin     | xmax                   | proba             | ncell     | ncell_sup95 | prct_sup95 |
| 0.000000 | 0.000001               | Nul à négligeable | 5,612,554 |             |            |
| 0.000001 | 0.000010               | Négligeable       | 301,687   | 1,269       | 0.4206346  |
| 0.000010 | 0.000100               | Très faible       | 313,424   | 258,708     | 82.5424983 |
| 0.000100 | 0.001500               | Faible            | 582,212   | 580,859     | 99.7676104 |
| 0.001500 | 0.008000               | Moyenne           | 750,464   | 749,423     | 99.8612858 |
| 0.008000 | 0.100000               | Elevée            | 835,966   | 835,747     | 99.9738028 |
| 0.100000 | 1.000000               | Très élevée       | 0         | 0           |            |

# **SUR LE JEU DE DONNEES COMPLET**

# **COURBE DE RECONNAISSANCE**



# **INDICATEURS STATISTIQUES**



# PROBABILITE ANNUELLE DE RUPTURE

| probabilité<br>de rupture<br>spatiale | valeur<br>raster | Npix<br>classe | Npix<br>gliss | proba<br>temporelle | classe seuill jtc1 | classe propag annuelle<br>sélectionnée |
|---------------------------------------|------------------|----------------|---------------|---------------------|--------------------|--|
| nulle à                               |                  |                |               |                     |                    |  |
| négligeable                           | . 1              | 5.6E+06        | 0             | 0                   |                    |  |
| négligeable                           | . 2              | 3.3E+05        | 8             | 5.46E-07            | négligeable        | négligeable                            |
| très faible                           | 3                | 2.5E+05        | 17            | 1.56E-06            | très faible        | très faible                            |
| faible                                | 4                | 6.8E+05        | 91            | 3.06E-06            | très faible        | très faible                            |
| moyenne                               | 5                | 1.0E+06        | 564           | 1.23E-05            | faible             | faible                                 |
| forte                                 | 6                | 5.5E+05        | 457           | 1.89E-05            | faible             | faible                                 |
| très forte                            |                  |                |               |                     |                    |  |

# **GLISSEMENTS FINS**

# **TABLE DES POIDS**

Table 5: Poids sur jeu de donnée complet – Landform

| landform   | Class | Count     | Point<br>Count | W+      | Std w+   | W-      | Std w- | Contrast |
|--|-------|-----------|----------------|---------|----------|---------|--------|----------|
| gentle slope,<br>coarse texture, low<br>convexity  | 1     | 3,274,728 | 6              | -3.9539 | 0.4082   | 0.4873  | 0.0354 | -4.4412  |
| gentle slope, fine<br>texture, low<br>convexity    | 17    | 159,145   | 0              | -5.2447 | 100.0000 | 0.0192  | 0.0353 | -5.2639  |
| gentle slope,<br>coarse texture, high<br>convexity | 33    | 339,841   | 6              | -1.6884 | 0.4083   | 0.0338  | 0.0354 | -1.7222  |
| gentle slope, fine<br>texture, high<br>convexity   | 49    | 690,770   | 33             | -0.6929 | 0.1741   | 0.0437  | 0.0361 | -0.7366  |
| steep slope, coarse<br>texture, low<br>convexity   | 65    | 445,674   | 15             | -1.0432 | 0.2582   | 0.0353  | 0.0356 | -1.0784  |
| steep slope, fine<br>texture, low<br>convexity     | 81    | 258,420   | 5              | -1.5968 | 0.4472   | 0.0255  | 0.0354 | -1.6223  |
| steep slope, coarse texture, high convexity        | 97    | 656,055   | 81             | 0.2567  | 0.1111   | -0.0253 | 0.0372 | 0.2819   |
| steep slope, fine<br>texture, high<br>convexity    | 113   | 2,571,704 | 656            | 0.9824  | 0.0390   | -1.3385 | 0.0828 | 2.3209   |

Table 6: Poids sur jeu de donnée complet - Régolithe

| Régolithe                  | Class | Count     | Point<br>Count | W+      | Std w+   | W-      | Std w- | Contrast |
|----------------------------|-------|-----------|----------------|---------|----------|---------|--------|----------|
| FAU-mince                  | 1     | 4,562,625 | 716            | 0.4965  | 0.0374   | -1.4519 | 0.1078 | 1.9484   |
| FAU-très mince             | 2     | 1,675,780 | 80             | -0.6936 | 0.1118   | 0.1178  | 0.0372 | -0.8114  |
| FAL-anthropique            | 3     | 28,370    | 0              | -3.5202 | 100.0000 | 0.0030  | 0.0353 | -3.5232  |
| FAU-cuirasse<br>démantelée | 4     | 39,831    | 0              | -3.8595 | 100.0000 | 0.0050  | 0.0353 | -3.8645  |
| FAU-épais                  | 5     | 178,408   | 0              | -5.3590 | 100.0000 | 0.0212  | 0.0353 | -5.3802  |
| FAL-chaos blocs            | 7     | 835,115   | 0              | -6.9025 | 100.0000 | 0.1043  | 0.0353 | -7.0067  |
| FAL-colluvions à blocs     | 8     | 930,896   | 3              | -3.3892 | 0.5774   | 0.1137  | 0.0354 | -3.5028  |
| FAL-formations alluviales  | 9     | 145,282   | 3              | -1.5317 | 0.5774   | 0.0131  | 0.0354 | -1.5448  |

Table 7: Poids sur jeu de donnée complet - Substrat

| Substrat          | Class | Count     | Point<br>Count | W+      | Std w+   | W-      | Std w- | Contrast |
|-------------------|-------|-----------|----------------|---------|----------|---------|--------|----------|
| Argilites         | 1     | 137,396   | 58             | 1.4863  | 0.1313   | -0.0586 | 0.0367 | 1.5449   |
| Basalte, dolérite | 2     | 4,009,452 | 119            | -1.1689 | 0.0917   | 0.4899  | 0.0383 | -1.6588  |
| Conglomérats      | 3     | 69,768    | 0              | -4.4201 | 100.0000 | 0.0080  | 0.0353 | -4.4281  |
| Cherts            | 4     | 23,949    | 17             | 2.0063  | 0.2426   | -0.0182 | 0.0357 | 2.0246   |
| Grès              | 5     | 213,196   | 207            | 2.3198  | 0.0695   | -0.2731 | 0.0410 | 2.5929   |
| Listvénites       | 6     | 819       | 0              | 0.0248  | 100.0000 | 0.0010  | 0.0353 | 0.0238   |
| Péridotites       | 8     | 2,495,937 | 0              | -7.9973 | 100.0000 | 0.3524  | 0.0353 | -8.3497  |
| Serpentinites     | 9     | 524,287   | 25             | -0.6948 | 0.2000   | 0.0325  | 0.0359 | -0.7273  |
| Siltites          | 10    | 266,098   | 212            | 2.1219  | 0.0687   | -0.2740 | 0.0412 | 2.3959   |
| Amphibolite       | 11    | 192       | 0              | 1.4754  | 100.0000 | 0.0010  | 0.0353 | 1.4744   |
| Calcaires         | 12    | 92,751    | 1              | -2.1816 | 1.0000   | 0.0101  | 0.0353 | -2.1916  |

| Diorite  | 13 | 800     | 0   | 0.0483  | 100.0000 | 0.0010  | 0.0353 | 0.0473  |
|----------|----|---------|-----|---------|----------|---------|--------|---------|
| Flyschs  | 14 | 149,262 | 19  | 0.2872  | 0.2294   | -0.0061 | 0.0357 | 0.2933  |
| Gabbro   | 15 | 987     | 0   | -0.1618 | 100.0000 | 0.0010  | 0.0353 | -0.1628 |
| Schistes | 16 | 411,443 | 144 | 1.2988  | 0.0833   | -0.1482 | 0.0390 | 1.4470  |

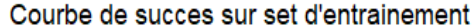
Table 8: Poids sur jeu de donnée complet - Substrat

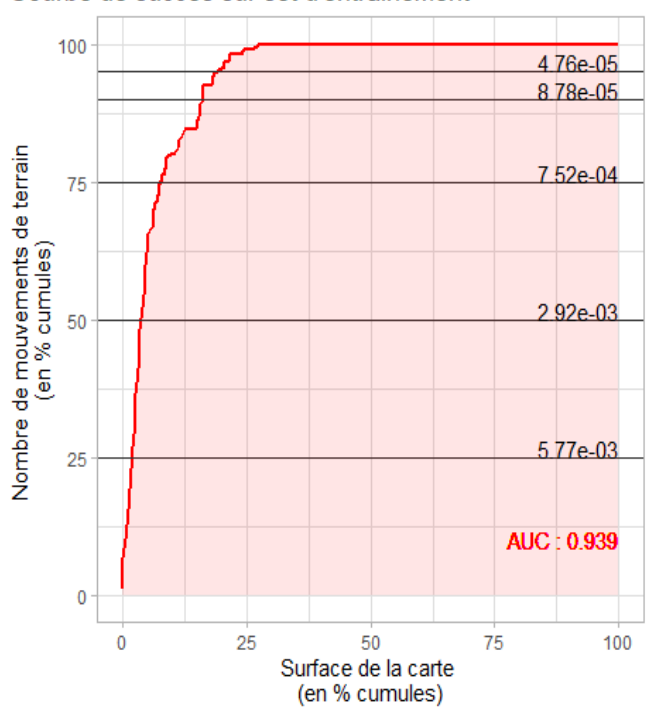
Table 9: Poids sur jeu de donnée complet - Pente

| pente | Class | Count     | Point<br>Count | W+      | Std w+ | W-      | Std w- | Contrast |
|-------|-------|-----------|----------------|---------|--------|---------|--------|----------|
| 0-5   | 1     | 1,866,575 | 1              | -5.1835 | 1.0000 | 0.2500  | 0.0353 | -5.4335  |
| 5-10  | 2     | 1,178,208 | 3              | -3.6248 | 0.5774 | 0.1468  | 0.0354 | -3.7716  |
| 10-15 | 3     | 917,454   | 11             | -2.0753 | 0.3015 | 0.1013  | 0.0356 | -2.1767  |
| 15-20 | 4     | 844,550   | 54             | -0.4014 | 0.1361 | 0.0371  | 0.0366 | -0.4385  |
| 20-25 | 5     | 864,625   | 139            | 0.5207  | 0.0848 | -0.0813 | 0.0388 | 0.6019   |
| 25-30 | 6     | 887,550   | 203            | 0.8733  | 0.0702 | -0.1796 | 0.0409 | 1.0530   |
| 30-35 | 7     | 742,734   | 167            | 0.8562  | 0.0774 | -0.1411 | 0.0397 | 0.9973   |
| 35-40 | 8     | 563,690   | 120            | 0.8015  | 0.0913 | -0.0932 | 0.0383 | 0.8947   |
| 40-45 | 9     | 365,173   | 87             | 0.9141  | 0.1072 | -0.0703 | 0.0374 | 0.9845   |
| 45-50 | 10    | 135,479   | 10             | -0.2578 | 0.3162 | 0.0041  | 0.0355 | -0.2619  |
| >50   | 11    | 30,299    | 7              | 0.8834  | 0.3780 | -0.0050 | 0.0355 | 0.8884   |

# SUR LES JEUX DE DONNEES D'ENTRAINEMENT ET DE VALIDATION

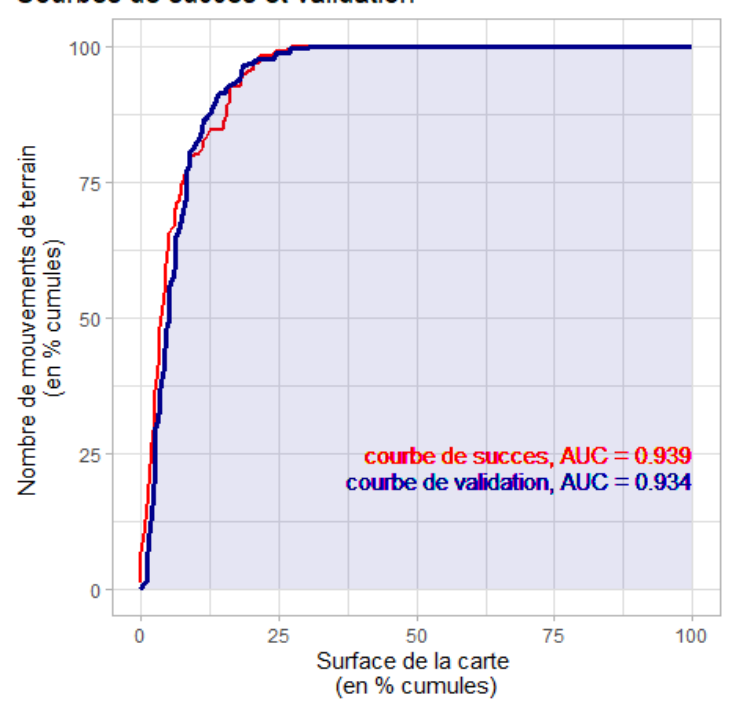
# COURBE DE SUCCES ET AIRE SOUS LA COURBE



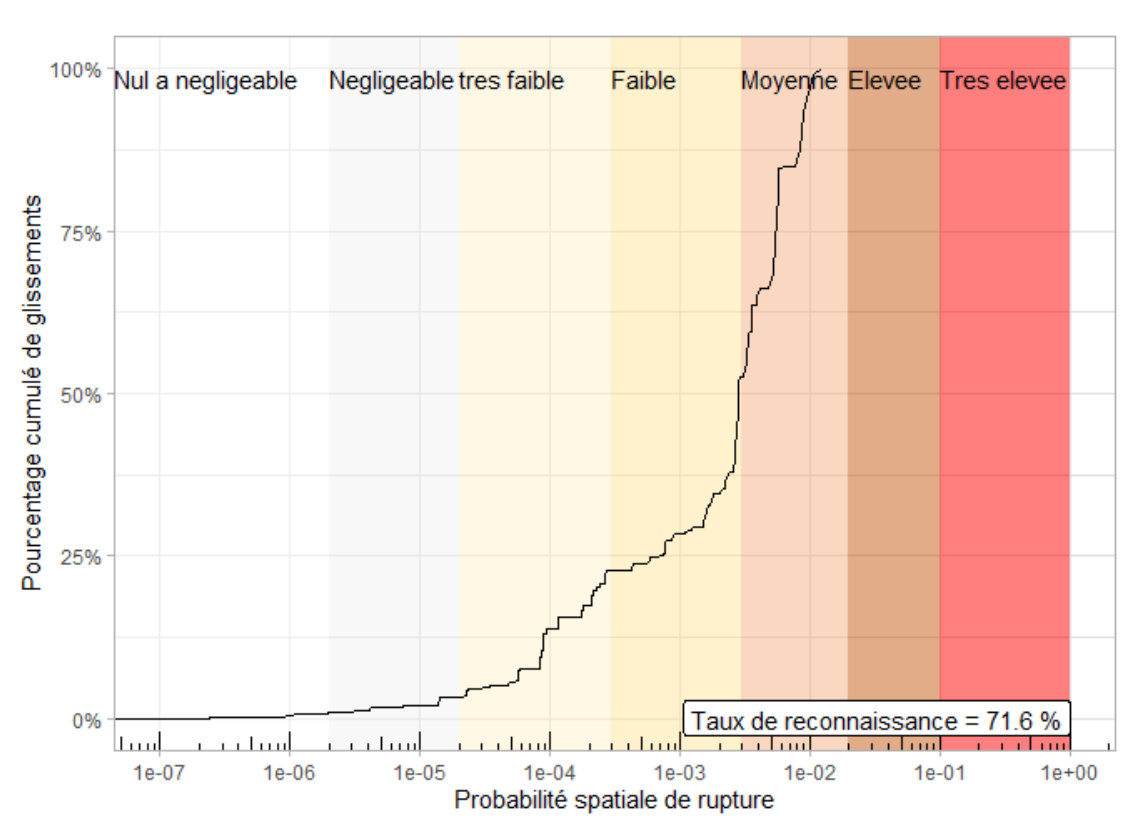


# **COURBE DE VALIDATION**

#### Courbes de succès et validation





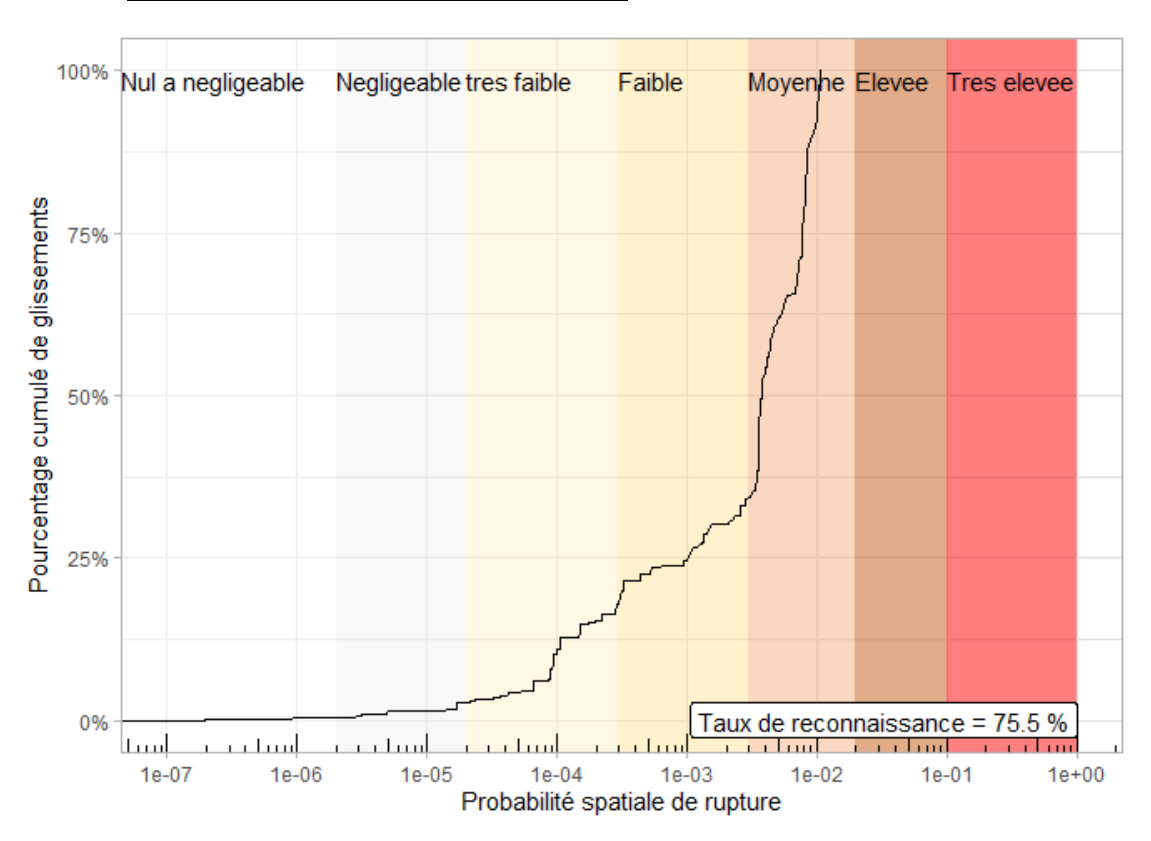


# **CONFIANCE STATISTIQUE**

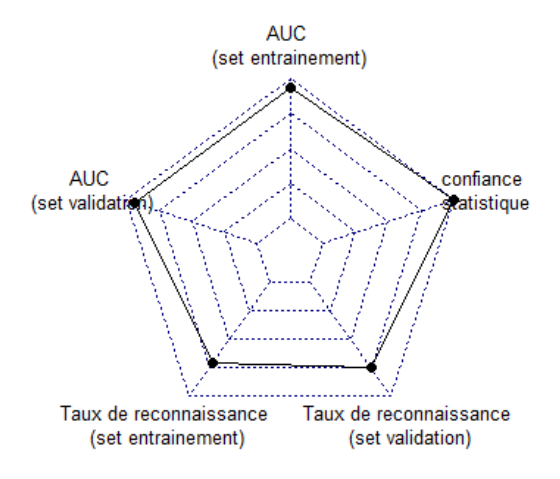
| xmin     | xmax     | proba             | ncell     | ncell_sup95 | prct_sup95 |
|----------|----------|-------------------|-----------|-------------|------------|
| 0.000000 | 0.000002 | Nul à négligeable | 6,162,248 | 10,270      | 0.16666    |
| 0.000002 | 0.000020 | Négligeable       | 480,339   | 291,796     | 60.74793   |
| 0.000020 | 0.000300 | Très faible       | 1,023,177 | 952,405     | 93.08311   |
| 0.000300 | 0.003000 | Faible            | 438,380   | 432,061     | 98.55856   |
| 0.003000 | 0.020000 | Moyenne           | 292,163   | 292,154     | 99.99692   |
| 0.020000 | 0.100000 | Elevée            |           |             |            |
| 0.100000 | 1.000000 | Très élevée       |           |             |            |

# **SUR LE JEU DE DONNEES COMPLET**

# **COURBE DE RECONNAISSANCE**



# **INDICATEURS STATISTIQUES**



# PROBABILITE ANNUELLE DE RUPTURE

| probabilité<br>de rupture<br>spatiale | valeur<br>raster | Npix<br>classe | Npix<br>gliss | proba<br>temporelle | classe seuill jtc1  | classe propag annuelle<br>sélectionnée |
|---------------------------------------|------------------|----------------|---------------|---------------------|---------------------|--|
| nulle à<br>négligeable                | 1                | 6.1E+06        | 3             | 1.11E-08            | nulle à négligeable | nulle à négligeable                    |
| négligeable                           | 2                | 4.8E+05        | 15            | 7.10E-07            | négligeable         | négligeable                            |
| très faible                           | 3                | 8.3E+05        | 88            | 2.41E-06            | très faible         | très faible                            |
| faible                                | 4                | 4.5E+05        | 57            | 2.85E-06            | très faible         | très faible                            |
| moyenne                               | 5                | 4.9E+05        | 344           | 1.61E-05            | faible              | faible                                 |
| forte                                 |                  |                |               | •                   |                     |  |
| très forte                            | 7                |                |               |                     |                     |  |

# **LAVES TORRENTIELLES**

# **TABLE DES POIDS**

Table 10 : Poids sur jeu de donnée complet - Régolithe

| FS                         | Class | Count     | Point<br>Count | W+      | Std w+   | W-      | Std w- | Contrast |
|----------------------------|-------|-----------|----------------|---------|----------|---------|--------|----------|
| FAU-mince                  | 1     | 4,562,625 | 113            | -1.2517 | 0.0941   | 0.6147  | 0.0404 | -1.8664  |
| FAU-très mince             | 2     | 1,675,780 | 215            | 0.3933  | 0.0682   | -0.1278 | 0.0442 | 0.5211   |
| FAL-anthropique            | 3     | 28,370    | 62             | 3.2305  | 0.1271   | -0.0858 | 0.0388 | 3.3164   |
| FAU-cuirasse<br>démantelée | 4     | 39,831    | 0              | -3.8595 | 100.0000 | 0.0050  | 0.0371 | -3.8645  |
| FAU-épais                  | 5     | 178,408   | 3              | -1.6389 | 0.5774   | 0.0172  | 0.0372 | -1.6561  |
| FAL-chaos blocs            | 7     | 835,115   | 334            | 1.5305  | 0.0547   | -0.5101 | 0.0504 | 2.0406   |
| FAL-colluvions à blocs     | 8     | 930,896   | 0              | -7.0110 | 100.0000 | 0.1177  | 0.0371 | -7.1287  |
| FAL-formations alluviales  | 9     | 145,282   | 0              | -5.1536 | 100.0000 | 0.0171  | 0.0371 | -5.1707  |

Table 11 : Poids sur jeu de donnée complet - Pentes

| pente | Class | Count     | Point<br>Count | W+      | Std w+   | W-      | Std w- | Contrast |
|-------|-------|-----------|----------------|---------|----------|---------|--------|----------|
| 0-5   | 1     | 1,866,575 | 0              | -7.7067 | 100.0000 | 0.2510  | 0.0371 | -7.9578  |
| 5-10  | 2     | 1,178,208 | 1              | -4.6252 | 1.0000   | 0.1498  | 0.0371 | -4.7750  |
| 10-15 | 3     | 917,454   | 4              | -2.9888 | 0.5000   | 0.1094  | 0.0372 | -3.0982  |
| 15-20 | 4     | 844,550   | 15             | -1.5842 | 0.2582   | 0.0852  | 0.0375 | -1.6694  |
| 20-25 | 5     | 864,625   | 59             | -0.2382 | 0.1302   | 0.0242  | 0.0387 | -0.2624  |
| 25-30 | 6     | 887,550   | 84             | 0.0890  | 0.1091   | -0.0112 | 0.0394 | 0.1002   |
| 30-35 | 7     | 742,734   | 107            | 0.5092  | 0.0967   | -0.0669 | 0.0402 | 0.5761   |
| 35-40 | 8     | 563,690   | 165            | 1.2183  | 0.0779   | -0.1881 | 0.0422 | 1.4064   |
| 40-45 | 9     | 365,173   | 156            | 1.5964  | 0.0801   | -0.1981 | 0.0419 | 1.7946   |
| 45-50 | 10    | 135,479   | 79             | 1.9078  | 0.1125   | -0.0993 | 0.0393 | 2.0070   |
| >50   | 11    | 30,299    | 57             | 3.0804  | 0.1326   | -0.0772 | 0.0386 | 3.1576   |

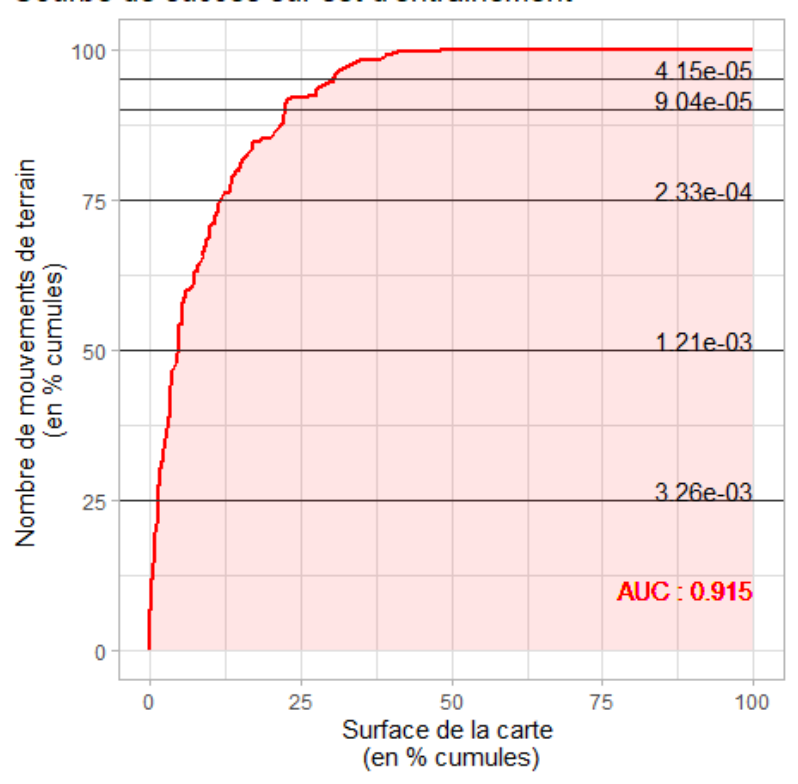
Table 12 Poids sur jeu de donnée complet - TPI

| tpi  | Class | Count     | Point<br>Count | W+      | Std w+       | W-      | Std w- | Contrast |
|--|-------|-----------|----------------|---------|--------------|---------|--------|----------|
| V-shape river valley.<br>Deep narrow<br>canyons                    | 1     | 354,800   | 100            | 1.1804  | 0.1000       | -0.1045 | 0.0399 | 1.2850   |
| Lateral midslope incised drainage                                  | 2     | 585,622   | 224            | 1.4859  | 0.0668       | -0.2956 | 0.0446 | 1.7815   |
| Upland incised drainage. Stream headwaters                         | 3     | 74,205    | 73             | 2.4311  | 0.1171       | -0.0963 | 0.0391 | 2.5275   |
| U-shape valleys  | 4     | 519,956   | 11             | -1.4093 | 0.3015       | 0.0489  | 0.0374 | -1.4582  |
| Broad flat area (slope=0)  | 5     | 1,762,487 | 0              | -7.6494 | 100.00<br>00 | 0.2357  | 0.0371 | -7.8851  |
| Broad open slopes (slopes>0)                                       | 6     | 3,457,827 | 125            | -0.8735 | 0.0894       | 0.3423  | 0.0408 | -1.2158  |
| Flat ridge tops mesa tops  | 7     | 565,234   | 142            | 1.0654  | 0.0839       | -0.1465 | 0.0413 | 1.2119   |
| Local ridge/hilltops within broad valleys                          | 8     | 57,101    | 2              | -0.9051 | 0.7071       | 0.0040  | 0.0371 | -0.9091  |
| Lateral midslope<br>drainage divides.<br>Local ridges in<br>plains | 9     | 602,827   | 16             | -1.1825 | 0.2500       | 0.0525  | 0.0375 | -1.2350  |
| Mountain top. High narrow ridges                                   | 10    | 413,736   | 34             | -0.0522 | 0.1715       | 0.0032  | 0.0380 | -0.0554  |

# SUR LES JEUX DE DONNEES D'ENTRAINEMENT ET DE VALIDATION

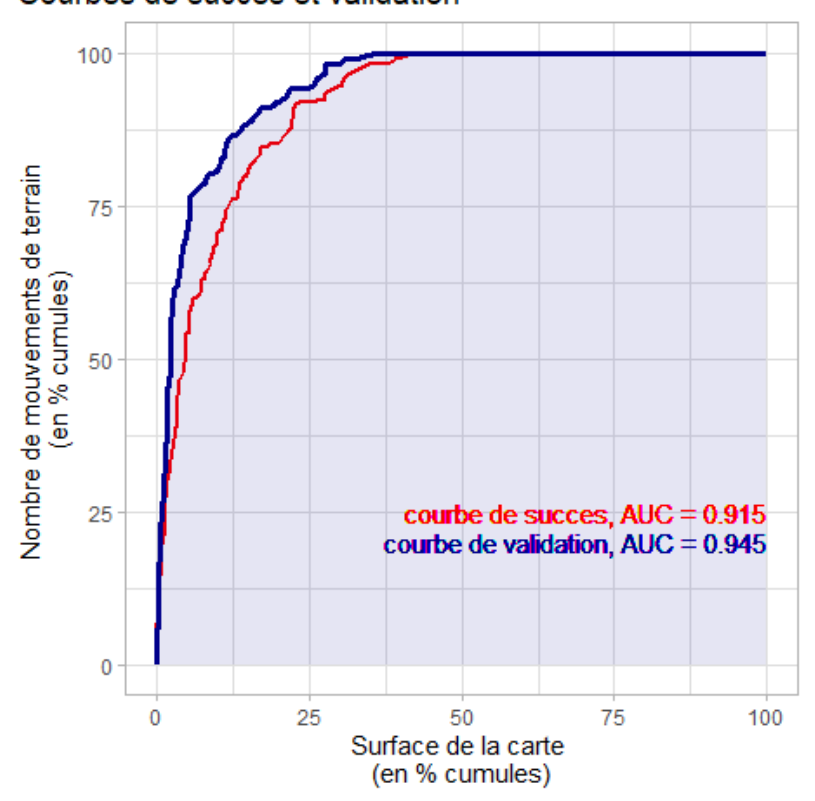
COURBE DE SUCCES ET AIRE SOUS LA COURBE

#### Courbe de succes sur set d'entrainement

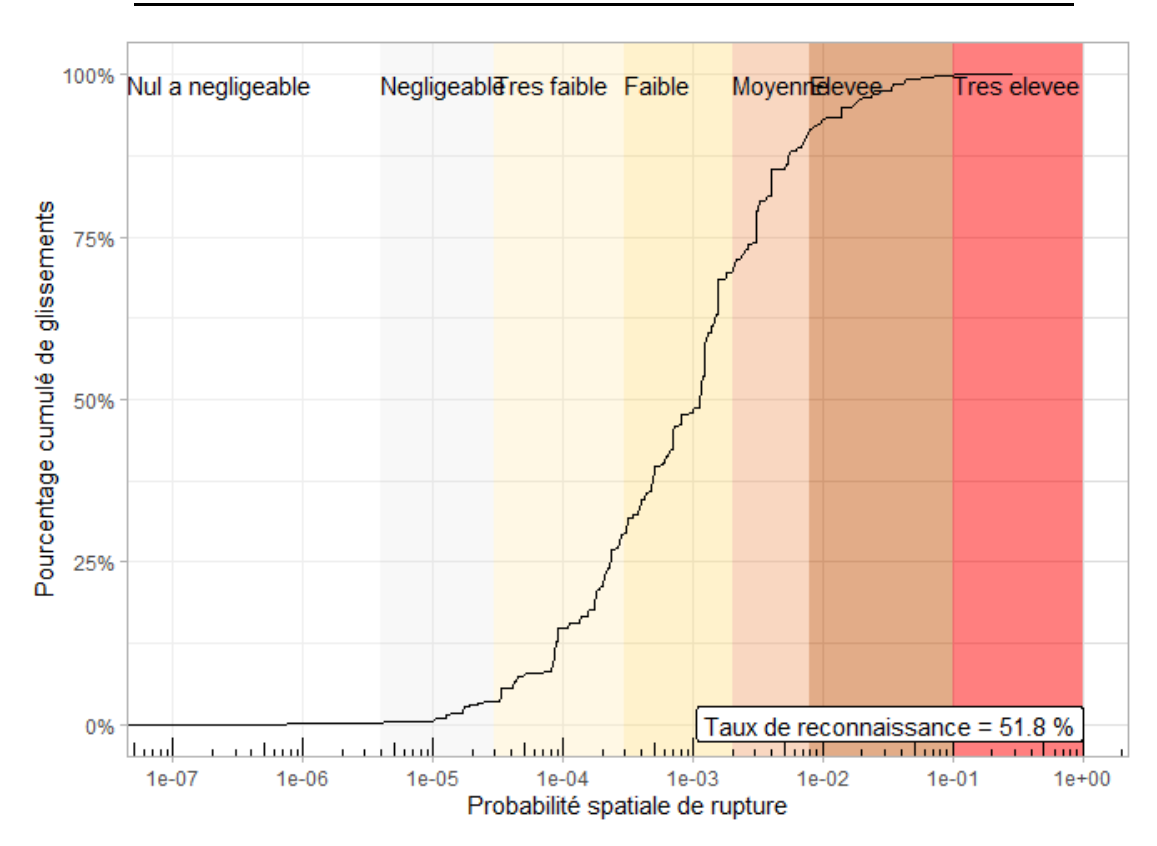


# **COURBE DE VALIDATION**

#### Courbes de succès et validation



## COURBE DE RECONNAISSANCE SUR SET D'ENTRAINEMENT

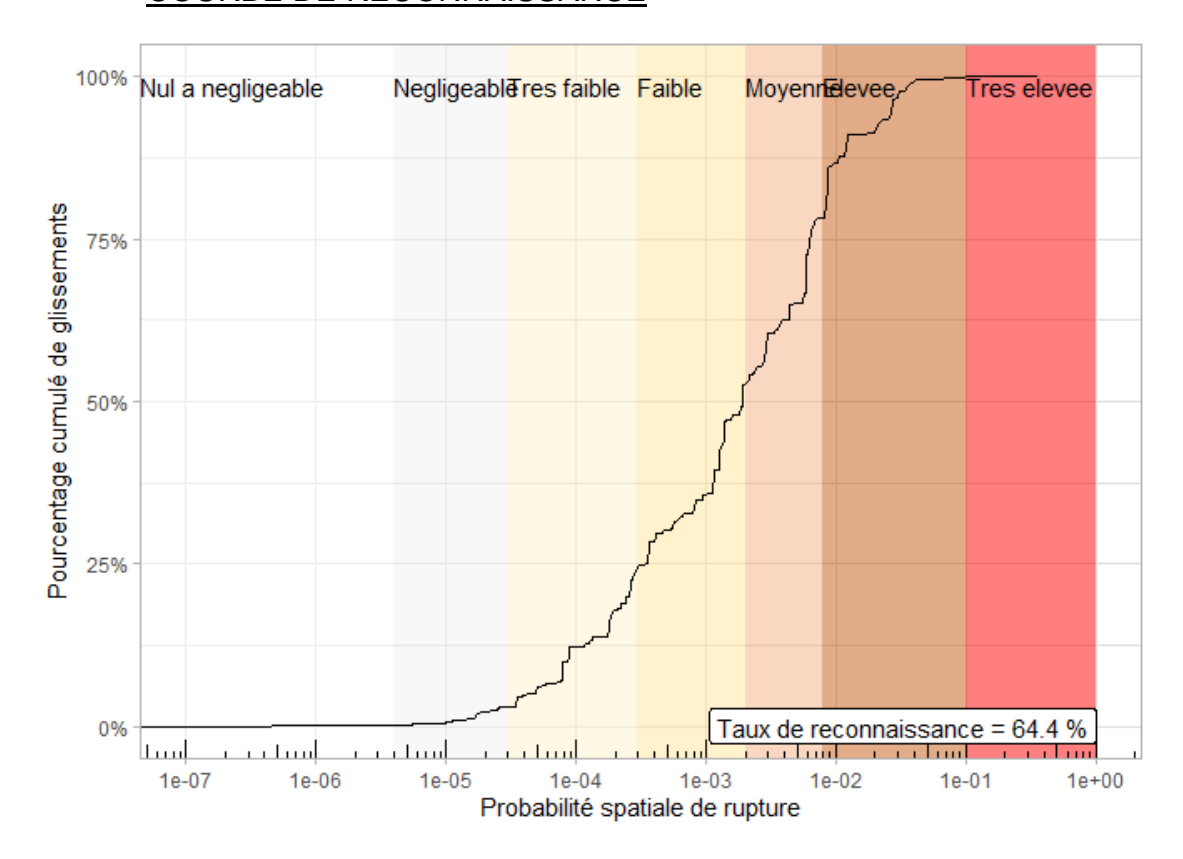


## **CONFIANCE STATISTIQUE**

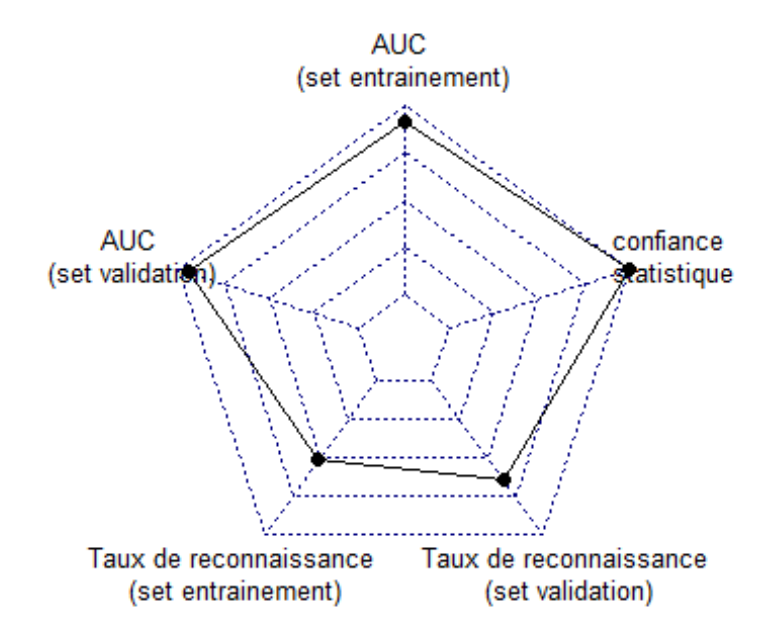
| xmin     | xmax     | proba             | ncell     | ncell_sup95 | prct_sup95 |
|----------|----------|-------------------|-----------|-------------|------------|
| 0.000000 | 0.000004 | Nul à négligeable | 4,353,950 | 412,916     | 9.48371    |
| 0.000004 | 0.000030 | Négligeable       | 1,389,915 | 1,178,595   | 84.79619   |
| 0.000030 | 0.000300 | Très faible       | 1,803,285 | 1,737,865   | 96.37218   |
| 0.000300 | 0.002000 | Faible            | 672,091   | 663,579     | 98.73350   |
| 0.002000 | 0.008000 | Moyenne           | 141,551   | 141,393     | 99.88838   |
| 0.008000 | 0.100000 | Elevée            | 32,066    | 32,066      | 100.00000  |
| 0.100000 | 1.000000 | Très élevée       | 907       | 907         | 100.00000  |

## **SUR LE JEU DE DONNEES COMPLET**

## **COURBE DE RECONNAISSANCE**



## **INDICATEURS STATISTIQUES**



#### PROBABILITE ANNUELLE DE RUPTURE

| probabilité de<br>rupture<br>spatiale | valeur<br>raster | •         | Npix<br>gliss | proba<br>temporelle | classe seuill jtc1 | classe propag<br>annuelle sélectionnée |
|---------------------------------------|------------------|-----------|---------------|---------------------|--------------------|--|
| nulle à négligeable                   | 1                | 4.3E+06 N | IA            | NA                  |                    |  |
| négligeable                           | 2                | 1.4E+06   | 10            | 1.59E-07            | négligeable        | nulle à négligeable                    |
| très faible                           | 3                | 1.6E+06   | 53            | 7.31E-07            | négligeable        | négligeable                            |
| faible                                | 4                | 6.7E+05   | 87            | 2.96E-06            | très faible        | très faible                            |
| moyenne                               | 5                | 2.4E+05   | 79            | 7.58E-06            | très faible        | très faible                            |
| forte                                 | 6                | 7.5E+04   | 47            | 1.43E-05            | faible             | faible                                 |
| très forte                            | 7                | 1.0E+03 N | IA            | NA                  |                    |  |

#### 8.4 Annexe 4 – Méthode d'évaluation de l'aléa mouvement de terrain

#### **DEFINITIONS ET PRINCIPES**

L'aléa correspond à la probabilité spatiale (susceptibilité) et temporelle (période de retour) qu'un type de phénomène d'une certaine intensité se produise sur un territoire pour une période temporelle donné (Cruden et Fell, 1997; Fell et al., 2005).

La qualité des données et les objectifs recherchés conditionnent l'approche d'évaluation de l'aléa. Pour la commune, des méthodes dites « sophistiquées » axées sur des approches quantitatives sont retenues au regard du travail d'inventaire réalisé. Ces méthodes intègrent la dimension spatiale et la composante temporelle. Elles sont fondées sur des analyses statistiques / probabilistes.

#### ALEA DE REFERENCE

Selon le guide PPRn « Risques de mouvement de terrain » il convient de déterminer l'aléa de référence (phénomène d'occurrence et d'intensité données servant de référence pour définir la cartographie) dans un secteur homogène donné afin de prévoir au mieux le phénomène qui pourrait se produire et dont il faut protéger les populations et les biens concernés.

Cet aléa est décrit conventionnellement comme le « plus fort événement historique connu dans le site, sauf si une analyse spécifique conduit à considérer comme vraisemblable à échéance centennale, ou plus en cas de danger humain, un événement de plus grande ampleur. ». Un événement exceptionnel d'occurrence géologique n'est pas, par principe, pris en considération.

Il est traditionnellement retenu d'approcher l'aléa de référence au travers de scénarios dits « de référence », qui doivent spécifier en particulier l'intensité des phénomènes et les conditions de propagation. Plusieurs scénarios de référence peuvent être proposés pour construire l'aléa de référence. Pour la cartographie à échelle du 1 :25 000ème, l'intensité de l'aléa de référence est définie à partir d'un scénario qualifié de probable, non nécessairement maximal.

La période retenue pour qualifier l'aléa de référence est le siècle (probabilité qu'un évènement d'un type se déclenche dans les 100 ans à venir).

Les phénomènes objet de cartes d'aléa sont issus de la typologie des mouvements définie dans le rapport méthodologique et de l'inventaire communal réalisé :

• GG: Glissement dans matériaux grossiers

• GF: Glissement dans matériaux fins

LT : Lave-torrentielle

• CB : Chute de blocs ou éboulements

Les phénomènes de « Grand glissement de versant » (GGV) ne font pas l'objet de cartes d'aléa car aucune méthode ne permet d'appréhender raisonnablement cet aléa à l'échelle des communes. De plus l'occurrence de ce type de phénomène dépasse l'échelle centennale. Les phénomènes repérés géomorphologiquement (actifs-latents ou dormants-stabilisés) sont toutefois reportés sur les cartes d'aléa produites.

La méthode déployée pour définir l'aléa (par type de phénomène) consiste à définir pour un phénomène d'intensité donnée (définie comme intensité de l'aléa de référence), la probabilité

(spatiale et temporelle) d'atteinte en tout point du territoire, et pendant une période de référence considérée (ici le siècle).

#### **DETERMINATION DE L'INTENSITE DES PHENOMENES**

La notion d'intensité traduit l'ampleur du phénomène (volume mobilisé, dynamique, énergie...). Elle présume de ses conséquences (dommages). Dans le cadre du projet, l'intensité est appréhendée différemment selon le type de phénomène considéré. Pour les phénomènes de chutes de blocs (CB), la classification retenue pour qualifier l'intensité des phénomènes est :

| Indices<br>d'intensité | Description  | Indications sur les dommages   |
|------------------------|--|--|
| Faible                 | Le volume unitaire pouvant se propager est<br>supérieur à 0,05 m³ mais inférieur ou égal à<br>0,25 m³ (50 à 250 litres)            | Peu de dommage au gros œuvre,<br>perturbation des activités humaines.                          |
| Moyen                  | Le volume unitaire pouvant se propager est<br>supérieur ou égal à 0,25 m <sup>3</sup> mais inférieur ou<br>égal à 1 m <sup>3</sup> | Dommage au gros œuvre sans ruine.<br>Intégrité structurelle sollicitée.                        |
| Fort                   | Le volume unitaire pouvant se propager est supérieur à 1 m³ mais inférieur ou égal à 10 m³   | Dommage important au gros œuvre.<br>Ruine probable. Intégrité structurelle<br>remise en cause. |
| Très fort              | Le volume unitaire pouvant se propager<br>dépasse 10 m <sup>3</sup>  | Destruction du gros œuvre. Ruine<br>certaine. Perte de toute intégrité<br>structurelle         |

Echelle d'intensité retenue pour les chutes de blocs (CB)

Pour les autres phénomènes (LT, GG, GF) la vitesse est privilégiée pour qualifier l'intensité au regard des données effectivement accessibles :

| Vitesse         |                |               | Conséquences |   | Intensité    | Phénomène   |    |
|-----------------|----------------|---------------|--------------|---|--------------|-------------|----|
| mm/s            | typique        | Qualification | 1            | Impacts                                 | Réponse      | mensite     | NC |
| 5000 =>         | 5 m/s <b>-</b> | ER            |              | Catastrophe majeure                     |              | Très élevée | LT |
|                 |                | TR            |              | Structure détruite                      | -            | Elevée      | GG |
| 50 =><br>0.5 => | 3 m/min -      | R             |              | Structure détruite, possible évacuation | Evacuation   |             |    |
| 0.5 =>          | 1,8 m/n -      | М             |              | Qq structures résistent                 | Evacuation   | Modérée     | GF |
| 0.0005 =>       | 1,6 m/an       | L             |              | Possibles intervention travaux          | Intervention |             |    |
| 0.00005 =>      | ŕ              | TL            |              | Structure peu<br>endommagées            | miervention  |             |    |
| 0.0000003 =>    | 10 min/an      | EL            |              | Imperceptible                           | -            |             |    |

 $ER. extr \^emement\ rapide\ /\ TR. Tr \`es\ rapide\ /\ R. Rapide\ /\ M. Mod\'er\'ee\ /\ L. Lent\ /\ TL. Tr \`es\ lent\ /\ EL. extr \^emement\ lent$ 

Echelle d'intensité retenue pour GG, GF, LT

#### **DETERMINATION DE L'ATTEINTE DES PHENOMENES**

L'évaluation de l'occurrence du phénomène (ou atteinte) intègre la rupture et la propagation de celui-ci. La rupture intègre une dimension temporelle alors que la propagation est indépendante du temps (une fois enclenché le mouvement se propage plus ou moins loin dans les versants). Les deux évaluations (rupture et propagation) sont donc menées successivement : analyse de la rupture (dimension spatiale et temporelle du phénomène) puis celle de la propagation (composante spatiale uniquement).

#### **RUPTURE**

Pour les LT, GG et GF, la méthode déployée consiste à pondérer l'influence des facteurs de prédisposition définis par la typologie de chaque phénomène. Ce travail s'appuie sur des visites de terrain et du traitement géomatique (SIG). Pour l'analyse à l'échelle communale, les facteurs pris en compte sont :

- SUBSTRAT : nature géologique du substratum rocheux ;
- FORM\_SUP: nature lithologique des formations superficielles;
- LANDFORM: paramètre décrivant les paysages et les morphologies (versants, crêtes, talwegs, etc...);
- PENTE : pente des terrains évaluée à l'échelle des données topographiques valorisées.

A l'échelle des cartes communales, la méthode déclinée est une analyse statistique qui s'intéresse aux lois de probabilité qui régissent la rupture et la propagation du phénomène. Elle permet de mettre à jour l'estimation de l'atteinte spatiale de celui-ci et s'appuie sur les observations de terrains et d'inventaire.

Le calcul des probabilités de rupture pour chaque type de phénomène est réalisé avec 50% des évènements (50% des cellules représentant les enveloppes de rupture) tirés aléatoirement sur un secteur de calage. Les pondérations sont ensuite intégrées sur l'ensemble du territoire pour chaque classe de variable et le taux de reconnaissance des évènements non inclus initialement est évalué.

La cartographie de la rupture est déclinée spatialement (susceptibilité). À l'aide des données d'inventaire par période, la probabilité spatiale et temporelle est évaluée. Les coupures des différentes classes de probabilité de rupture (et d'atteinte in fine) s'appuient sur les travaux du JTC-1<sup>5</sup>, adaptées au programme ci-après:

-

<sup>&</sup>lt;sup>5</sup> Joint Technical Committee (JTC-1): Le « Joint International Societies Technical Committee on Landslides and Engineered Slopes » (ISSMGE, ISRM, IAEG) a préparé des directives cadrant les définitions et terminologies à utiliser sur le plan international ainsi que les méthodes, moyens et résultats attendus pour la cartographie des aléas et le zonage de risques associés aux mouvements de terrain (« Guidelines for landslide susceptibility, hazard and risk zoning for land use planning". Fell et al., 2008).

|                 |                   | Probabilité annuelle                | Qualification de l'activité sur 100 ans         |
|-----------------|-------------------|-------------------------------------|---|
|                 |                   | d'occurrence                        | (période de référence)                          |
|                 | Nul à négligeable | < 10 <sup>-7</sup>                  | Improbable moins d'une "chance" sur 100 000     |
|                 | Négligeable       | 10 <sup>-7</sup> à 10 <sup>-6</sup> | Très incertaine moins d'une "chance" sur 10 000 |
| Probabilité de  | Très faible       | 10 <sup>-6</sup> à 10 <sup>-5</sup> | Incertaine jusque 1 "chance" sur 1 000          |
| rupture         | Faible            | 10 <sup>-5</sup> à 10 <sup>-4</sup> | Peu probable jusque 1 "chance" sur 100          |
| (et d'atteinte) | Moyen             | 10 <sup>-4</sup> à 10 <sup>-3</sup> | Possible jusque # 1 "chance" sur 10             |
|                 | Elevée            | 10 <sup>-3</sup> à 10 <sup>-2</sup> | Probable > 1 "chance" sur 10                    |
|                 | Très élevée       | > 10 <sup>-2</sup>                  | Certaine phénomène attendu                      |

Classes retenues pour la qualification de l'occurrence des phénomènes (rupture et/ou atteinte)

Pour les chutes de blocs (CB), une approche spécifique est déclinée compte tenu de la difficulté d'inventorier complètement les évènements à l'échelle considérée. Cette approche, détaillée dans le rapport méthodologique, définit la probabilité de rupture comme une fonction de la probabilité de présence d'escarpement rocheux et de l'activité géologique (exprimée par surface concernée, en nombre de chute du volume de l'intensité de référence pendant la période de référence).

#### **PROPAGATION**

Pour la propagation des phénomènes les approches diffèrent selon les aléas considérés. Les analyses, calage des modèles et résultats types sont décrits en détail dans le rapport méthodologique et résumés à la suite pour les phénomènes étudiés.

# <u>GG (GLISSEMENTS GROSSIERS), GF (GLISSEMENTS FINS) ET LT (LAVE TORRENTIELLES)</u>

Pour les glissements, fins ou grossiers et les laves torrentielles une modélisation numérique a été mise en œuvre. Cette modélisation a permis de réaliser une délimitation semi-automatique des secteurs sources, mais également une évaluation du périmètre d'atteinte. L'application du modèle nécessite deux étapes fondées sur un modèle numérique de terrain (MNT) :

- les zones sources sont d'abord identifiées ;
- les flux de débris sont propagés à partir de ces sources sur la base de lois de frottement (angle de ligne d'énergie) et les algorithmes de direction d'écoulement (voir rapport méthodologique). Le volume d'écoulement des débris, et de fait les hauteurs des masses propagées, ne sont pas évalués.

Le paramétrage est empirique, basé sur des rétro-calages d'évènement passés, selon le type de phénomène à cartographier. Les paramètres de calage de l'outil sont :

- La ligne d'énergie, évaluée à partir des retours d'expérience des évènements cartographiés ;
- La vitesse présumée des mouvements (# 10 m.s-1 au maximum) ;
- Le mode de dispersion latérale définie suivant des modèles d'étalement.

\_

<sup>&</sup>lt;sup>6</sup> Avec l'outil Flow-R (Flow path assessment of gravitational hazards at Regional scale, Horton et al., 2013), Flow-R est un modèle empirique distribué pour l'évaluation de la susceptibilité aux mouvements gravitaires

Les différents aléas sont modélisés séparément. Le modèle définit des valeurs normalisées ou absolues pour les zones sources initiales. Ces valeurs sont ensuite propagées et représentent une notion de poids relatif de l'aléa. Une fois normalisées, les valeurs ne dépassent jamais 1, et se rapprochent ainsi d'une notion de probabilité spatiale.

#### CB (CHUTES DE BLOCS)

La propagation des chutes de blocs et éboulements est évaluée à partir de l'application de la méthode dite de la ligne d'énergie déclinée en 3D<sup>7</sup>. La méthode de la ligne d'énergie trouve son fondement scientifique dans les phénomènes de grande ampleur. En effet, elle assimile la phase de propagation des blocs à une phase de glissement sur un plan et permet d'obtenir l'extension du phénomène (distance de propagation).

Compte tenu de la possibilité de déviation des trajectoires des blocs que ce soit à cause de leur forme ou des obstacles rencontrés, les masses éboulées peuvent donc progresser dans un cône, appelé cône de propagation. Ce cône a une pente  $\beta$  (avec l'horizontale) et son sommet est placé au niveau de la zone de départ. Ainsi, plus l'angle est élevé, plus la distance de propagation est limitée.

En ce qui concerne la valeur de l'angle du cône de déviation, celle-ci dépend de la configuration topographique du versant étudié. Les retours d'expérience de plusieurs centaines d'éboulements rocheux montrent que les angles de ligne d'énergie correspondant à des chutes de blocs isolés sont quasi systématiquement supérieurs à 22-26°. Dans des contextes morphologiques particuliers tels que des parois rocheuses au droit de zone de plaine, ces valeurs peuvent atteindre voire dépasser 45°. La valeur la plus communément utilisée est de l'ordre de 30°.

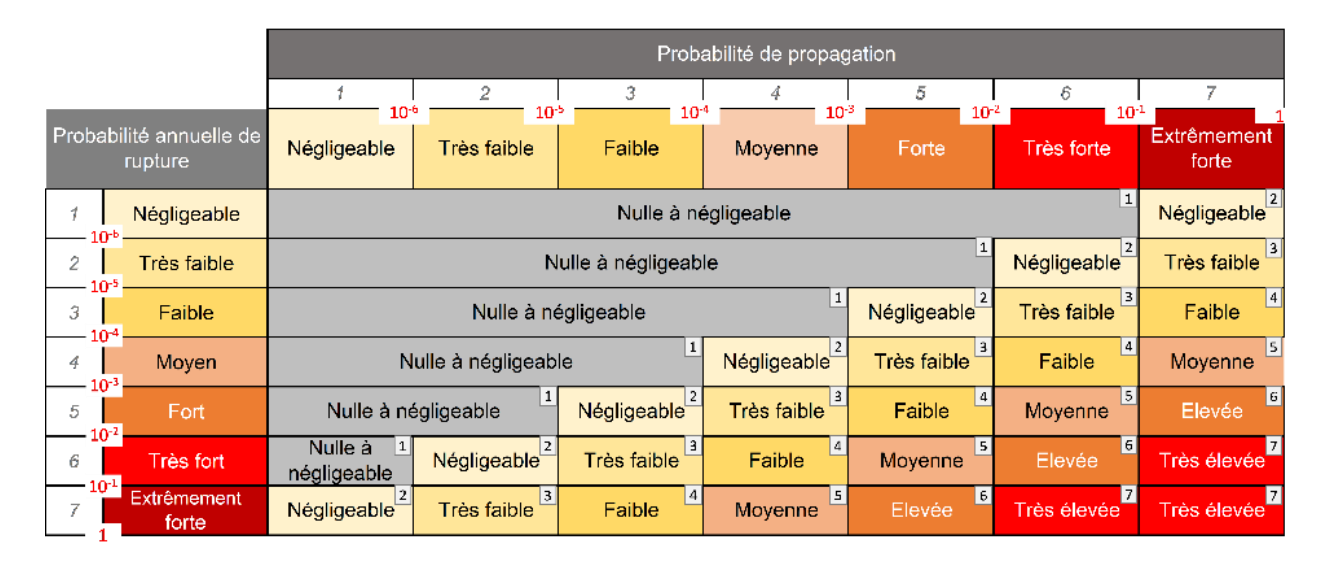
#### OCCURRENCE (OU ATTEINTE)

L'atteinte est calculée en considérant pour une source unique que la probabilité d'atteinte en un point est le produit de la probabilité de rupture et de la probabilité de propagation. Dans le cas où plusieurs secteurs sources sont concernés, la probabilité d'atteinte est définie comme la plus forte probabilité calculée.

De façon simplifiée, la qualification de l'atteinte repose sur une matrice croisant rupture et propagation (multiplication des probabilités). Cette matrice qualifiant l'atteinte, **commune à tous les aléas** est proposée ci-dessous :

\_

<sup>&</sup>lt;sup>7</sup> Avec l'outil ConeFall développé et l'EPFL (Ecole Polytechnique Fédérale de Lausanne) et QUANTERRA (https://quanterra.ch/resources/software/).



Matrice d'atteinte (ou occurrence) croisant rupture et propagation des aléas

#### **ALEA RESULTANT**

L'aléa résultant par phénomène est élaboré par croisement de l'occurrence avec l'intensité. La matrice de croisement est homogène quel que soit le phénomène considéré. Les classes pour qualifier les atteintes sont celles définies pour la rupture. L'évaluation de l'intensité des phénomènes varie selon le type (§ INTENSITE) :

|          |                     | Intensité         |                   |                   |             |             |  |  |
|----------|---------------------|-------------------|-------------------|-------------------|-------------|-------------|--|--|
|          |                     | Très faible       | Faible            | Moyenne           | Elevée      | Très élevée |  |  |
| 1        | Nulle à négligeable | Nul à négligeable | Nul à négligeable | Nul à négligeable | Très faible | Très faible |  |  |
| 2        | Négligeable         | Nul à négligeable | Nul à négligeable | Très faible       | Faible      | Faible      |  |  |
| 3        | Très faible         | Nul à négligeable | Très faible       | Faible            | Modéré      | Modéré      |  |  |
| Classe 4 | Faible              | Nul à négligeable | Faible            | Modéré            | Elevée      | Elevée      |  |  |
| 5        | Moyenne             | Très faible       | Modéré            | Modéré            | Elevée      | Elevée      |  |  |
| 6        | Elevée              | Faible            | Modéré            | Elevée            | Elevée      | Très élevée |  |  |
| 7        | Très élevée         | Faible            | Modéré            | Elevée            | Très élevée | Très élevée |  |  |

Matrice retenue pour la cartographie de l'aléa

#### 8.5 Annexe 5 – Application sur la commune de Poya

#### PARAMETRES VALORISES POUR LA COMMUNE DE POYA

Pour l'analyse à l'échelle communale, l'évaluation de l'aléa de rupture est menée suivant la méthode décrite dans le rapport méthodologique (BRGM/RP-72236-FR / DIMENC/SGNC-2022(20). Les facteurs intégrés sont :

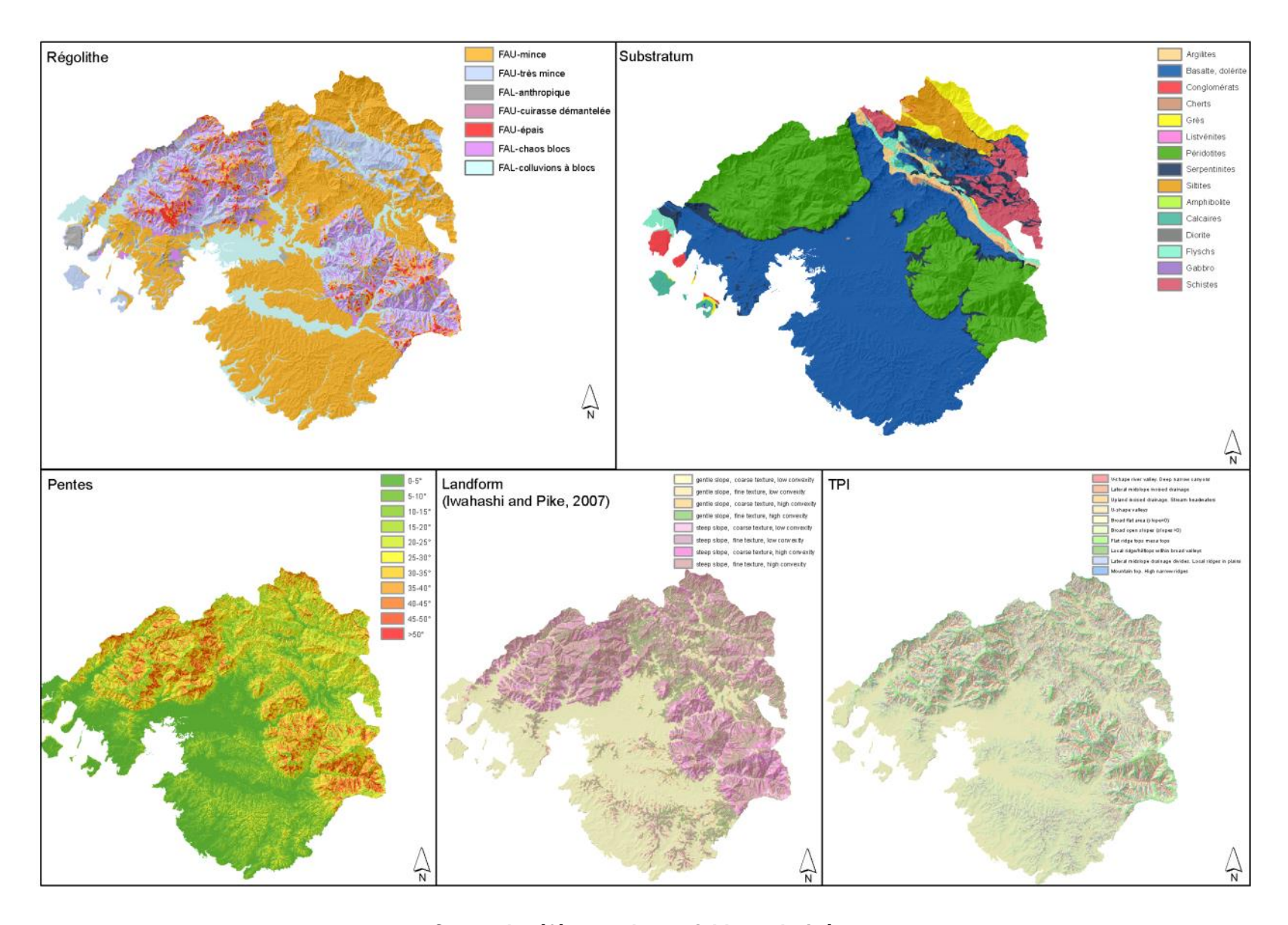
- SUBSTRAT : nature géologique du substratum rocheux ;
- FORM\_SUP: nature lithologique des formations superficielles;
- LANDFORM: paramètre intégrateur descriptif de paysages et de morphologies (versants, crêtes, talwegs, etc...), il est calculé avec la méthode d'Iwashi and Pike (2007);
- TPI: paramètre intégrateur descriptif de paysages et de morphologies (versants, crêtes, talwegs, etc...) calculé selon la méthode proposée par Jones et al. (2000). Cet indice permet de classer le territoire suivant 10 types de morphologies;
- PENTE : pente des terrains évaluée à l'échelle des données topographiques valorisée.

La méthodologie générale est détaillée pour chaque phénomène (GG, GF, LT) dans le rapport méthodologique, et est rappelée en annexe 8.4. Cependant, pour chaque typologie de phénomène, les données d'entrées et divers paramètres diffèrent :

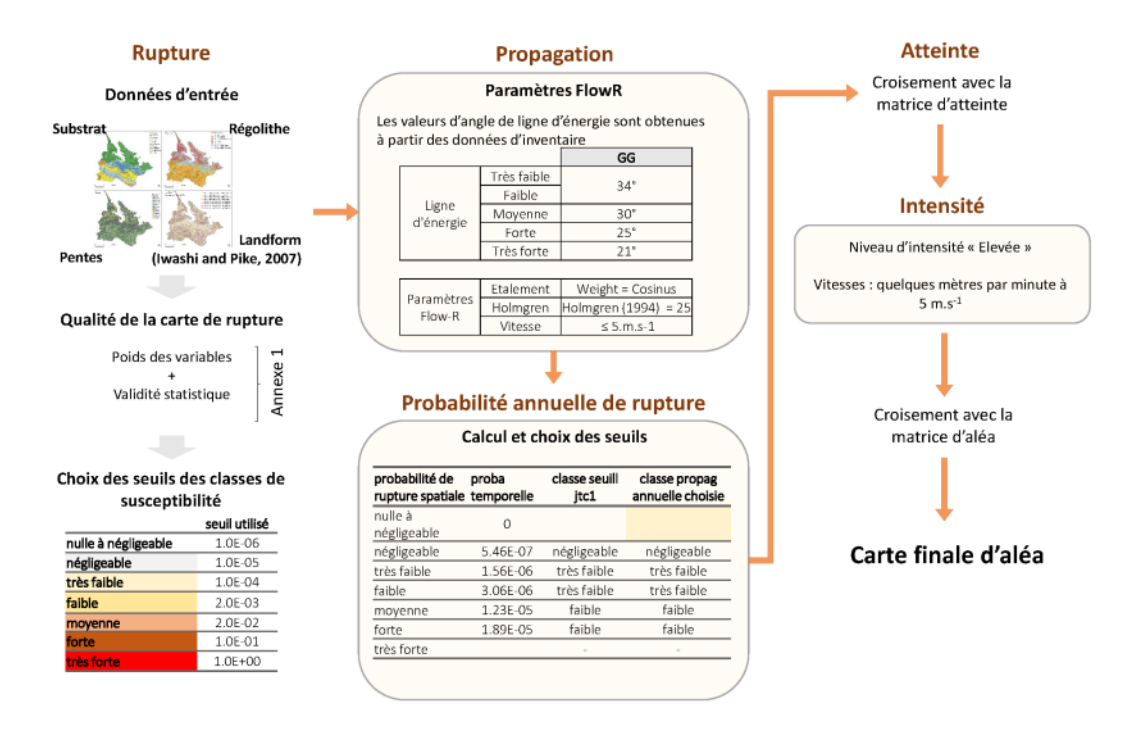
- pour le calcul de la probabilité de rupture les données d'entrées ne sont pas les mêmes ;
- les paramètres entrés dans le modèle de propagation FlowR sont ajustés pour chaque type de phénomène. La distribution des valeurs de ligne d'énergie calculées pour les données d'inventaire communal est valorisée pour paramétrer le modèle;
- Enfin, les valeurs de seuils de classe pour les cartes de probabilité de rupture spatiale et spatio-temporelle peuvent être ajustées à la marge de manière experte par rapport aux seuils proposés par le JTC1 (Fell et al, 2008).

Pour les chutes de blocs, l'approche est différente et également détaillée dans le rapport méthodologique. Les paragraphes suivants présentent les paramètres d'entrée valorisés et les résultats pour les quatre phénomènes considérés (GG, GF, LT et CB). Les paramètres de l'approche statistique (GG, GF et LT) sont fournis en annexe 8.3.

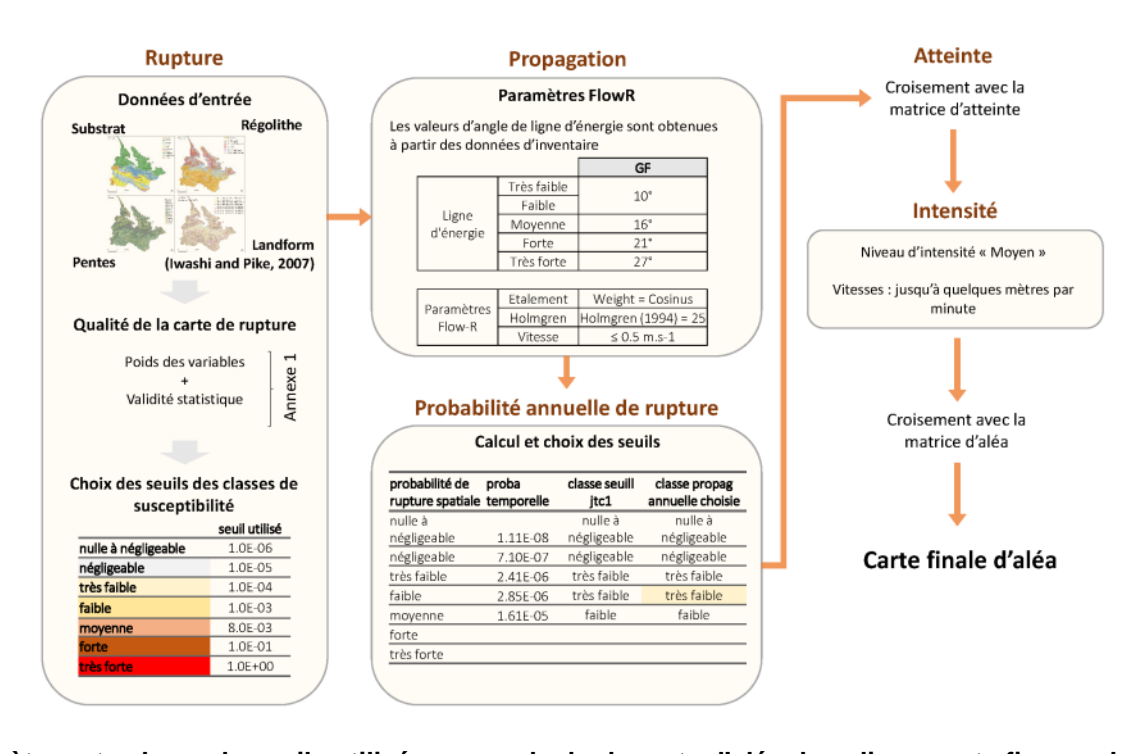
Les paramètres spécifiques à la création des différentes cartes d'aléas sur la commune d'aléas sont rappelés sur les illustrations suivantes pour chaque type d'aléa carté :



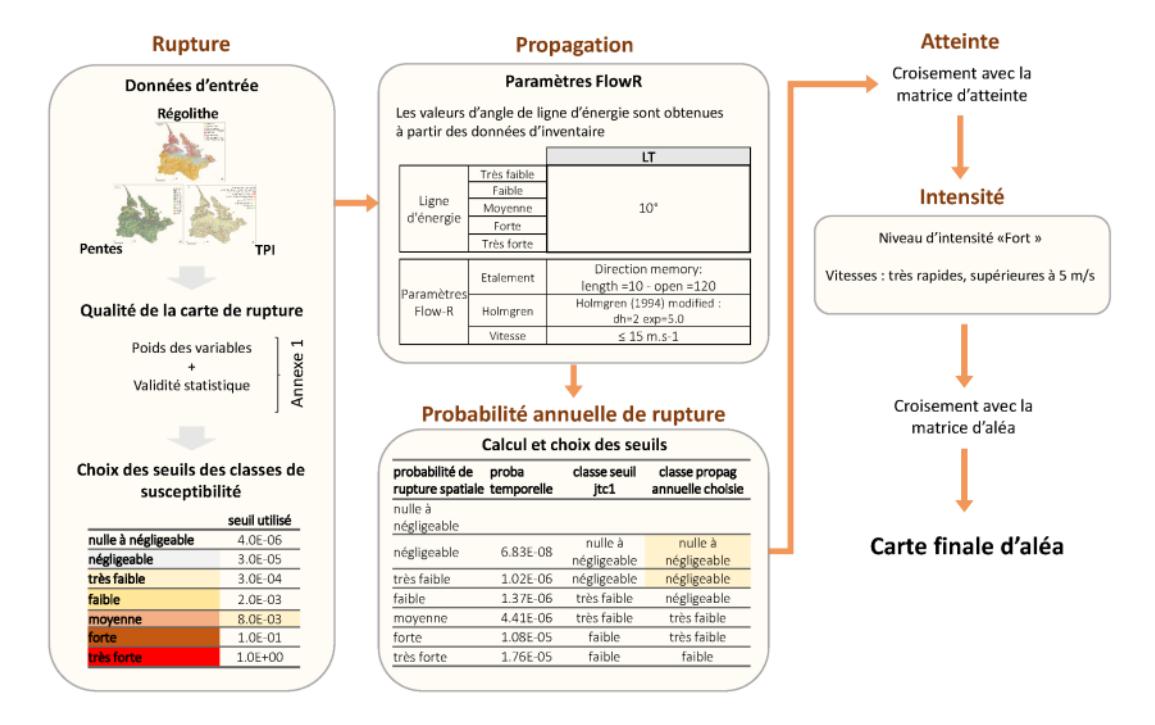
Cartes de référence des variables valorisées



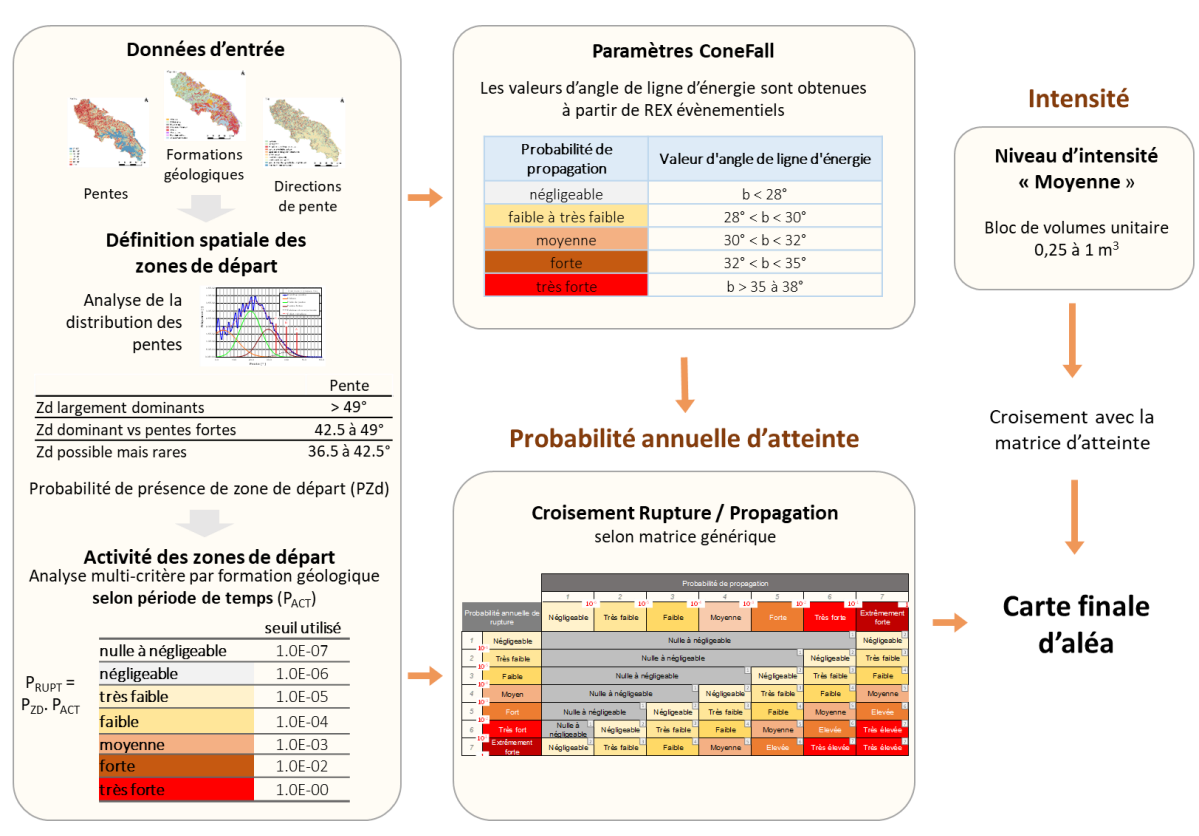
Paramètres et valeurs de seuils utilisés pour calculer la carte d'aléa des glissements grossiers sur la commune de Canala



Paramètres et valeurs de seuils utilisés pour calculer la carte d'aléa des glissements fins sur la commune de Canala



## Paramètres et valeurs de seuils utilisés pour calculer la carte d'aléa des laves torrentielles sur la commune de Canala



Paramètres et valeurs de seuils utilisés pour calculer la carte d'aléa chute de blocs

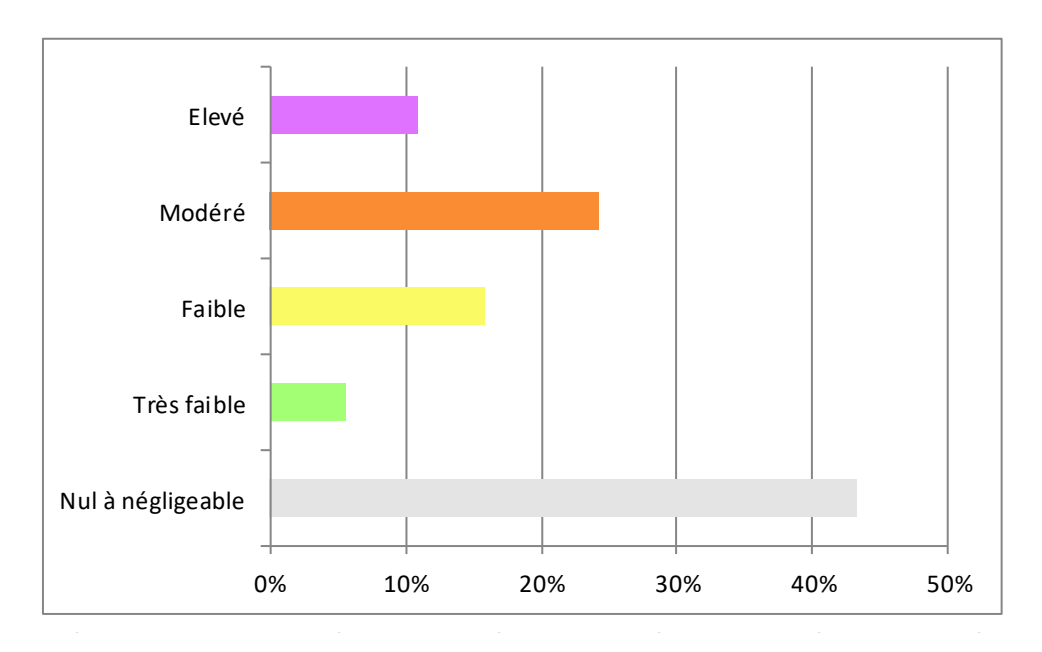
#### **CARTE D'ALEA MOUVEMENT DE TERRAIN**

L'agrégation des cartes par phénomènes en une carte unifiée de l'aléa mouvement de terrain est réalisée suivant la méthode décrite au rapport méthodologique, en retenant en tout point du territoire cartographié le niveau d'aléa maximal considéré.

La synthèse des résultats à l'échelle communale est la suivante :

|            |                      | GG     | GF     | LT     | СВ     | ALEA MVT |
|------------|----------------------|--------|--------|--------|--------|----------|
|            | Nul à négligeable    | 547.96 | 612.75 | 429.80 | 676.54 | 363.67   |
| Aléa       | Très faible          | -      | 48.24  | 139.38 | 15.56  | 47.32    |
| (Km²)      | Faible               | 60.80  | 126.76 | 154.44 | 32.44  | 133.36   |
|            | Modéré               | 151.86 | 51.89  | 87.76  | 112.17 | 203.90   |
|            | Elevé                | 79.00  | -      | 27.99  | 1      | 91.39    |
| Surface t  | otale soumise à aléa | 291.67 | 226.89 | 409.58 | 160.17 | 475.97   |
| % de la co | mmune soumis à aléa  | 35%    | 27%    | 49%    | 19%    | 57%      |

|          |                   | GG  | GF  | LT  | СВ  | ALEA MVT |
|----------|-------------------|-----|-----|-----|-----|----------|
|          | Nul à négligeable | 65% | 73% | 51% | 81% | 43%      |
| Aléa (%  | Très faible       | 0%  | 6%  | 17% | 2%  | 6%       |
|          | Faible            | 7%  | 15% | 18% | 4%  | 16%      |
| commune) | Modéré            | 18% | 6%  | 10% | 13% | 24%      |
|          | Elevé             | 9%  | 0%  | 3%  | 0%  | 11%      |



Exposition de la commune de Poya à l'aléa mouvement de terrain,

8.6 Annexe 6 – Atlas cartographiques : phénomènes de mouvement de terrain

8.7 Annexe 7 – Atlas cartographiques : aléa mouvement de terrain

Carte des aléas mouvements de terrain – Commune de Poya, Nouvelle-Calédonie